

COMMITTENTE:



PROGETTAZIONE:



**U.O. GEOLOGIA TECNICA, DELL'AMBIENTE E DEL TERRITORIO**

**PROGETTO DEFINITIVO**

**NODO DI NOVARA  
REALIZZAZIONE DELLA 1a FASE DEL PRG DI NOVARA BOSCHETTO**

**RELAZIONE  
INDAGINI GEOFISICHE**

SCALA:

A4

COMMESSA LOTTO FASE ENTE TIPO DOC. OPERA/DISCIPLINA Progr. REV.

N M 0 Y 0 0 D 6 9 I G G E 0 0 0 1 0 0 1 A

Rev.	Descrizione	Redatto	Data	Verificato	Data	Approvato	Data	Autorizzato Data
A	Emissione definitiva	T. Vignozzo 	Giugno 2020	F. Paolucci  Dott. Francesco Paolucci	Giugno 2020	F. Perrone 	Giugno 2020	M. COMEDINI Giugno 2020 

File: NM0Y00D69IGGE0001001A

n. Elab.:

## INDICE

1	PREMESSA .....	3
2	METODOLOGIE DI INDAGINE .....	4
3.	INDAGINE SISMICA CON METODO MASW ATTIVO.....	5
4.	RISULTATI PROSPEZIONI MASW .....	6
5.	INDAGINE SISMICA CON METODO HVSR.....	54
6.	RISULTATI INDAGINE SISMICA PASSIVA (HVSR) .....	57
	ALLEGATO.....	81

## 1 PREMESSA

La presente relazione illustra e riassume i risultati delle indagini geofisiche a supporto del Progetto Definitivo per la realizzazione della 1ª fase del PRG Novara Boschetto (NO).

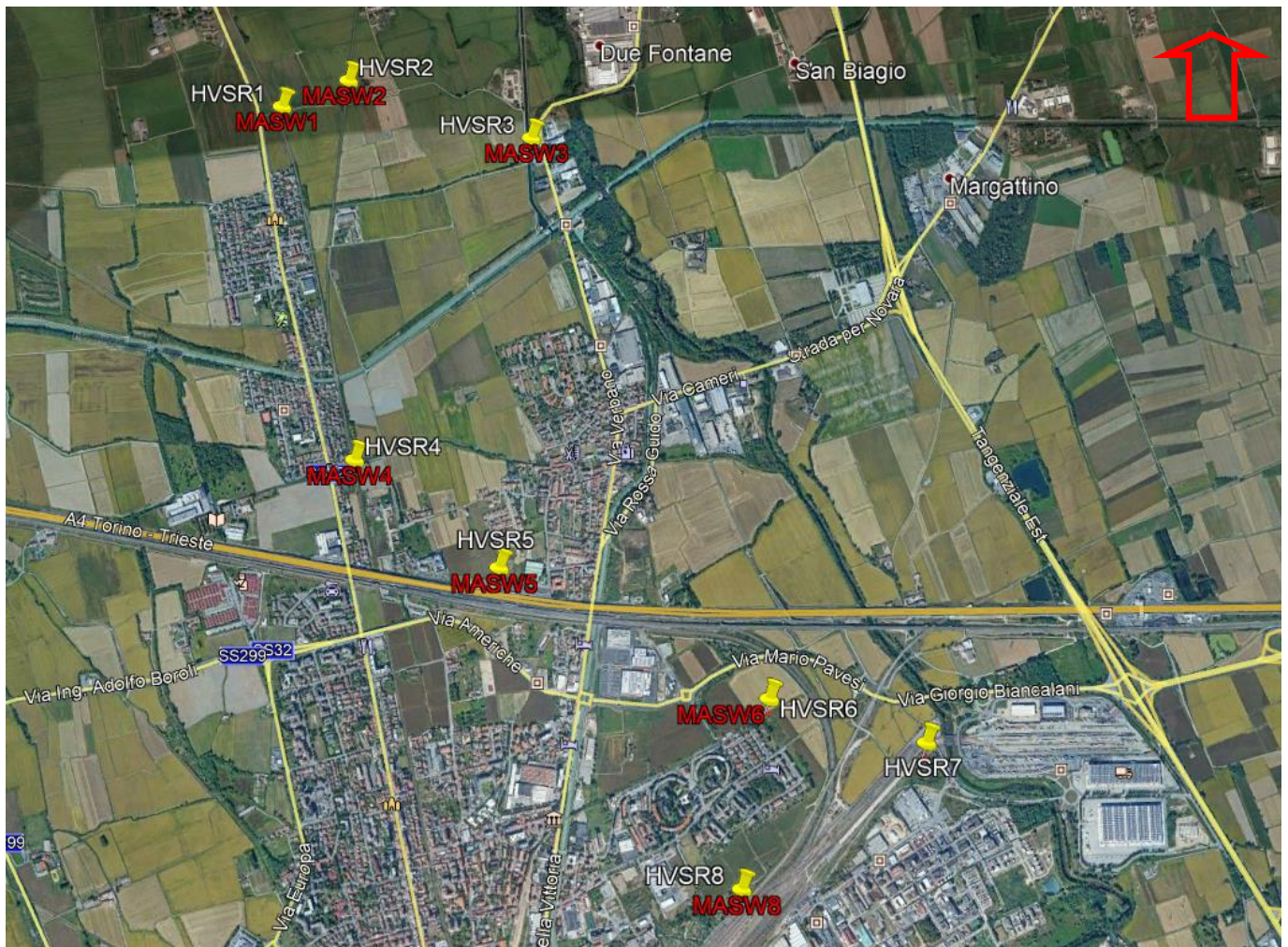


Figura 1: Ubicazione dell'area di intervento (da Google Earth).



## 2 METODOLOGIE DI INDAGINE

La campagna di misure geofisiche condotta è consistita in indagini sismiche di superficie con metodologia MASW e HVSr.

Di seguito si riporta una breve descrizione dei principi base delle tecniche d'indagine e i relativi risultati.



**Figura 2:** Strumentazione impiegata per le prove sismiche mediante metodologia MASW (a sinistra) e HVSr (a destra).



### 3. INDAGINE SISMICA CON METODO MASW ATTIVO

Lo scopo della prova MASW è quello di ricostruire il profilo di rigidità del sito tramite la misura della velocità di propagazione delle onde di superficie di Rayleigh con un successivo processo d'inversione, attraverso il quale è fornita una stima indiretta della distribuzione delle Vs (velocità di propagazione delle onde di taglio). La prova consiste nel produrre sulla superficie del terreno, in corrispondenza del sito da investigare, una sollecitazione dinamica verticale in un determinato campo di frequenze e nel registrare tramite uno stendimento lineare di sensori (geofoni) le vibrazioni prodotte, in corrispondenza della superficie, a distanze note e prefissate. Il profilo che si ricava da questo tipo di indagine è un profilo monodimensionale Vs-Profondità che generalmente, in presenza di stratigrafie costituite da orizzonti piano paralleli, può essere attribuito convenzionalmente alla stratigrafia relativa al centro dello stendimento, in quanto si assume che lungo tutto lo sviluppo dello stendimento la stratigrafia rimanga invariata.

In riferimento all'acquisizione di onde S con tecnica di sismica attiva (prova MASW), sono state adottate le seguenti caratteristiche:

- 24 geofoni verticali (frequenza di 4,5 Hz); Spaziatura dei geofoni: variabile;
- sorgente: massa da 8 kg; Distanza energizzazioni: 3-4-5 volte la spaziatura;
- Lunghezza registrazione del singolo evento: 2000 millisecondi;
- Campionamento del segnale: 1 millisecondi.

#### STRUMENTAZIONI UTILIZZATE

N°	Strumentazione per prove sismiche attive di superficie (MASW e Rifrazione)
1	Sismografo Echo 24-48 2010 prodotto dalla Ambrogeo s.r.l. di Piacenza (PC)
1	Toughbook Panasonic CF-19
24	geofoni verticali con frequenza 4,5 Hz (Geospace)
24	geofoni verticali con frequenza 40 Hz (Hueihai Sunfull)
24	geofoni orizzontali con frequenza 12 Hz (Hueihai Sunfull)
1	cavo di collegamento per geofoni 24 take-out/2,0-5,0 metri
1	massa battente del peso di 8 kg
1	linea trigger con dispositivo hammer-switch

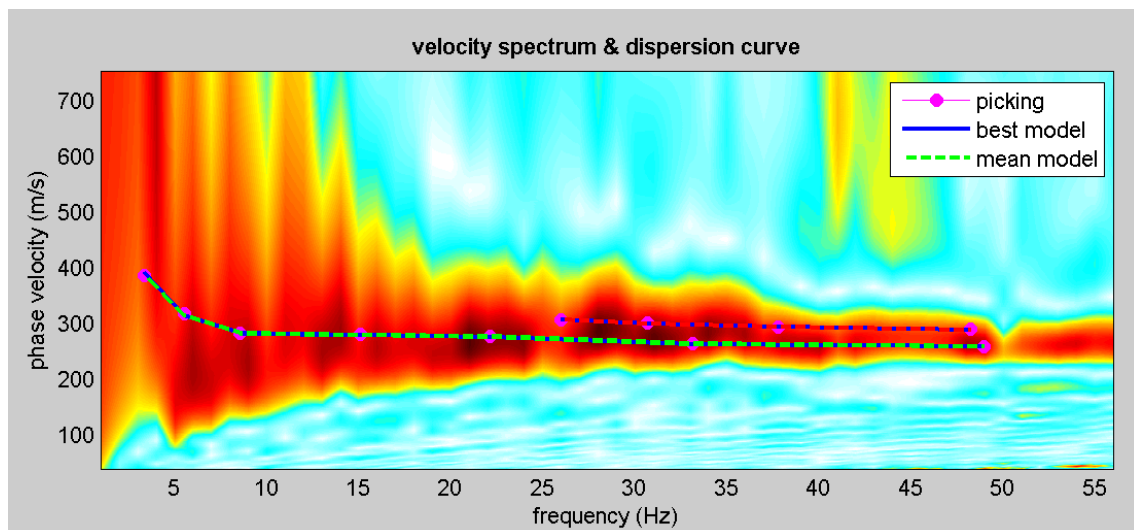
#### 4. RISULTATI PROSPEZIONI MASW

##### MASW1

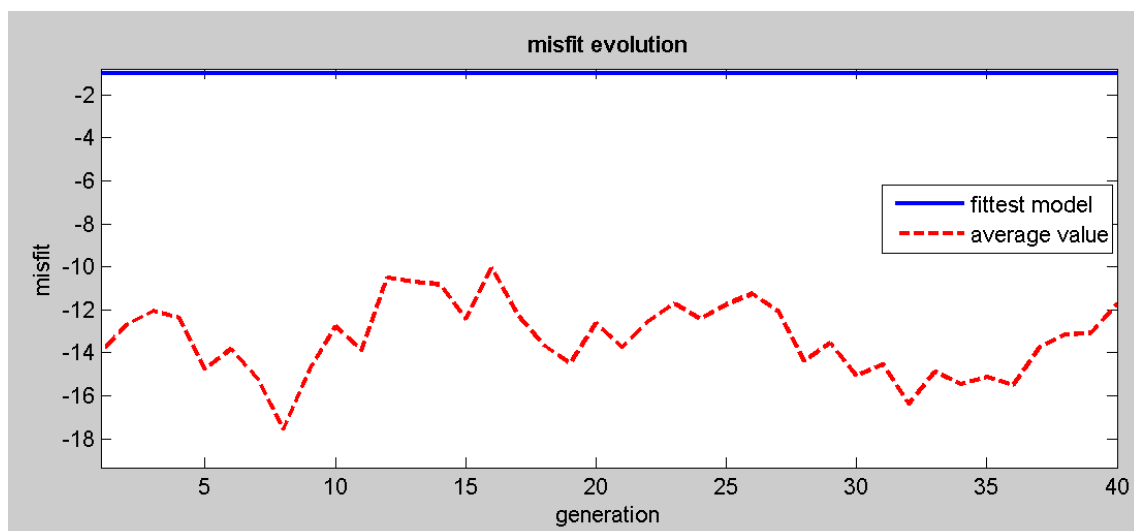
L'indagine di sismica superficiale eseguita ha permesso la determinazione dell'andamento della velocità delle Vs fino a 30 m di profondità.

Di seguito si riportano le immagini relative all'analisi  $\omega$ -p (trasformata  $\tau$ -p & trasformata di Fourier) al fine di discriminare l'energia associata alle onde di Rayleigh.

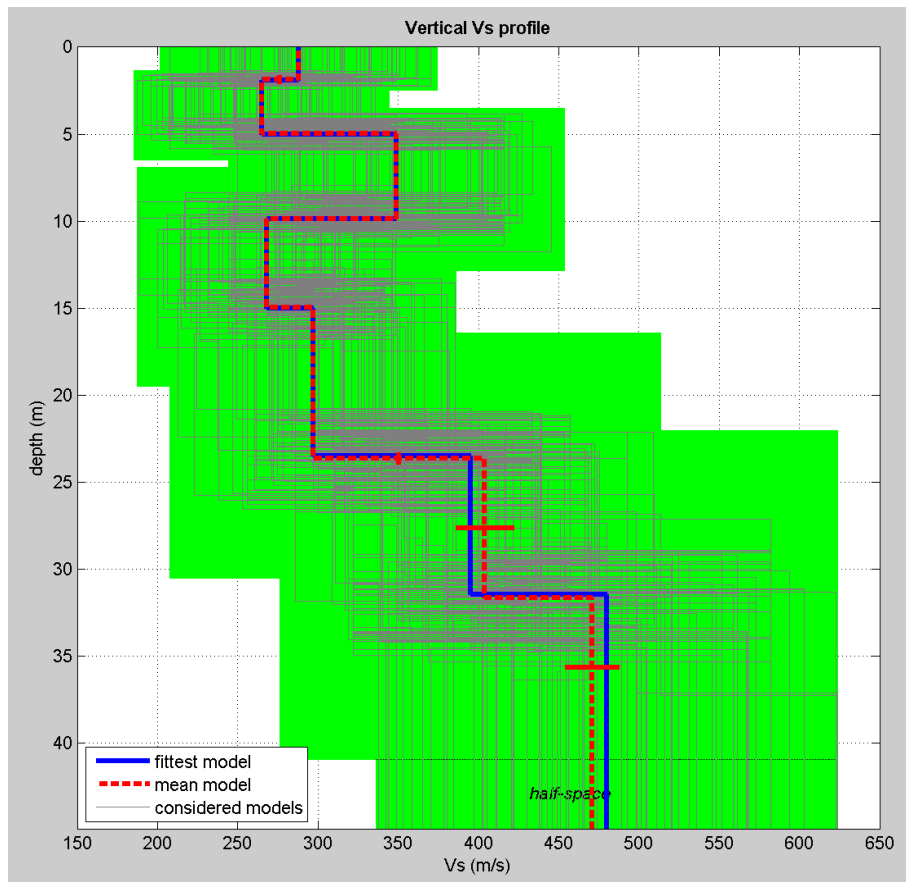
L'inversione della curva di dispersione con il metodo phase shift utilizzando la tecnica di calcolo degli algoritmi genetici.



**Figura 3:** Modo fondamentale relativo al segnale sismico registrato in situ.



**Figura 4:** Confronto tra la curva di dispersione sperimentale e quella teorica.



**Figura 5:** Modello risultante dall'inversione dei dati.

Per quanto concerne i dettagli relativi alle caratteristiche geometriche dello stendimento, sono stati utilizzati 24 geofoni in linea con interdistanza di 2.5 m.

La  $V_{s,eq}$  è stata ricavata dalla formula:

$$V_{s,eq} = \frac{H}{\sum \frac{h_i}{v_i}}$$

Nel caso specifico è risultato:

**$V_{s,eq} = 312 \text{ m/s}$**

Si tratta quindi di un suolo di **tipo C** ( $S_s = 1.5$  secondo le NTC 2018).

In allegato, vengono inoltre fornite tabelle recanti la classificazione del sito e lo spettro di risposta elastico relativo, ricavato considerando una probabilità di superamento del 10% in 50 anni (tempo di ritorno 475 anni). Tale condizione corrisponde allo stato limite ultimo di salvaguardia della vita (secondo NTC).



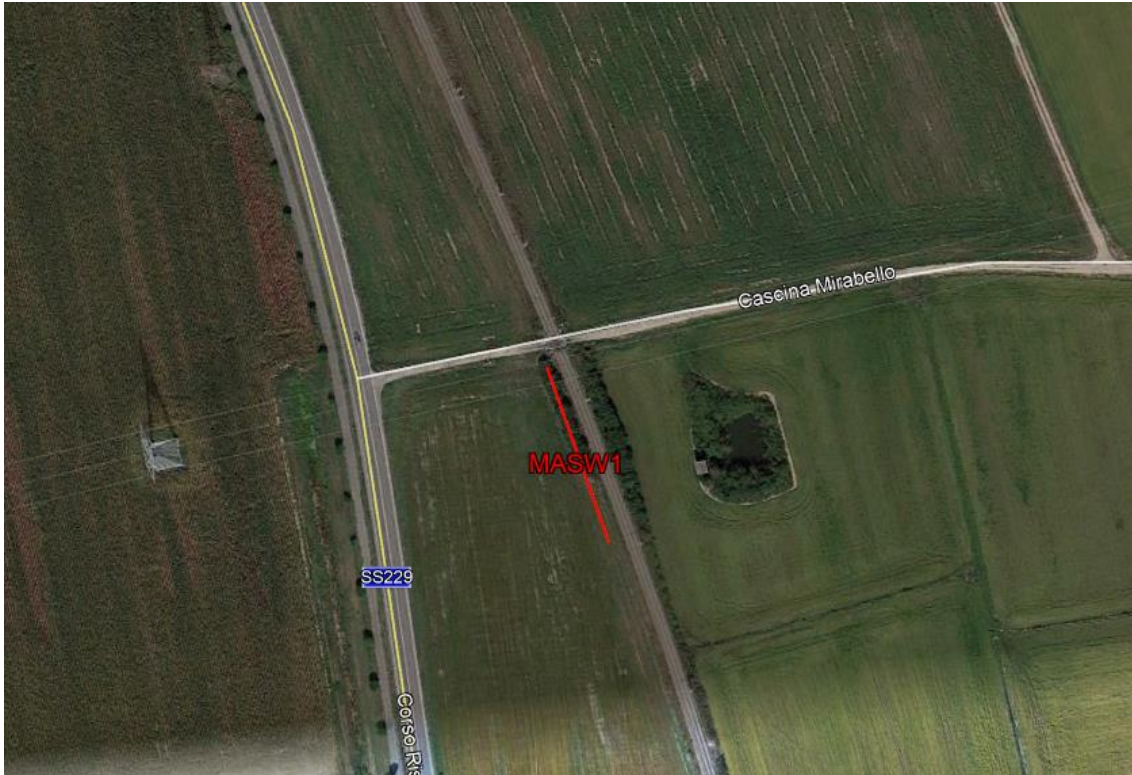


Figura 6: Ortofoto relativa all'ubicazione della prova MASW1.



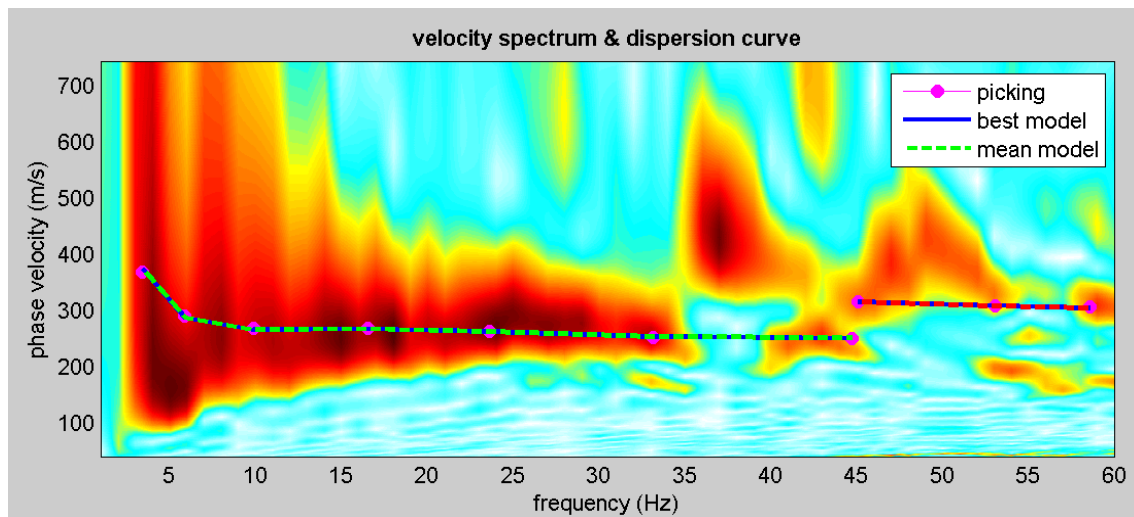
Figura 7: Foto relativa all'esecuzione della prova MASW1.

## MASW2

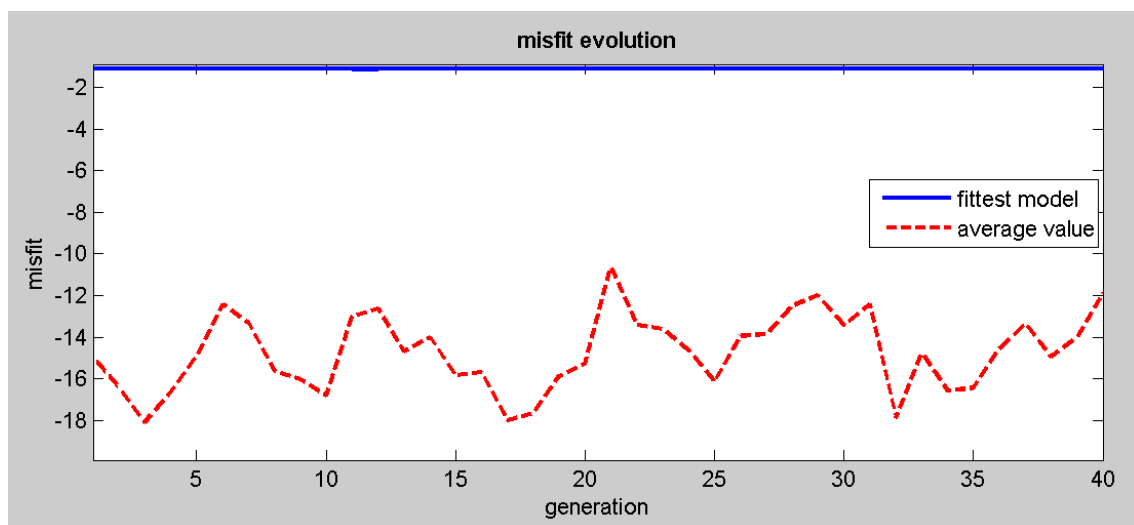
L'indagine di sismica superficiale eseguita ha permesso la determinazione dell'andamento della velocità delle Vs fino a 30 m di profondità.

Di seguito si riportano le immagini relative all'analisi  $\omega$ -p (trasformata  $\tau$ -p & trasformata di Fourier) al fine di discriminare l'energia associata alle onde di Rayleigh.

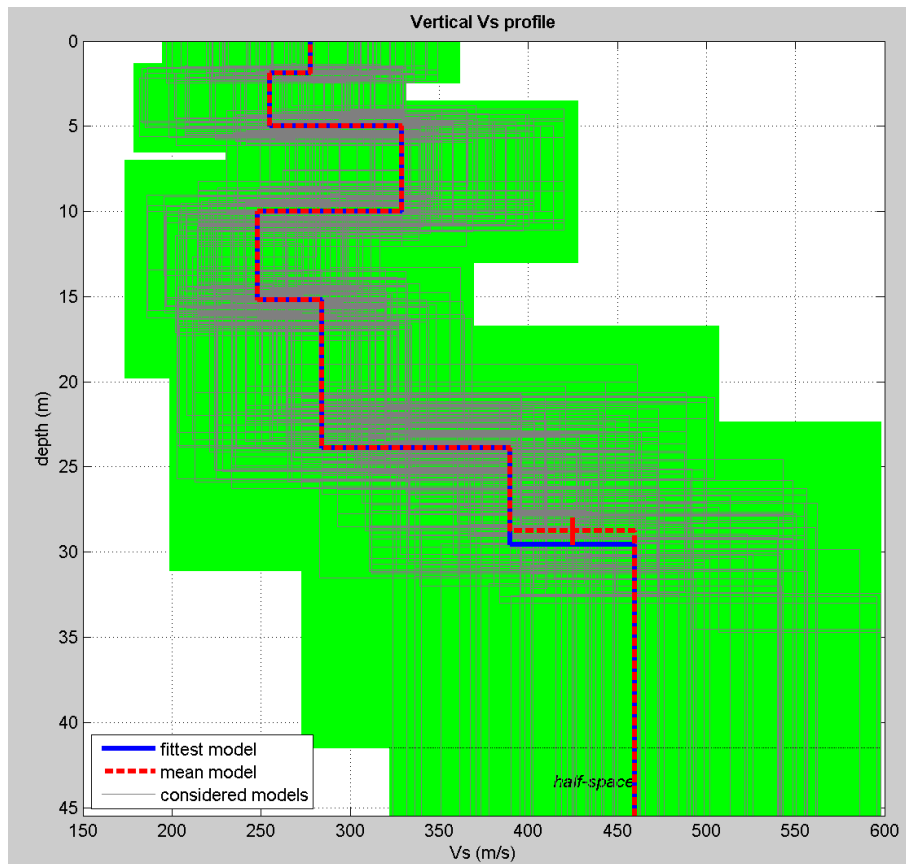
L'inversione della curva di dispersione con il metodo phase shift utilizzando la tecnica di calcolo degli algoritmi genetici.



**Figura 8:** Modo fondamentale relativo al segnale sismico registrato in situ.



**Figura 9:** Confronto tra la curva di dispersione sperimentale e quella teorica.



**Figura 10:** Modello risultante dall'inversione dei dati.

Per quanto concerne i dettagli relativi alle caratteristiche geometriche dello stendimento, sono stati utilizzati 24 geofoni in linea con interdistanza di 2.5 m.

La  $V_{s,eq}$  è stata ricavata dalla formula:

$$V_{s,eq} = \frac{H}{\sum \frac{h_i}{v_i}}$$

Nel caso specifico è risultato:

**$V_{s,eq} = 297$  m/s**

Si tratta quindi di un suolo di **tipo C** ( $S_s = 1.5$  secondo le NTC 2018).

In allegato, vengono inoltre fornite tabelle recanti la classificazione del sito e lo spettro di risposta elastico relativo, ricavato considerando una probabilità di superamento del 10% in 50 anni (tempo di ritorno 475 anni). Tale condizione corrisponde allo stato limite ultimo di salvaguardia della vita (secondo NTC).





Figura 11: Ortofoto relativa all'ubicazione della prova MASW2.



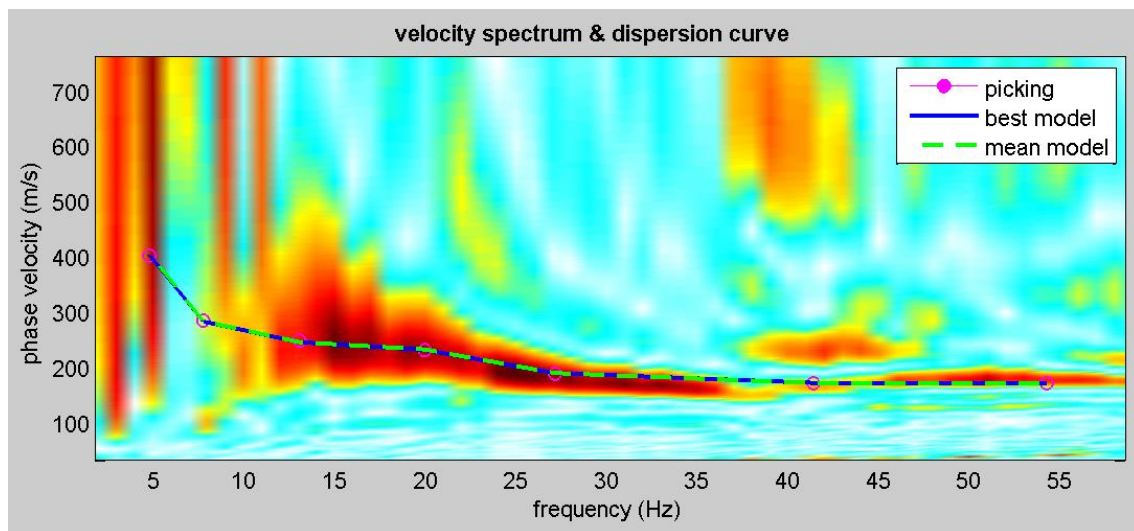
Figura 12: Foto relativa all'esecuzione della prova MASW2.

### MASW3

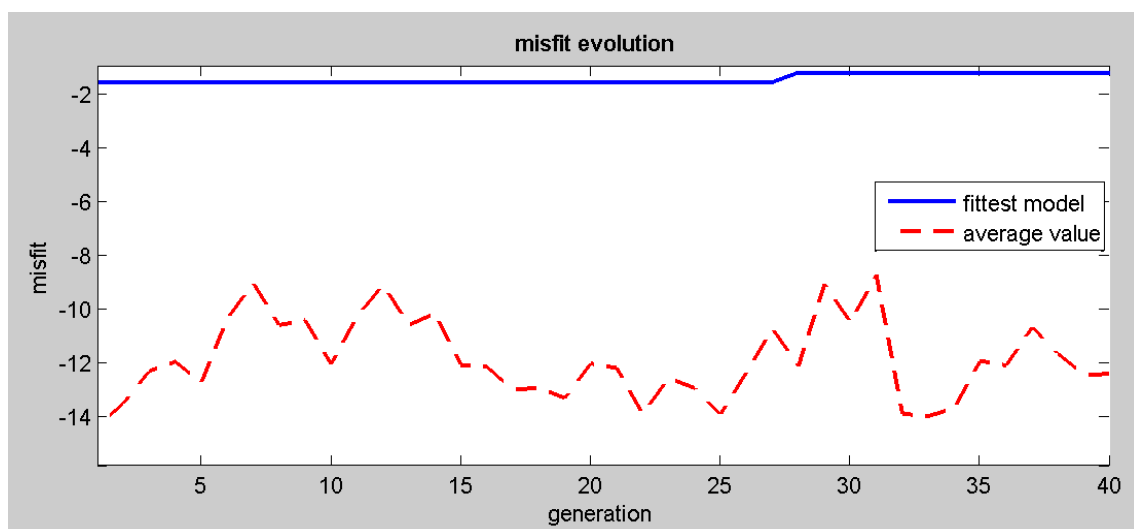
L'indagine di sismica superficiale eseguita ha permesso la determinazione dell'andamento della velocità delle Vs fino a 30 m di profondità.

Di seguito si riportano le immagini relative all'analisi  $\omega$ -p (trasformata  $\tau$ -p & trasformata di Fourier) al fine di discriminare l'energia associata alle onde di Rayleigh.

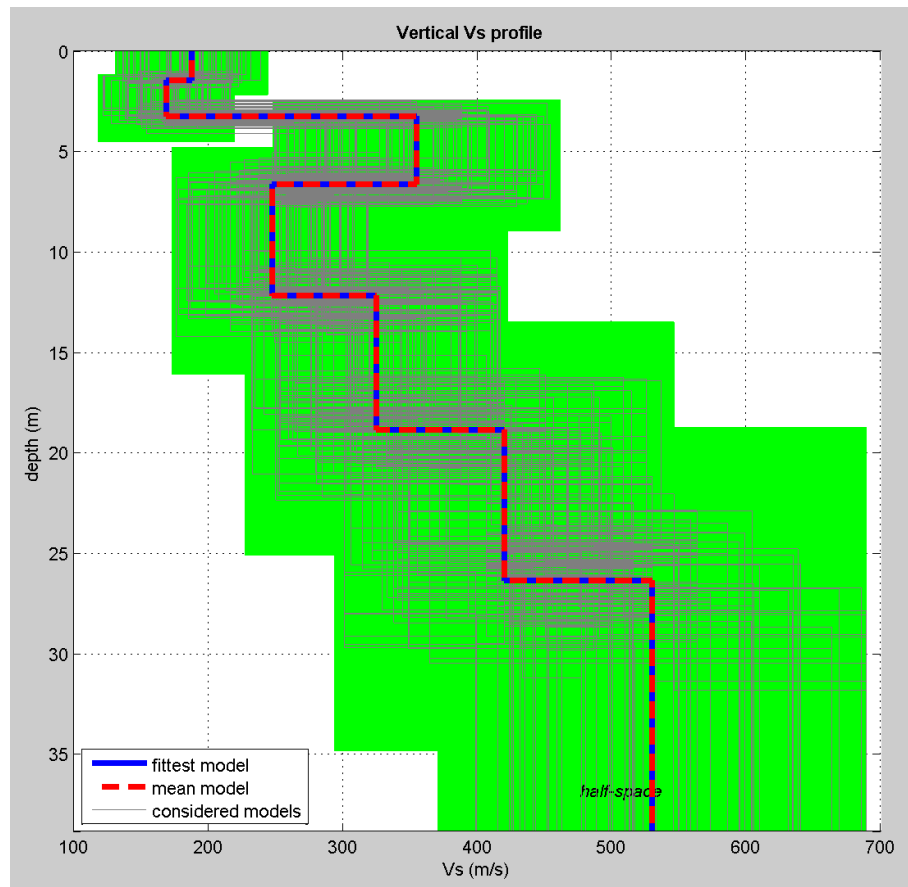
L'inversione della curva di dispersione con il metodo phase shift utilizzando la tecnica di calcolo degli algoritmi genetici.



**Figura 13:** Modo fondamentale relativo al segnale sismico registrato in situ.



**Figura 14:** Confronto tra la curva di dispersione sperimentale e quella teorica.



**Figura 15:** Modello risultante dall'inversione dei dati.

Per quanto concerne i dettagli relativi alle caratteristiche geometriche dello stendimento, sono stati utilizzati 24 geofoni in linea con interdistanza di 2.5 m.

La  $V_{s,eq}$  è stata ricavata dalla formula:

$$V_{s,eq} = \frac{H}{\sum \frac{h_i}{v_i}}$$

Nel caso specifico è risultato:

**$V_{s,eq} = 314 \text{ m/s}$**

Si tratta quindi di un suolo di **tipo C** ( $S_s = 1.5$  secondo le NTC 2018).

In allegato, vengono inoltre fornite tabelle recanti la classificazione del sito e lo spettro di risposta elastico relativo, ricavato considerando una probabilità di superamento del 10% in 50 anni (tempo di ritorno 475 anni). Tale condizione corrisponde allo stato limite ultimo di salvaguardia della vita (secondo NTC).





Figura 16: Ortofoto relativa all'ubicazione della prova MASW3.



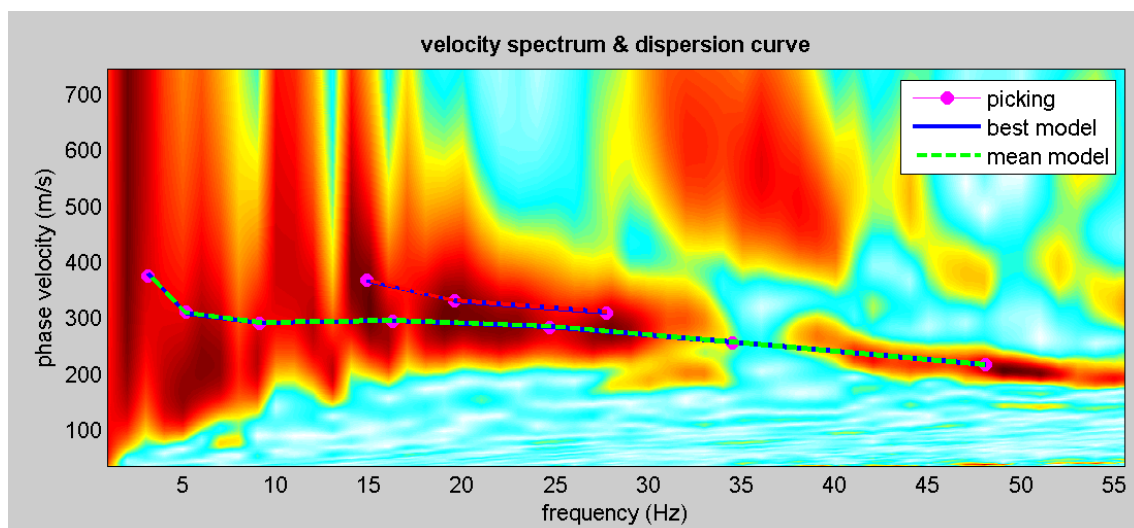
Figura 17: Foto relativa all'esecuzione della prova MASW3.

## MASW4

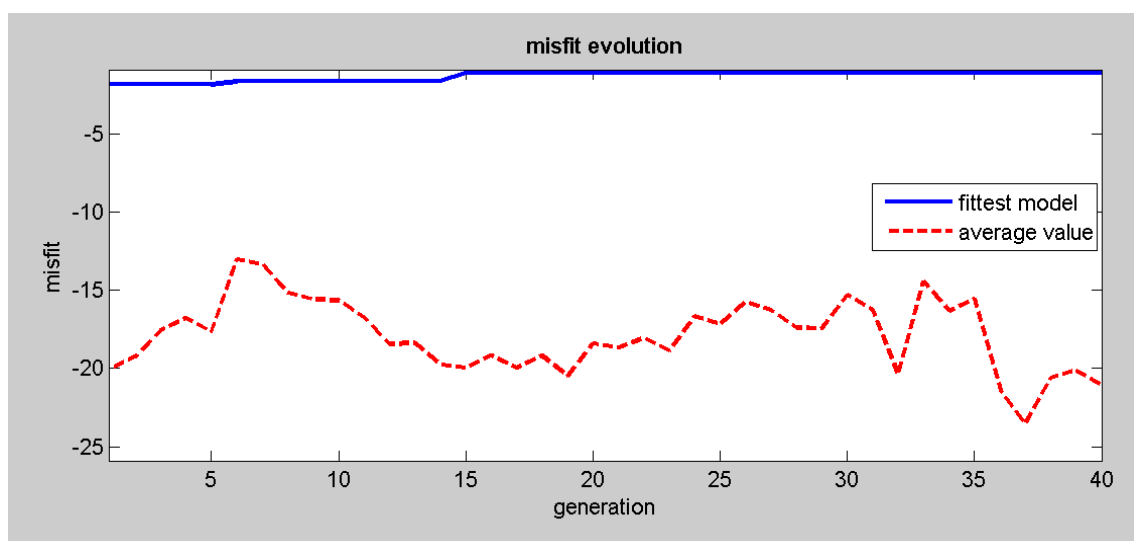
L'indagine di sismica superficiale eseguita ha permesso la determinazione dell'andamento della velocità delle Vs fino a 30 m di profondità.

Di seguito si riportano le immagini relative all'analisi  $\omega$ -p (trasformata  $\tau$ -p & trasformata di Fourier) al fine di discriminare l'energia associata alle onde di Rayleigh.

L'inversione della curva di dispersione con il metodo phase shift utilizzando la tecnica di calcolo degli algoritmi genetici.

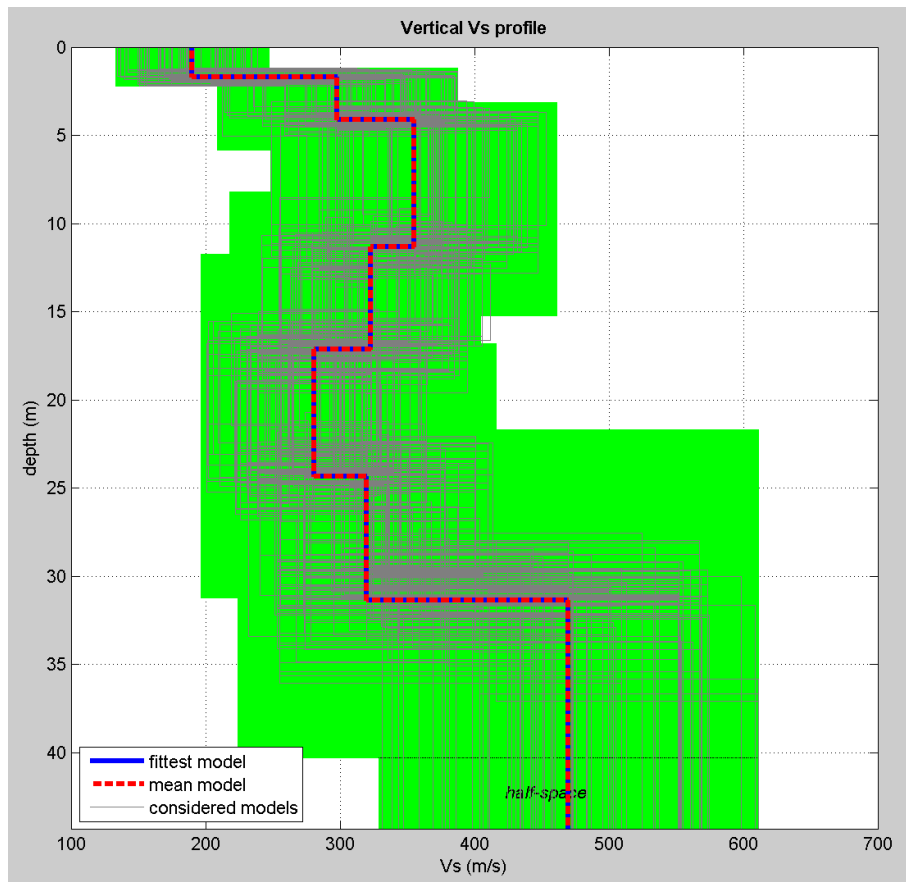


**Figura 18:** Modo fondamentale relativo al segnale sismico registrato in situ.



**Figura 19:** Confronto tra la curva di dispersione sperimentale e quella teorica.





**Figura 20:** Modello risultante dall'inversione dei dati.

Per quanto concerne i dettagli relativi alle caratteristiche geometriche dello stendimento, sono stati utilizzati 24 geofoni in linea con interdistanza di 2.5 m.

La  $V_{s,eq}$  è stata ricavata dalla formula:

$$V_{s,eq} = \frac{H}{\sum \frac{h_i}{v_i}}$$

Nel caso specifico è risultato:

**$V_{s,eq} = 304 \text{ m/s}$**

Si tratta quindi di un suolo di **tipo C** ( $S_s = 1.5$  secondo le NTC 2018).

In allegato, vengono inoltre fornite tabelle recanti la classificazione del sito e lo spettro di risposta elastico relativo, ricavato considerando una probabilità di superamento del 10% in 50 anni (tempo di ritorno 475 anni). Tale condizione corrisponde allo stato limite ultimo di salvaguardia della vita (secondo NTC).





Figura 21: Ortofoto relativa all'ubicazione della prova MASW4.



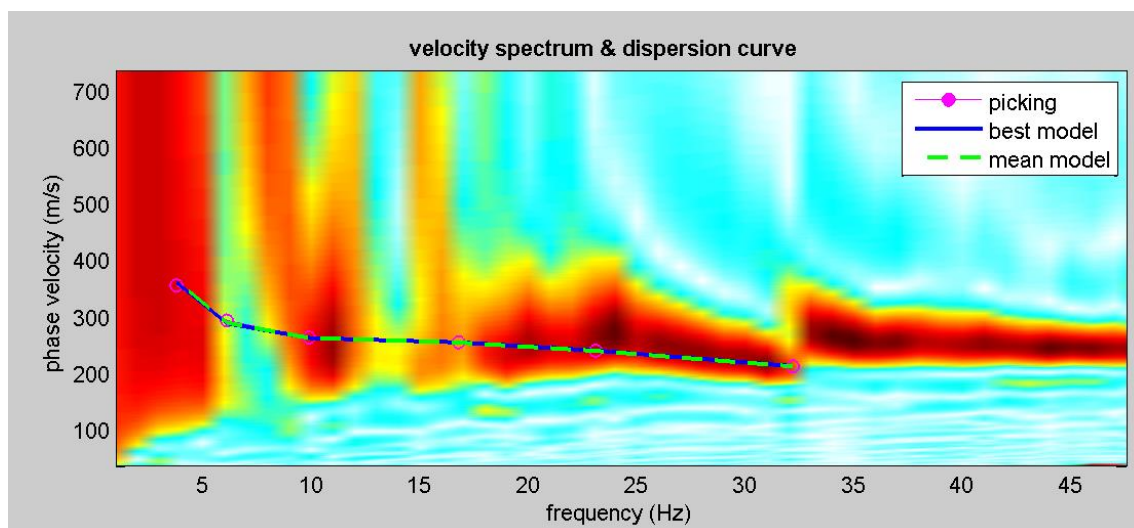
Figura 22: Foto relativa all'esecuzione della prova MASW4.

## MASW5

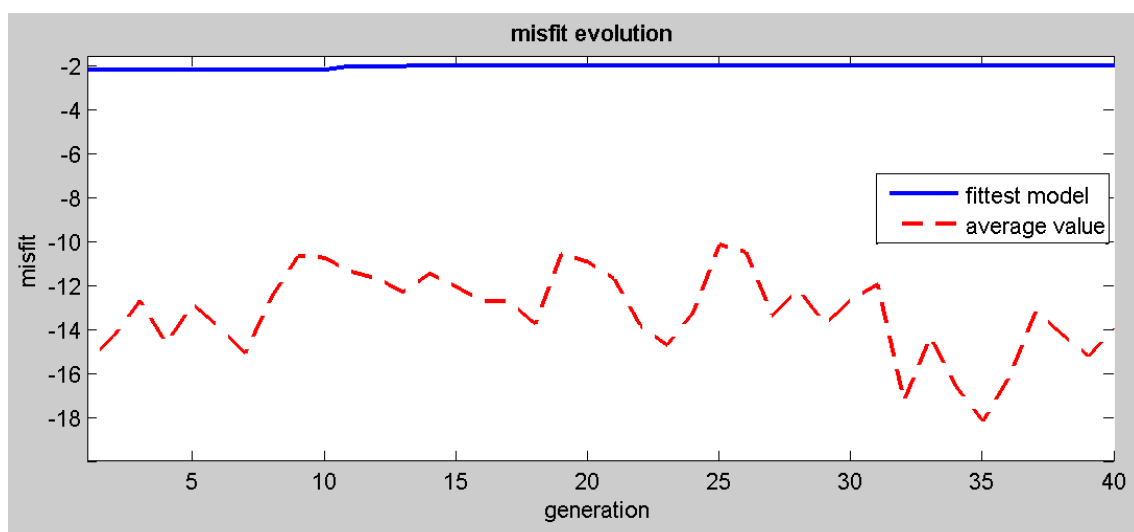
L'indagine di sismica superficiale eseguita ha permesso la determinazione dell'andamento della velocità delle Vs fino a 30 m di profondità.

Di seguito si riportano le immagini relative all'analisi  $\omega$ -p (trasformata  $\tau$ -p & trasformata di Fourier) al fine di discriminare l'energia associata alle onde di Rayleigh.

L'inversione della curva di dispersione con il metodo phase shift utilizzando la tecnica di calcolo degli algoritmi genetici.



**Figura 23:** Modo fondamentale relativo al segnale sismico registrato in situ.



**Figura 24:** Confronto tra la curva di dispersione sperimentale e quella teorica.



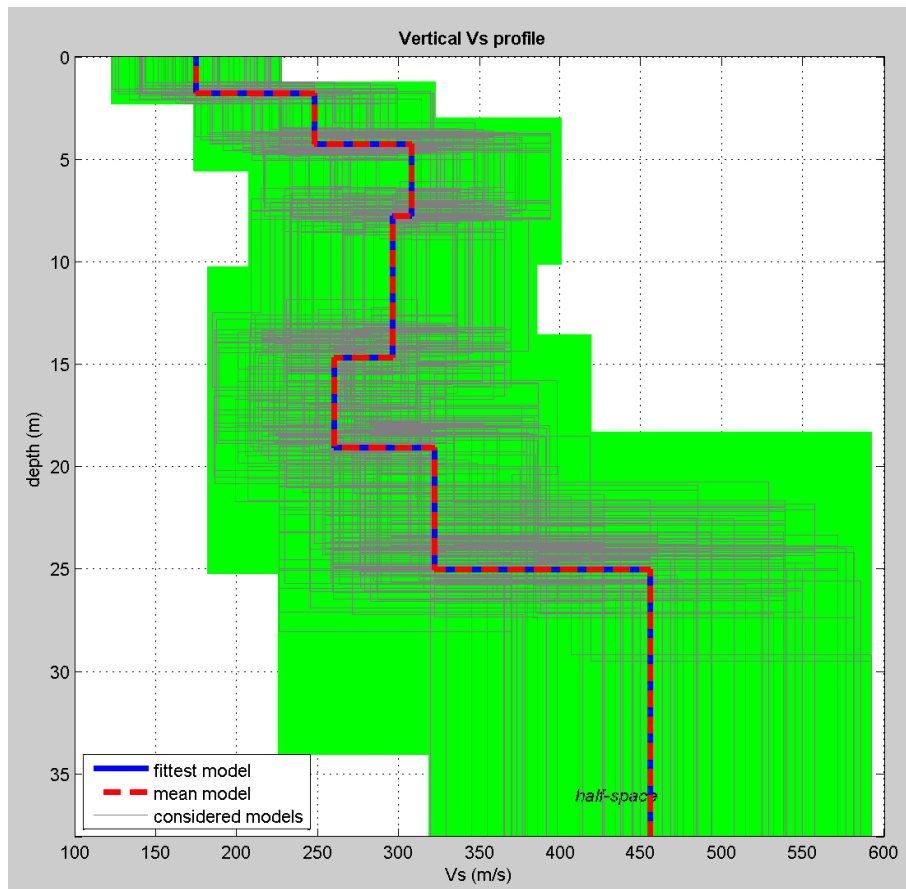


Figura 25: Modello risultante dall'inversione dei dati.

Per quanto concerne i dettagli relativi alle caratteristiche geometriche dello stendimento, sono stati utilizzati 24 geofoni in linea con interdistanza di 2.5 m.

La  $V_{s,eq}$  è stata ricavata dalla formula:

$$V_{s,eq} = \frac{H}{\sum \frac{h_i}{v_i}}$$

Nel caso specifico è risultato:

**$V_{s,eq} = 296 \text{ m/s}$**

Si tratta quindi di un suolo di **tipo C** ( $S_s = 1.5$  secondo le NTC 2018).

In allegato, vengono inoltre fornite tabelle recanti la classificazione del sito e lo spettro di risposta elastico relativo, ricavato considerando una probabilità di superamento del 10% in 50 anni (tempo di ritorno 475 anni). Tale condizione corrisponde allo stato limite ultimo di salvaguardia della vita (secondo NTC).



Figura 26: Ortofoto relativa all'ubicazione della prova MASW5.



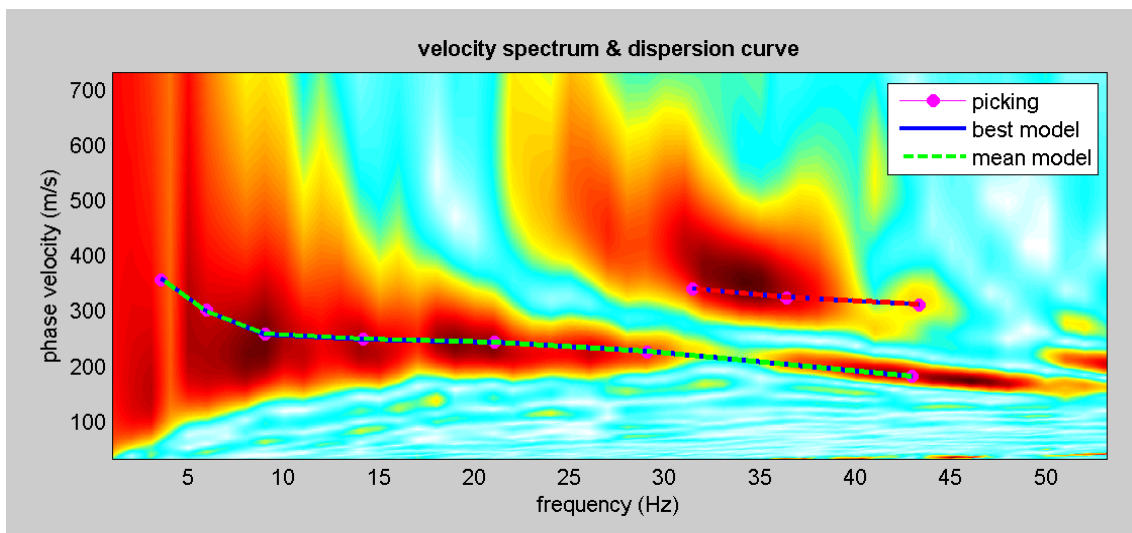
Figura 27: Foto relativa all'esecuzione della prova MASW5.

## MASW6

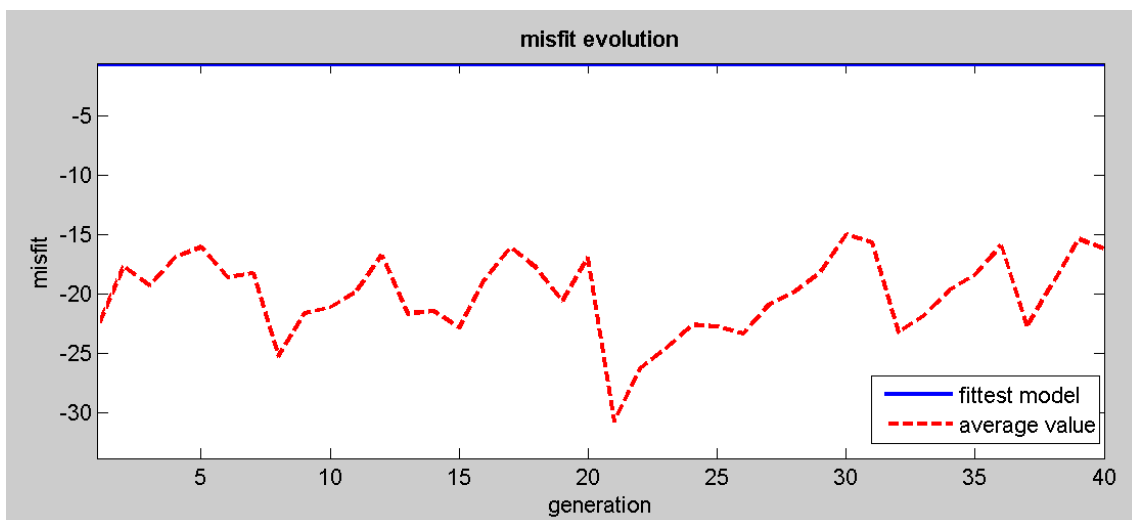
L'indagine di sismica superficiale eseguita ha permesso la determinazione dell'andamento della velocità delle Vs fino a 30 m di profondità.

Di seguito si riportano le immagini relative all'analisi  $\omega$ -p (trasformata  $\tau$ -p & trasformata di Fourier) al fine di discriminare l'energia associata alle onde di Rayleigh.

L'inversione della curva di dispersione con il metodo phase shift utilizzando la tecnica di calcolo degli algoritmi genetici.

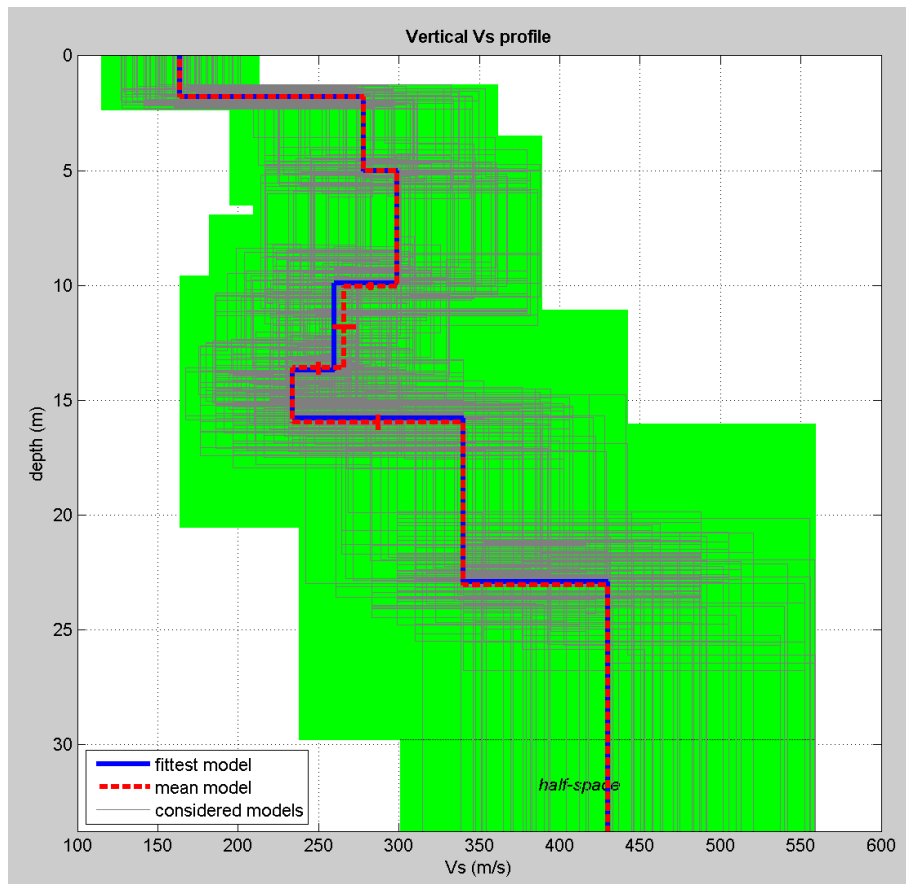


**Figura 28:** Modo fondamentale relativo al segnale sismico registrato in situ.



**Figura 29:** Confronto tra la curva di dispersione sperimentale e quella teorica.





**Figura 30:** Modello risultante dall'inversione dei dati.

Per quanto concerne i dettagli relativi alle caratteristiche geometriche dello stendimento, sono stati utilizzati 24 geofoni in linea con interdistanza di 2.5 m.

La  $V_{s,eq}$  è stata ricavata dalla formula:

$$V_{s,eq} = \frac{H}{\sum \frac{h_i}{v_i}}$$

Nel caso specifico è risultato:

**$V_{s,eq} = 300 \text{ m/s}$**

Si tratta quindi di un suolo di **tipo C** ( $S_s = 1.5$  secondo le NTC 2018).

In allegato, vengono inoltre fornite tabelle recanti la classificazione del sito e lo spettro di risposta elastico relativo, ricavato considerando una probabilità di superamento del 10% in 50 anni (tempo di ritorno 475 anni). Tale condizione corrisponde allo stato limite ultimo di salvaguardia della vita (secondo NTC).



Figura 31: Ortofoto relativa all'ubicazione della prova MASW6.



Figura 32: Foto relativa all'esecuzione della prova MASW6.

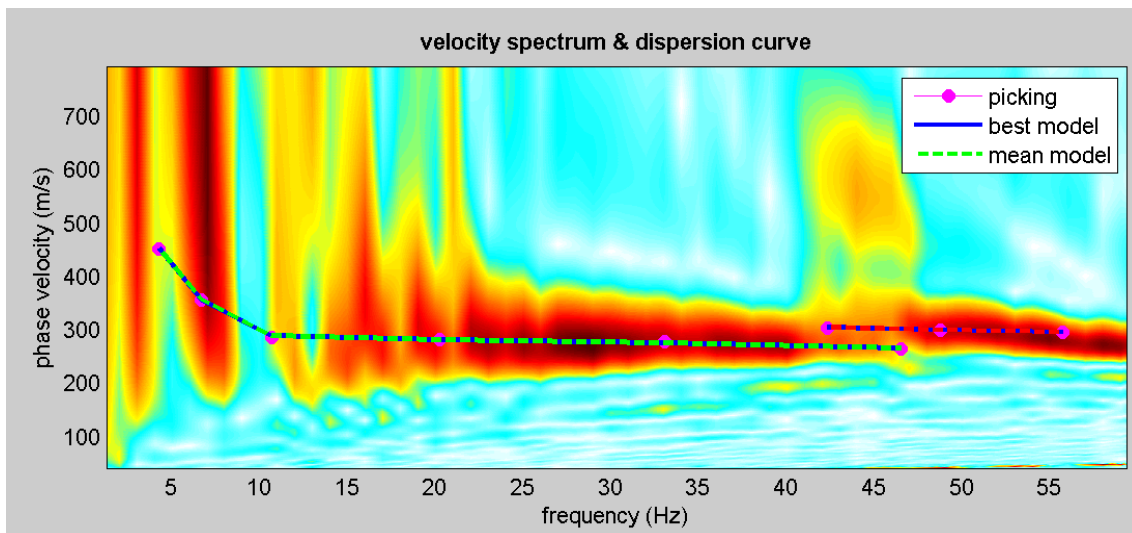


## MASW7

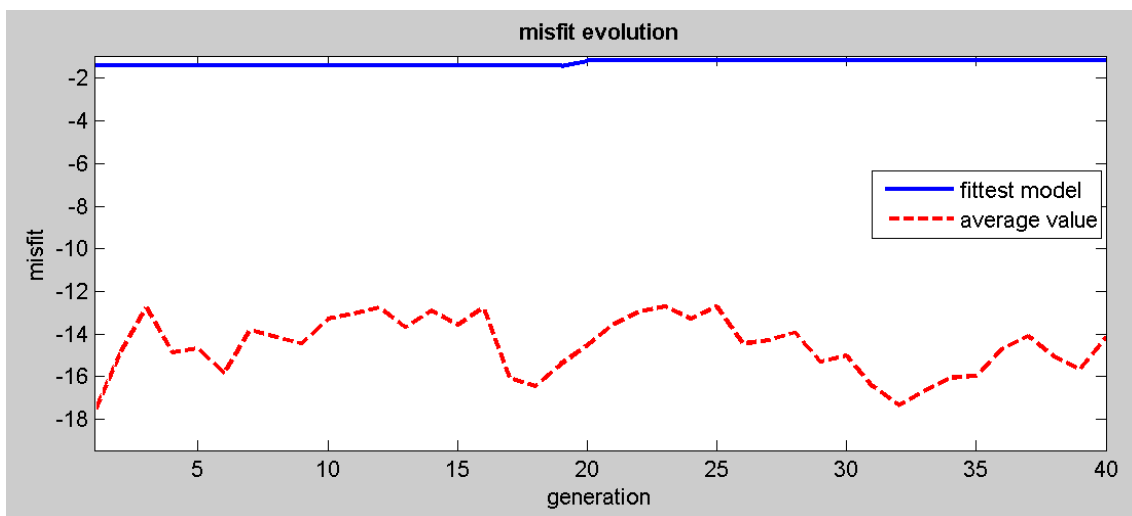
L'indagine di sismica superficiale eseguita ha permesso la determinazione dell'andamento della velocità delle Vs fino a 30 m di profondità.

Di seguito si riportano le immagini relative all'analisi  $\omega$ -p (trasformata  $\tau$ -p & trasformata di Fourier) al fine di discriminare l'energia associata alle onde di Rayleigh.

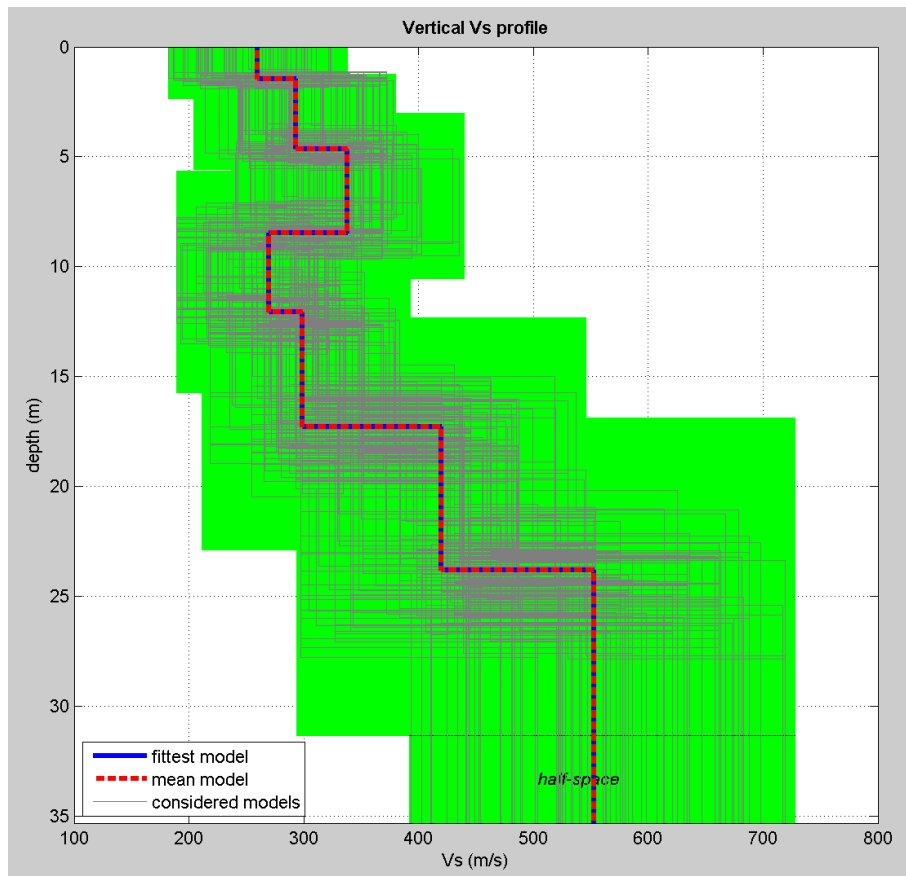
L'inversione della curva di dispersione con il metodo phase shift utilizzando la tecnica di calcolo degli algoritmi genetici.



**Figura 33:** Modo fondamentale relativo al segnale sismico registrato in situ.



**Figura 34:** Confronto tra la curva di dispersione sperimentale e quella teorica.



**Figura 35:** Modello risultante dall'inversione dei dati.

Per quanto concerne i dettagli relativi alle caratteristiche geometriche dello stendimento, sono stati utilizzati 24 geofoni in linea con interdistanza di 2.5 m.

La  $V_{s,eq}$  è stata ricavata dalla formula:

$$V_{s,eq} = \frac{H}{\sum \frac{h_i}{v_i}}$$

Nel caso specifico è risultato:

**$V_{s,eq} = 352 \text{ m/s}$**

Si tratta quindi di un suolo di **tipo C** ( $S_s = 1.5$  secondo le NTC 2018).

In allegato, vengono inoltre fornite tabelle recanti la classificazione del sito e lo spettro di risposta elastico relativo, ricavato considerando una probabilità di superamento del 10% in 50 anni (tempo di ritorno 475 anni). Tale condizione corrisponde allo stato limite ultimo di salvaguardia della vita (secondo NTC).





Figura 36: Ortofoto relativa all'ubicazione della prova MASW7.



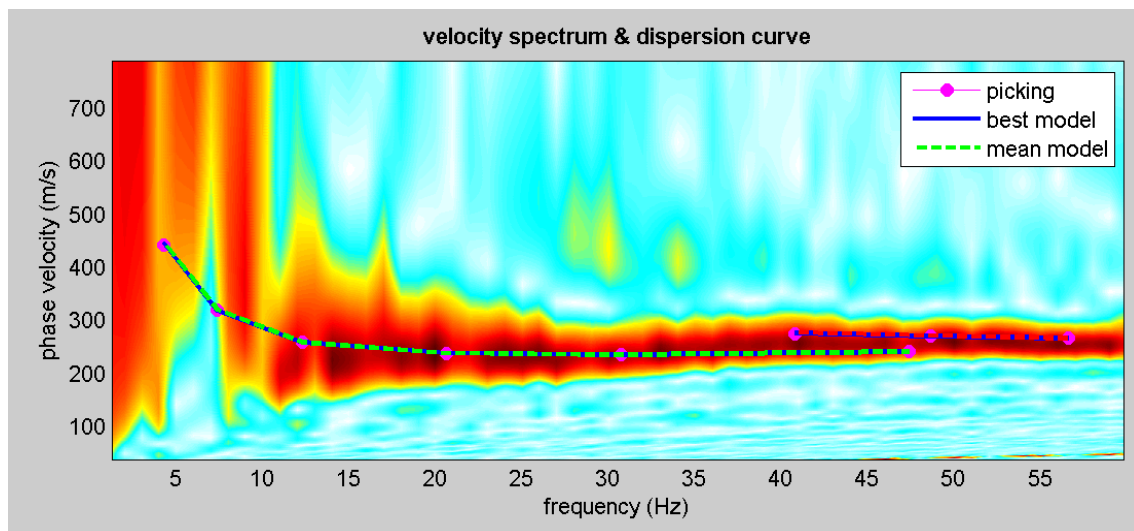
Figura 37: Foto relativa all'esecuzione della prova MASW7.

## MASW8

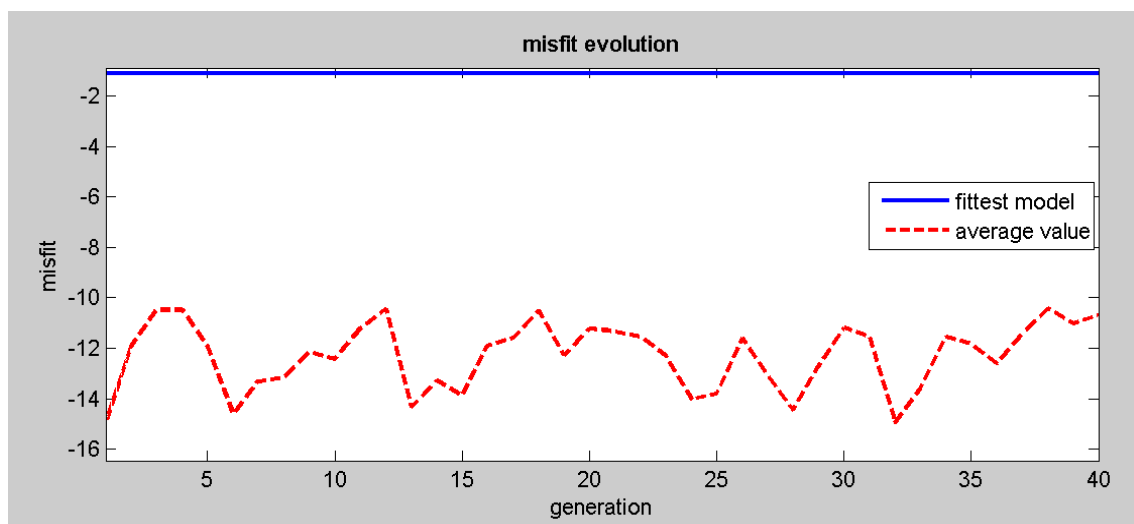
L'indagine di sismica superficiale eseguita ha permesso la determinazione dell'andamento della velocità delle Vs fino a 30 m di profondità.

Di seguito si riportano le immagini relative all'analisi  $\omega$ -p (trasformata  $\tau$ -p & trasformata di Fourier) al fine di discriminare l'energia associata alle onde di Rayleigh.

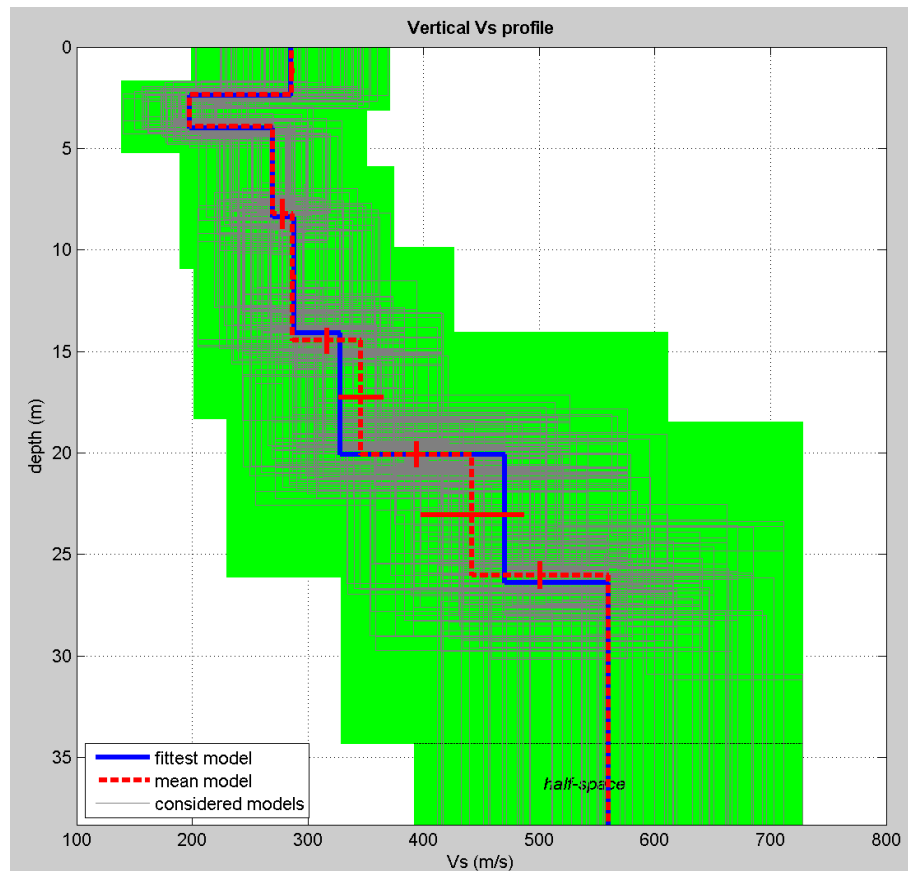
L'inversione della curva di dispersione con il metodo phase shift utilizzando la tecnica di calcolo degli algoritmi genetici.



**Figura 38:** Modo fondamentale relativo al segnale sismico registrato in situ.



**Figura 39:** Confronto tra la curva di dispersione sperimentale e quella teorica.



Per quanto concerne i dettagli relativi alle caratteristiche geometriche dello stendimento, sono stati utilizzati 24 geofoni in linea con interdistanza di 2.5 m.

La  $V_{s,eq}$  è stata ricavata dalla formula:

$$V_{s,eq} = \frac{H}{\sum \frac{h_i}{v_i}}$$

Nel caso specifico è risultato:

**$V_{s,eq} = 331$  m/s**

Si tratta quindi di un suolo di **tipo C** ( $S_s = 1.5$  secondo le NTC 2018).

In allegato, vengono inoltre fornite tabelle recanti la classificazione del sito e lo spettro di risposta elastico relativo, ricavato considerando una probabilità di superamento del 10% in 50 anni (tempo di ritorno 475 anni). Tale condizione corrisponde allo stato limite ultimo di salvaguardia della vita (secondo NTC).





Figura 41: Ortofoto relativa all'ubicazione della prova MASW8.



Figura 42: Foto relativa all'esecuzione della prova MASW8.



## CLASSIFICAZIONE DEL SITO NTC 2018 MASW1

**Data: maggio 2020**

Località Vignale (NO)

Coordinate LAT 45.489194 LONG 8.610032 (WGS84 gradi decimali)

Metodo di indagine MASW

Strumentazione utilizzata Sismografo Echo 24-2010 a 24 Canali, 24 bits

Metodo di energizzazione Mazza da 8 kg

Geometria stendimento: 24 geofoni - interasse 2.5 m

### RISPOSTA SISMICA LOCALE

±  
(si vedano le tabelle sottostanti per ricavare i valori del Coeff. Cc e del coeff di amplificazione S)

#### Categorie di sottosuolo di fondazione:

		Ss	Cc	S=Ss*Sr
A	Ammassi rocciosi affioranti o terreni molto rigidi caratterizzati da valori di velocità delle onde di taglio superiori a 800 m/s, eventualmente comprendenti in superficie terreni di caratteristiche meccaniche più scadenti con spessore massimo pari a 3 m.			
B	Rocce tenere e depositi di terreni a grana grossa molto addensati o terreni a grana fine molto consistenti, caratterizzati da un miglioramento delle proprietà meccaniche con la profondità e da valori di velocità equivalente compresi tra 360 m/s e 800 m/s			
C	Depositi di terreni a grana grossa mediamente addensati o terreni a grana fine mediamente consistenti con profondità del substrato superiori a 30 m, caratterizzati da un miglioramento delle proprietà meccaniche con la profondità e da valori di velocità equivalente compresi tra 180 m/s e 360 m/s.	1.50	1.61	1.50
D	Depositi di terreni a grana grossa scarsamente addensati o di terreni a grana fine scarsamente consistenti, con profondità del substrato superiori a 30 m, caratterizzati da un miglioramento delle proprietà meccaniche con la profondità e da valori di velocità equivalente compresi tra 100 e 180 m/s.			
E	Terreni con caratteristiche e valori di velocità equivalente riconducibili a quelle definite per le categorie C o D, con profondità del substrato non superiore a 30 m.			

I parametri a/g, F<sub>0</sub> e T\* vengono forniti dalla normativa

#### Categorie topografiche

St

T1	Superficie pianeggiante, pendii e rilievi isolati con inclinazione media $i \leq 15^\circ$	1	
T2	Pendii con inclinazione media $i > 15^\circ$	1.2	valore alla sommità del pendio
T3	Rilievi con larghezza in cresta molto minore che alla base e inclinazione media $15^\circ \leq i \leq 30^\circ$	1.2	valore della cresta del rilievo
T4	Rilievi con larghezza in cresta molto minore che alla base e inclinazione media $i > 30^\circ$	1.4	valore della cresta del rilievo

Le sovraesposte categorie topografiche si riferiscono a configurazioni geometriche prevalentemente bidimensionali, creste o dorsali allungate, e devono essere considerate nella definizione dell'azione sismica se di altezza maggiore di 30 m.

**SPETTRO DI RISPOSTA ELASTICO @ 5% SMORZAMENTO – COMP. ORIZZONTALE (NTC 2018)**

Possibilità di superamento del 10% in 50 anni

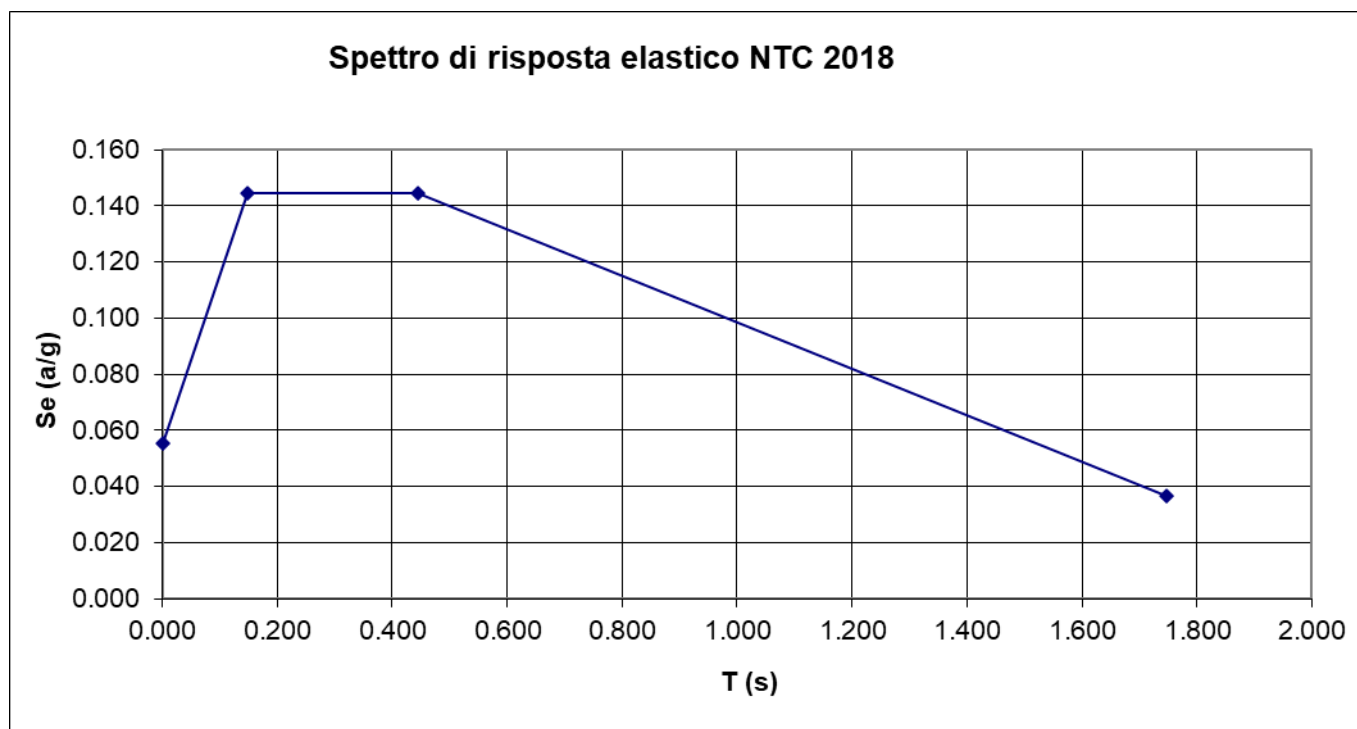
$$T_0 = a_g \cdot S$$

$$T_b = T_c / 3$$

$$T_c = C_c \cdot T_c^*$$

$$T_d = 4.0 \cdot a_g / g + 1.6$$

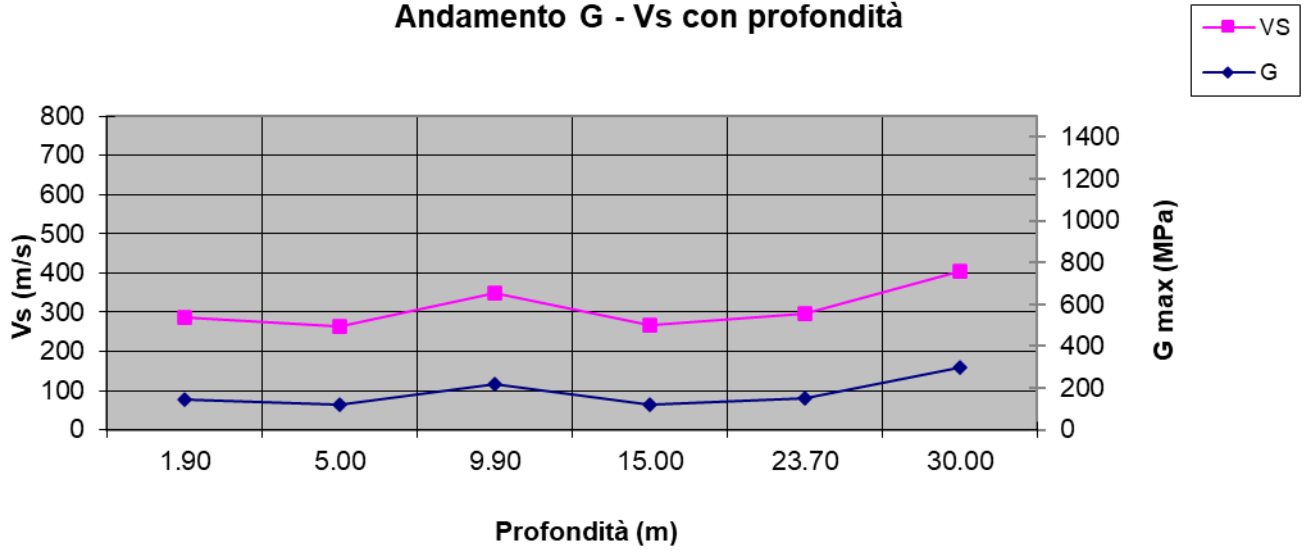
Ascisse (s)	Ordinate (g)
0.000	0.056
0.148	0.145
0.444	0.145
1.748	0.037



Depth (m)	Density (t/mc)	S-velocity (m/s)	Gmax (Mpa)
1.90	1.72	288	143
5.00	1.71	265	120
9.90	1.79	349	218
15.00	1.70	268	122
23.70	1.73	297	153
30.00	1.83	404	299

$$V_{s,eq} = 311.68 \text{ m/s}$$

Andamento G - Vs con profondità





## CLASSIFICAZIONE DEL SITO NTC 2018 MASW2

**Data: maggio 2020**

Località Vignale (NO)

Coordinate LAT 45.490179 LONG 8.613814 (WGS84 gradi decimali)

Metodo di indagine MASW

Strumentazione utilizzata Sismografo Echo 24-2010 a 24 Canali, 24 bits

Metodo di energizzazione Mazza da 8 kg

Geometria stendimento: 24 geofoni - interasse 2.5 m

### RISPOSTA SISMICA LOCALE

±

(si vedano le tabelle sottostanti per ricavare i valori del Coeff. Cc e del coeff di amplificazione S)

#### Categorie di sottosuolo di fondazione:

		Ss	Cc	S=Ss*Sr
A	Ammassi rocciosi affioranti o terreni molto rigidi caratterizzati da valori di velocità delle onde di taglio superiori a 800 m/s, eventualmente comprendenti in superficie terreni di caratteristiche meccaniche più scadenti con spessore massimo pari a 3 m.			
B	Rocce tenere e depositi di terreni a grana grossa molto addensati o terreni a grana fine molto consistenti, caratterizzati da un miglioramento delle proprietà meccaniche con la profondità e da valori di velocità equivalente compresi tra 360 m/s e 800 m/s			
C	Depositi di terreni a grana grossa mediamente addensati o terreni a grana fine mediamente consistenti con profondità del substrato superiori a 30 m, caratterizzati da un miglioramento delle proprietà meccaniche con la profondità e da valori di velocità equivalente compresi tra 180 m/s e 360 m/s.	1.50	1.61	1.50
D	Depositi di terreni a grana grossa scarsamente addensati o di terreni a grana fine scarsamente consistenti, con profondità del substrato superiori a 30 m, caratterizzati da un miglioramento delle proprietà meccaniche con la profondità e da valori di velocità equivalente compresi tra 100 e 180 m/s.			
E	Terreni con caratteristiche e valori di velocità equivalente riconducibili a quelle definite per le categorie C o D, con profondità del substrato non superiore a 30 m.			

I parametri a/g, F<sub>0</sub> e T\* vengono forniti dalla normativa

#### Categorie topografiche

St

T1	Superficie pianeggiante, pendii e rilievi isolati con inclinazione media $i \leq 15^\circ$	1	
T2	Pendii con inclinazione media $i > 15^\circ$	1.2	valore alla sommità del pendio
T3	Rilievi con larghezza in cresta molto minore che alla base e inclinazione media $15^\circ \leq i \leq 30^\circ$	1.2	valore della cresta del rilievo
T4	Rilievi con larghezza in cresta molto minore che alla base e inclinazione media $i > 30^\circ$	1.4	valore della cresta del rilievo

Le sovraesposte categorie topografiche si riferiscono a configurazioni geometriche prevalentemente bidimensionali, creste o dorsali allungate, e devono essere considerate nella definizione dell'azione sismica se di altezza maggiore di 30 m.

**SPETTRO DI RISPOSTA ELASTICO @ 5% SMORZAMENTO – COMP. ORIZZONTALE (NTC 2018)**

Possibilità di superamento del 10% in 50 anni

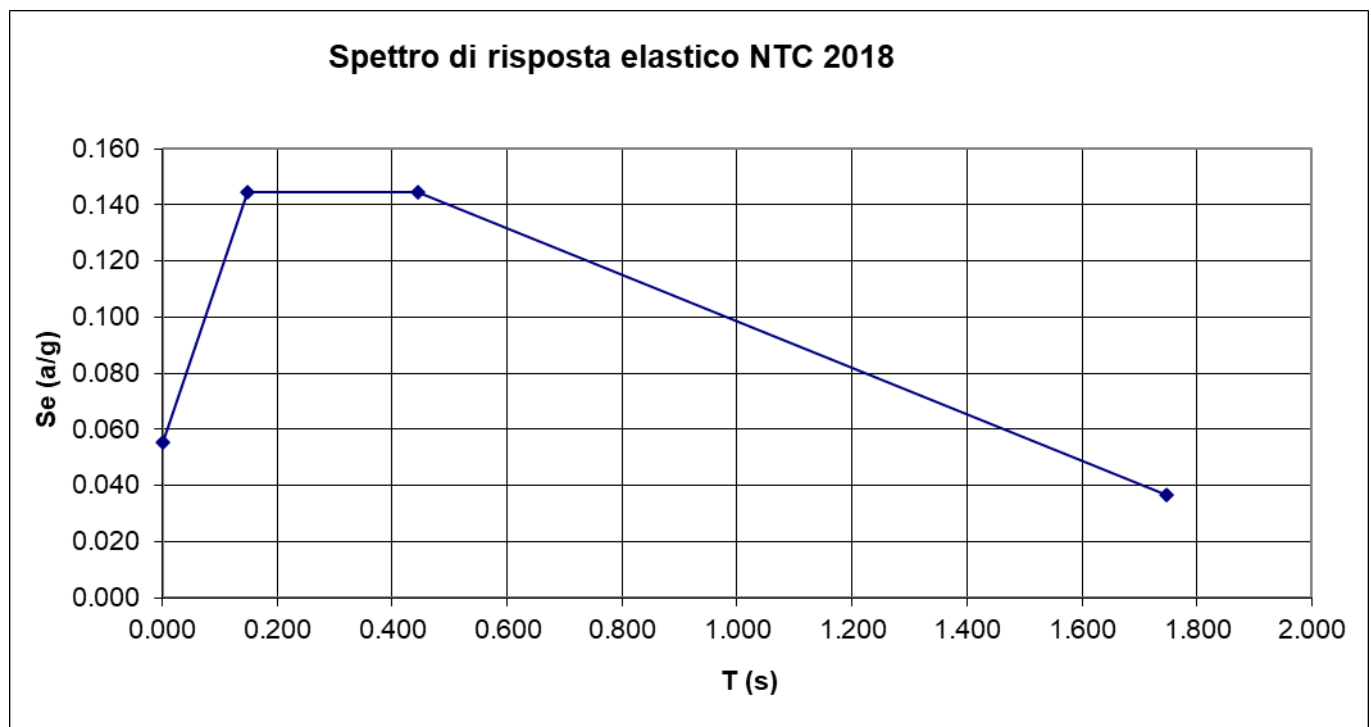
$$T_0 = a_g \cdot S$$

$$T_b = T_c / 3$$

$$T_c = C_c \cdot T_c$$

$$T_d = 4.0 \cdot a_g / g + 1.6$$

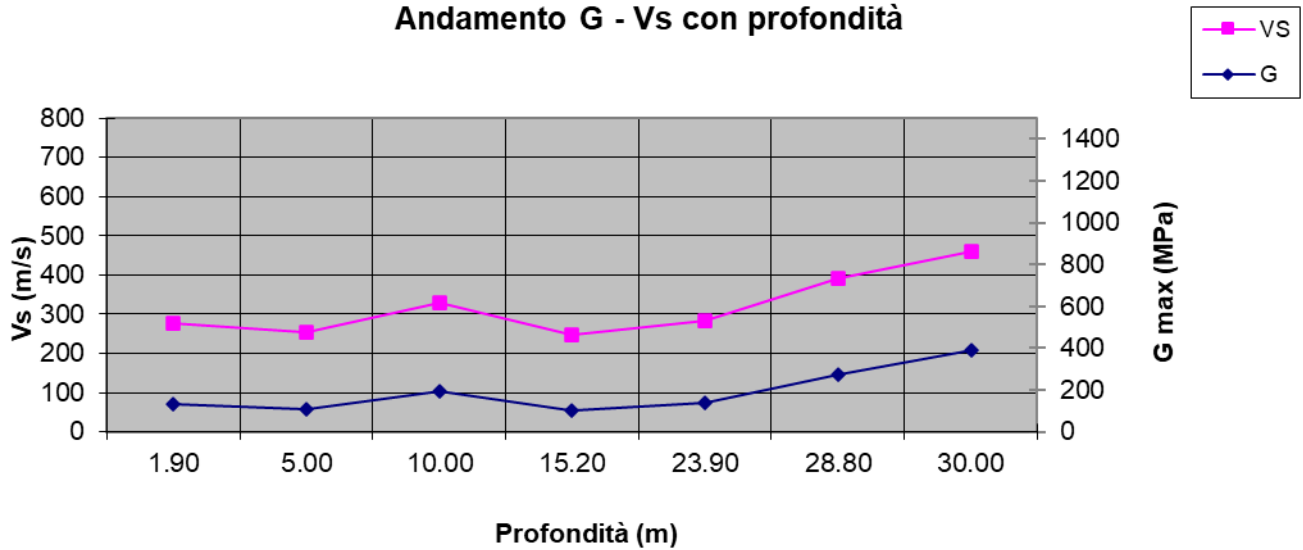
Ascisse (s)	Ordinate (g)
0.000	0.056
0.148	0.145
0.444	0.145
1.748	0.037



Depth (m)	Density (t/mc)	S-velocity (m/s)	Gmax (Mpa)
1.90	1.71	278	132
5.00	1.69	255	110
10.00	1.77	329	192
15.20	1.68	248	103
23.90	1.72	284	138
28.80	1.82	390	277
30.00	1.84	460	390

$$V_{s,eq} = 297.14 \text{ m/s}$$

**Andamento G - Vs con profondità**



## CLASSIFICAZIONE DEL SITO NTC 2018 MASW3

**Data: maggio 2020**

**Località** Due Fontane (NO)

**Coordinate** LAT 45.487582 LONG 8.624048 (WGS84 gradi decimali)

**Metodo di indagine** MASW

**Strumentazione utilizzata** Sismografo Echo 24-2010 a 24 Canali, 24 bits

**Metodo di energizzazione** Mazza da 8 kg

**Geometria stendimento:** 24 geofoni - interasse 2.5 m

### RISPOSTA SISMICA LOCALE

±  
 (si vedano le tabelle sottostanti per ricavare i valori del Coeff. Cc e del coeff di amplificazione S)

#### Categorie di sottosuolo di fondazione:

		Ss	Cc	S=Ss*Sr
<b>A</b>	Ammassi rocciosi affioranti o terreni molto rigidi caratterizzati da valori di velocità delle onde di taglio superiori a 800 m/s, eventualmente comprendenti in superficie terreni di caratteristiche meccaniche più scadenti con spessore massimo pari a 3 m.			
<b>B</b>	Rocce tenere e depositi di terreni a grana grossa molto addensati o terreni a grana fine molto consistenti, caratterizzati da un miglioramento delle proprietà meccaniche con la profondità e da valori di velocità equivalente compresi tra 360 m/s e 800 m/s			
<b>C</b>	Depositi di terreni a grana grossa mediamente addensati o terreni a grana fine mediamente consistenti con profondità del substrato superiori a 30 m, caratterizzati da un miglioramento delle proprietà meccaniche con la profondità e da valori di velocità equivalente compresi tra 180 m/s e 360 m/s.	1.50	1.61	1.50
<b>D</b>	Depositi di terreni a grana grossa scarsamente addensati o di terreni a grana fine scarsamente consistenti, con profondità del substrato superiori a 30 m, caratterizzati da un miglioramento delle proprietà meccaniche con la profondità e da valori di velocità equivalente compresi tra 100 e 180 m/s.			
<b>E</b>	Terreni con caratteristiche e valori di velocità equivalente riconducibili a quelle definite per le categorie C o D, con profondità del substrato non superiore a 30 m.			

I parametri a/g, F<sub>0</sub> e T\* vengono forniti dalla normativa

#### Categorie topografiche

St

<b>T1</b>	Superficie pianeggiante, pendii e rilievi isolati con inclinazione media $i \leq 15^\circ$	1	
<b>T2</b>	Pendii con inclinazione media $i > 15^\circ$	1.2	valore alla sommità del pendio
<b>T3</b>	Rilievi con larghezza in cresta molto minore che alla base e inclinazione media $15^\circ \leq i \leq 30^\circ$	1.2	valore della cresta del rilievo
<b>T4</b>	Rilievi con larghezza in cresta molto minore che alla base e inclinazione media $i > 30^\circ$	1.4	valore della cresta del rilievo

Le sovraesperte categorie topografiche si riferiscono a configurazioni geometriche prevalentemente bidimensionali, creste o dorsali allungate, e devono essere considerate nella definizione dell'azione sismica se di altezza maggiore di 30 m.



**SPETTRO DI RISPOSTA ELASTICO @ 5% SMORZAMENTO – COMP. ORIZZONTALE (NTC 2018)**

Possibilità di superamento del 10% in 50 anni

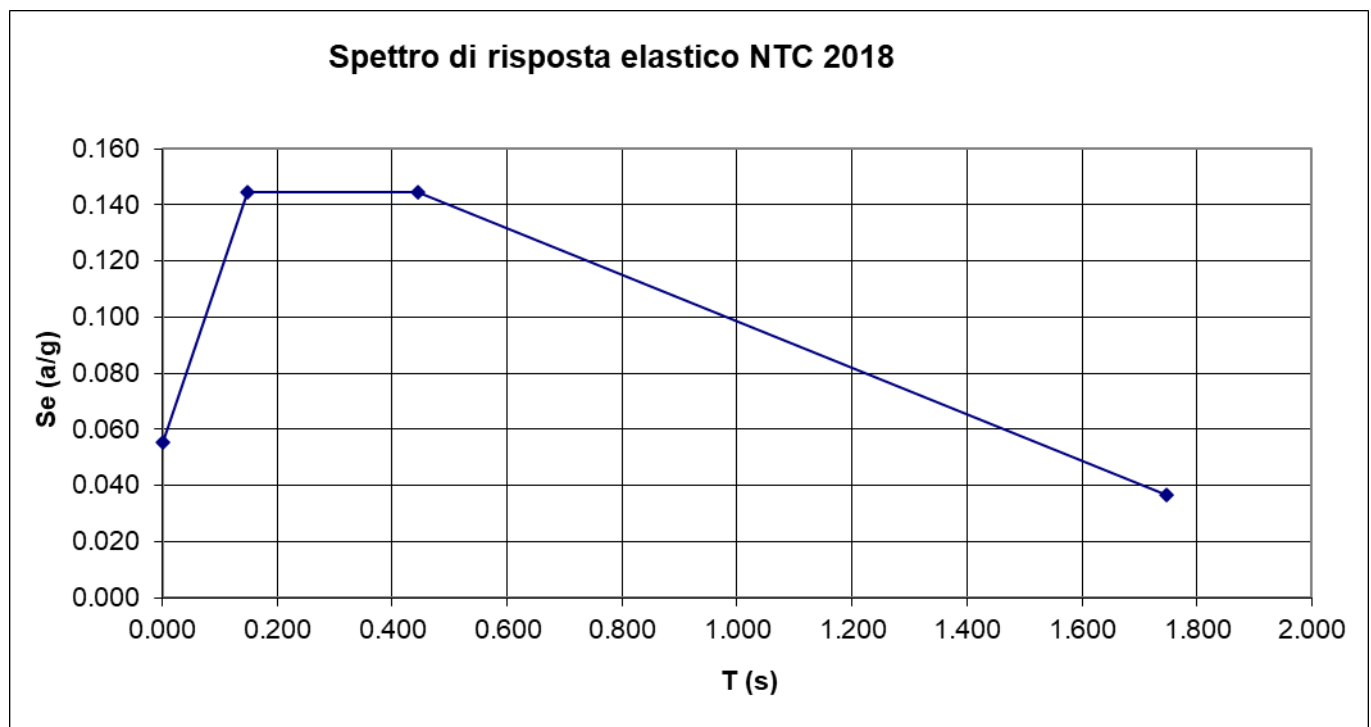
$$T_0 = a_g \cdot S$$

$$T_b = T_c / 3$$

$$T_c = C_c \cdot T_c$$

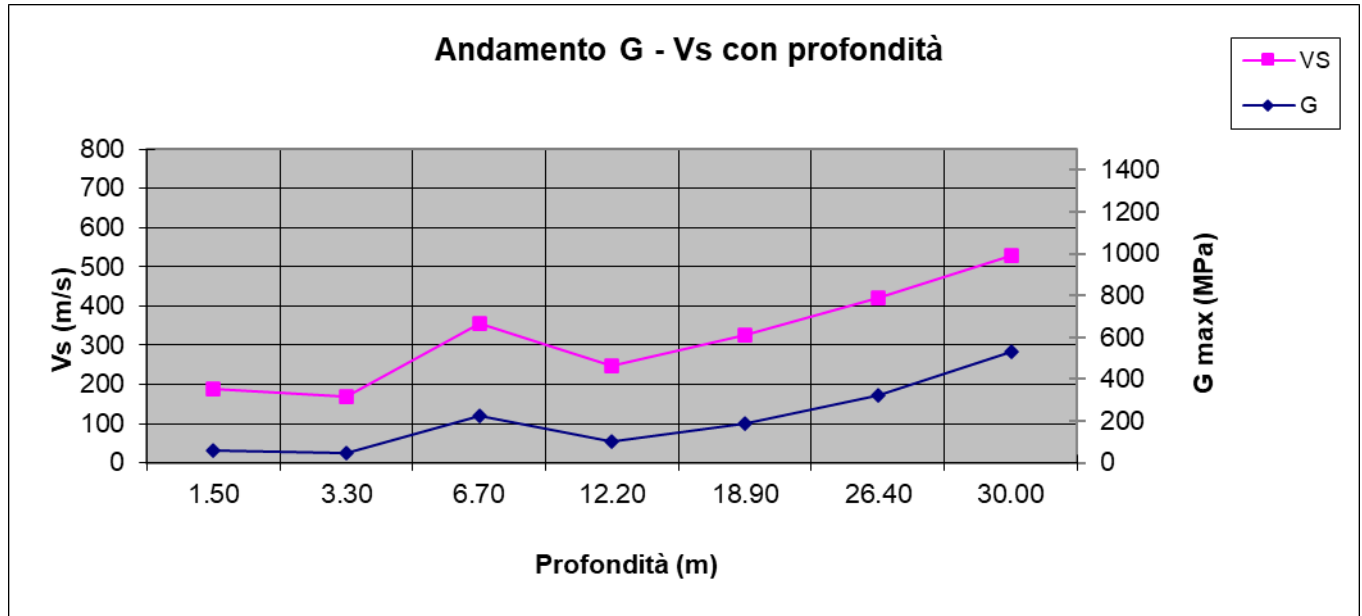
$$T_d = 4.0 \cdot a_g / g + 1.6$$

Ascisse (s)	Ordinate (g)
0.000	0.056
0.148	0.145
0.444	0.145
1.748	0.037



Depth (m)	Density (t/mc)	S-velocity (m/s)	Gmax (Mpa)
<b>1.50</b>	1.59	188	56
<b>3.30</b>	1.54	169	44
<b>6.70</b>	1.78	355	224
<b>12.20</b>	1.67	248	103
<b>18.90</b>	1.75	325	185
<b>26.40</b>	1.84	420	325
<b>30.00</b>	1.89	530	530

$V_{s,eq} = 313.65 \text{ m/s}$



## CLASSIFICAZIONE DEL SITO NTC 2018 MASW4

**Data: maggio 2020**

**Località** Vignale (NO)

**Coordinate** LAT 45.474924 LONG 8.613884 (WGS84 gradi decimali)

**Metodo di indagine** MASW

**Strumentazione utilizzata** Sismografo Echo 24-2010 a 24 Canali, 24 bits

**Metodo di energizzazione** Mazza da 8 kg

**Geometria stendimento:** 24 geofoni - interasse 2.5 m

### RISPOSTA SISMICA LOCALE

±  
 (si vedano le tabelle sottostanti per ricavare i valori del Coeff. Cc e del coeff di amplificazione S)

#### Categorie di sottosuolo di fondazione:

		Ss	Cc	S=Ss*Sr
A	Ammassi rocciosi affioranti o terreni molto rigidi caratterizzati da valori di velocità delle onde di taglio superiori a 800 m/s, eventualmente comprendenti in superficie terreni di caratteristiche meccaniche più scadenti con spessore massimo pari a 3 m.			
B	Rocce tenere e depositi di terreni a grana grossa molto addensati o terreni a grana fine molto consistenti, caratterizzati da un miglioramento delle proprietà meccaniche con la profondità e da valori di velocità equivalente compresi tra 360 m/s e 800 m/s			
C	Depositi di terreni a grana grossa mediamente addensati o terreni a grana fine mediamente consistenti con profondità del substrato superiori a 30 m, caratterizzati da un miglioramento delle proprietà meccaniche con la profondità e da valori di velocità equivalente compresi tra 180 m/s e 360 m/s.	1.50	1.60	1.50
D	Depositi di terreni a grana grossa scarsamente addensati o di terreni a grana fine scarsamente consistenti, con profondità del substrato superiori a 30 m, caratterizzati da un miglioramento delle proprietà meccaniche con la profondità e da valori di velocità equivalente compresi tra 100 e 180 m/s.			
E	Terreni con caratteristiche e valori di velocità equivalente riconducibili a quelle definite per le categorie C o D, con profondità del substrato non superiore a 30 m.			

I parametri a/g, F<sub>0</sub> e T\* vengono forniti dalla normativa

#### Categorie topografiche

St

T	Descrizione	St	Valore
T1	Superficie pianeggiante, pendii e rilievi isolati con inclinazione media i ≤ 15°	1	
T2	Pendii con inclinazione media i > 15°	1.2	valore alla sommità del pendio
T3	Rilievi con larghezza in cresta molto minore che alla base e inclinazione media 15° ≤ i ≤ 30°	1.2	valore della cresta del rilievo
T4	Rilievi con larghezza in cresta molto minore che alla base e inclinazione media i > 30°	1.4	valore della cresta del rilievo

Le sovraesposte categorie topografiche si riferiscono a configurazioni geometriche prevalentemente bidimensionali, creste o dorsali allungate, e devono essere considerate nella definizione dell'azione sismica se di altezza maggiore di 30 m.

**SPETTRO DI RISPOSTA ELASTICO @ 5% SMORZAMENTO – COMP. ORIZZONTALE (NTC 2018)**

Possibilità di superamento del 10% in 50 anni

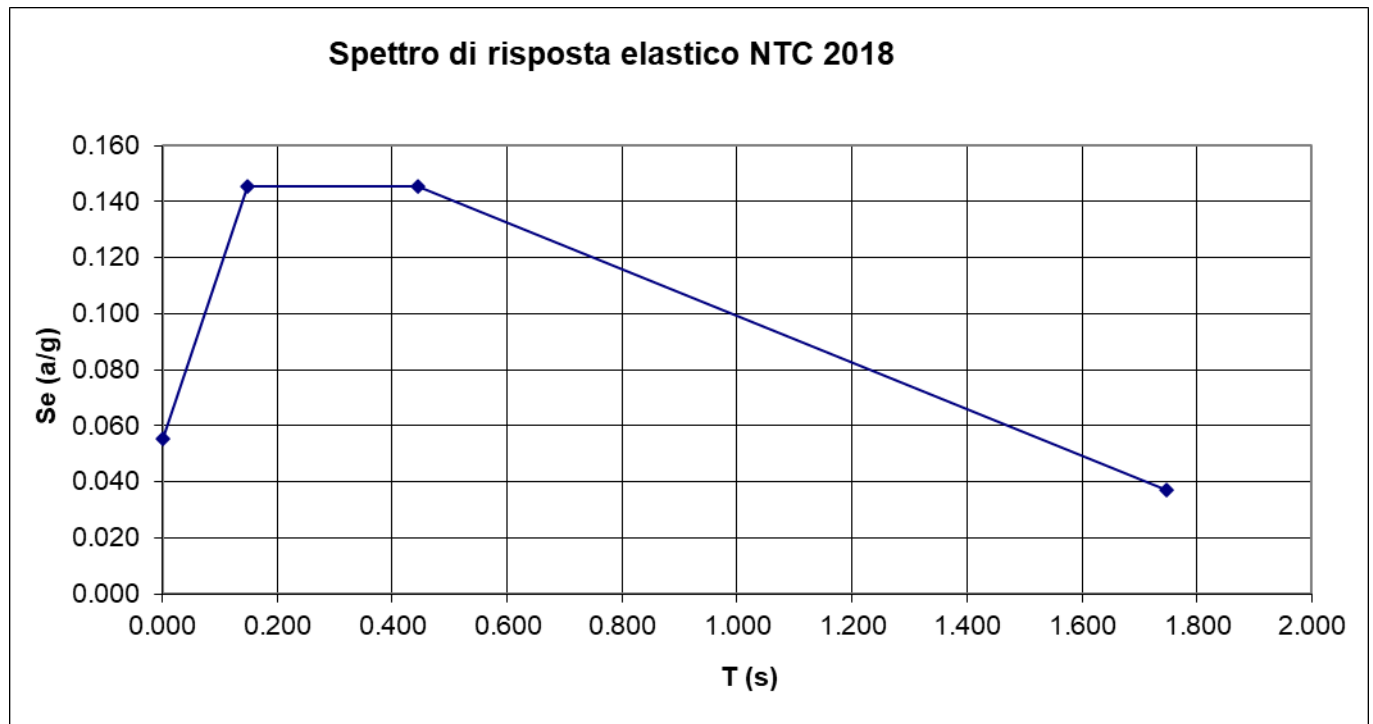
$$T_0 = a_g \cdot S$$

$$T_b = T_c / 3$$

$$T_c = C_c \cdot T_c$$

$$T_d = 4.0 \cdot a_g / g + 1.6$$

Ascisse (s)	Ordinate (g)
0.000	0.056
0.148	0.145
0.445	0.145
1.748	0.037

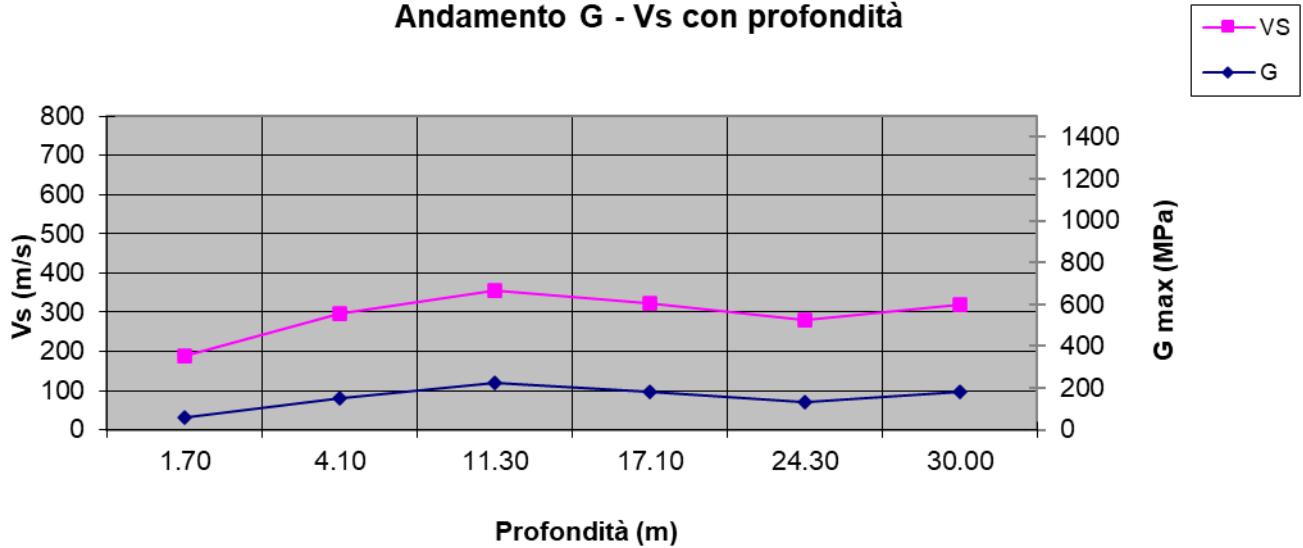


Depth (m)	Density (t/mc)	S-velocity (m/s)	Gmax (Mpa)
1.70	1.60	190	58
4.10	1.73	298	153
11.30	1.78	355	225
17.10	1.77	323	184
24.30	1.71	281	135
30.00	1.75	320	179

$V_{s,eq} = 304.03 \text{ m/s}$



Andamento G - Vs con profondità



## CLASSIFICAZIONE DEL SITO NTC 2018 MASW5

**Data: maggio 2020**

**Località** Veveri (NO)

**Coordinate** LAT 45.470554 LONG 8.621713 (WGS84 gradi decimali)

**Metodo di indagine** MASW

**Strumentazione utilizzata** Sismografo Echo 24-2010 a 24 Canali, 24 bits

**Metodo di energizzazione** Mazza da 8 kg

**Geometria stendimento:** 24 geofoni - interasse 2.5 m

### RISPOSTA SISMICA LOCALE

±

(si vedano le tabelle sottostanti per ricavare i valori del Coeff. Cc e del coeff di amplificazione S)

#### Categorie di sottosuolo di fondazione:

		Ss	Cc	S=Ss*Sr
A	Ammassi rocciosi affioranti o terreni molto rigidi caratterizzati da valori di velocità delle onde di taglio superiori a 800 m/s, eventualmente comprendenti in superficie terreni di caratteristiche meccaniche più scadenti con spessore massimo pari a 3 m.			
B	Rocce tenere e depositi di terreni a grana grossa molto addensati o terreni a grana fine molto consistenti, caratterizzati da un miglioramento delle proprietà meccaniche con la profondità e da valori di velocità equivalente compresi tra 360 m/s e 800 m/s			
C	Depositi di terreni a grana grossa mediamente addensati o terreni a grana fine mediamente consistenti con profondità del substrato superiori a 30 m, caratterizzati da un miglioramento delle proprietà meccaniche con la profondità e da valori di velocità equivalente compresi tra 180 m/s e 360 m/s.	1.50	1.60	1.50
D	Depositi di terreni a grana grossa scarsamente addensati o di terreni a grana fine scarsamente consistenti, con profondità del substrato superiori a 30 m, caratterizzati da un miglioramento delle proprietà meccaniche con la profondità e da valori di velocità equivalente compresi tra 100 e 180 m/s.			
E	Terreni con caratteristiche e valori di velocità equivalente riconducibili a quelle definite per le categorie C o D, con profondità del substrato non superiore a 30 m.			

I parametri a/g, F<sub>0</sub> e T\* vengono forniti dalla normativa

#### Categorie topografiche

St

T1	Superficie pianeggiante, pendii e rilievi isolati con inclinazione media $i \leq 15^\circ$	1	
T2	Pendii con inclinazione media $i > 15^\circ$	1.2	valore alla sommità del pendio
T3	Rilievi con larghezza in cresta molto minore che alla base e inclinazione media $15^\circ \leq i \leq 30^\circ$	1.2	valore della cresta del rilievo
T4	Rilievi con larghezza in cresta molto minore che alla base e inclinazione media $i > 30^\circ$	1.4	valore della cresta del rilievo

Le sovraesposte categorie topografiche si riferiscono a configurazioni geometriche prevalentemente bidimensionali, creste o dorsali allungate, e devono essere considerate nella definizione dell'azione sismica se di altezza maggiore di 30 m.

**SPETTRO DI RISPOSTA ELASTICO @ 5% SMORZAMENTO – COMP. ORIZZONTALE (NTC 2018)**

Possibilità di superamento del 10% in 50 anni

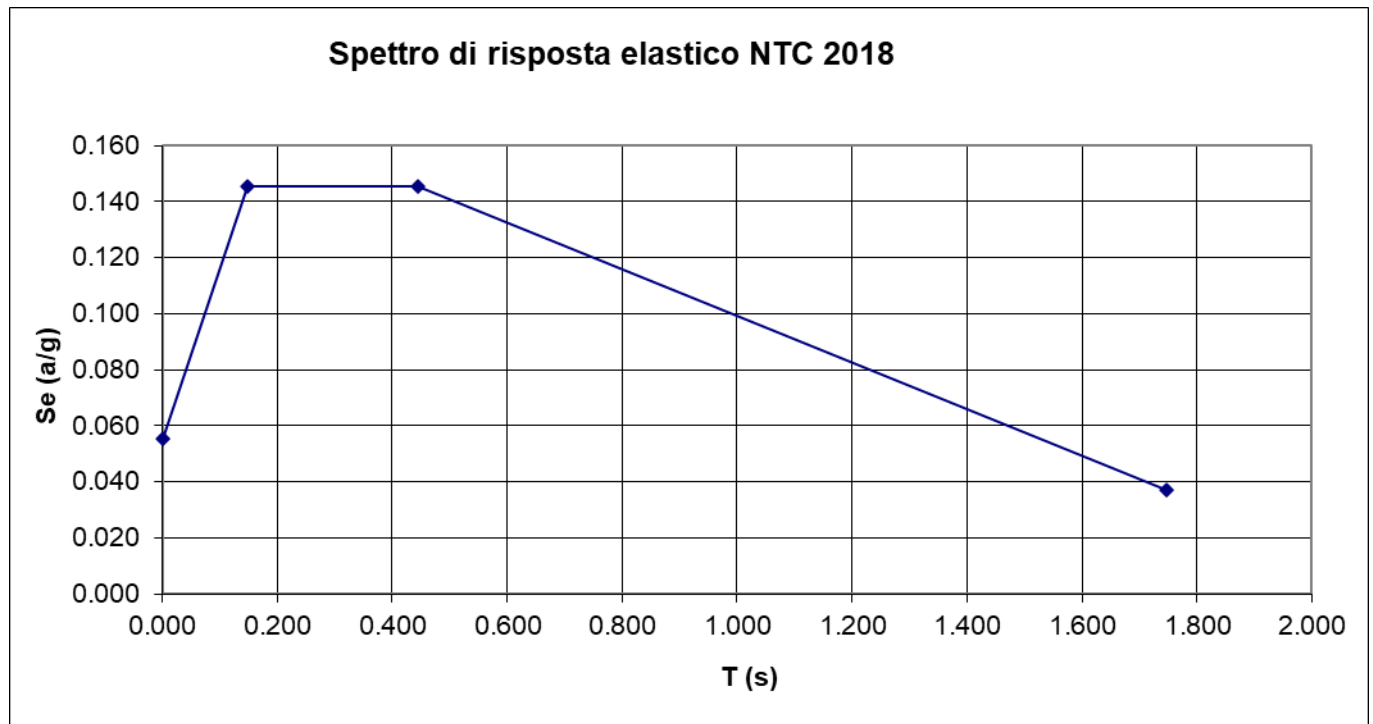
$$T_0 = a_g \cdot S$$

$$T_b = T_c / 3$$

$$T_c = C_c \cdot T_c$$

$$T_d = 4.0 \cdot a_g / g + 1.6$$

Ascisse (s)	Ordinate (g)
0.000	0.056
0.148	0.145
0.445	0.145
1.748	0.037

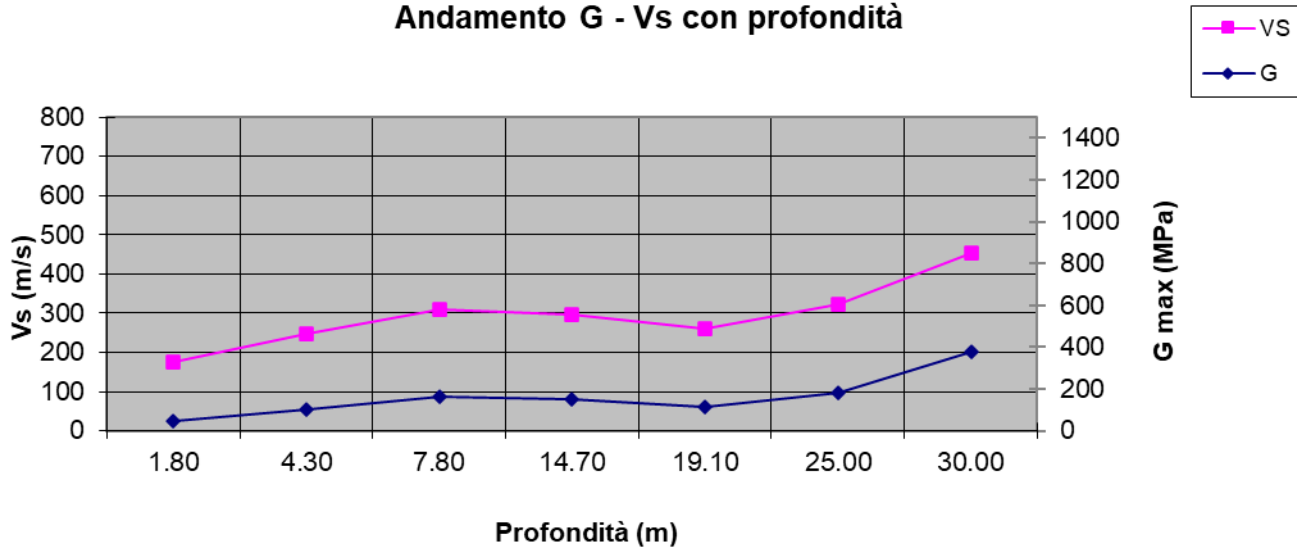


Depth (m)	Density (t/mc)	S-velocity (m/s)	Gmax (Mpa)
1.80	1.58	175	48
4.30	1.69	248	104
7.80	1.75	308	166
14.70	1.72	296	151
19.10	1.68	260	114
25.00	1.75	322	182
30.00	1.84	455	380

$$V_{s,eq} = 296.22 \text{ m/s}$$



Andamento G - Vs con profondità



## CLASSIFICAZIONE DEL SITO NTC 2018 MASW6

**Data: maggio 2020**

**Località** Novara (NO)

**Coordinate** LAT 45.465204 LONG 8.63618 (WGS84 gradi decimali)

**Metodo di indagine** MASW

**Strumentazione utilizzata** Sismografo Echo 24-2010 a 24 Canali, 24 bits

**Metodo di energizzazione** Mazza da 8 kg

**Geometria stendimento:** 24 geofoni - interasse 2.5 m

### RISPOSTA SISMICA LOCALE

±

(si vedano le tabelle sottostanti per ricavare i valori del Coeff. Cc e del coeff di amplificazione S)

#### Categorie di sottosuolo di fondazione:

		Ss	Cc	S=Ss*Sr
A	Ammassi rocciosi affioranti o terreni molto rigidi caratterizzati da valori di velocità delle onde di taglio superiori a 800 m/s, eventualmente comprendenti in superficie terreni di caratteristiche meccaniche più scadenti con spessore massimo pari a 3 m.			
B	Rocce tenere e depositi di terreni a grana grossa molto addensati o terreni a grana fine molto consistenti, caratterizzati da un miglioramento delle proprietà meccaniche con la profondità e da valori di velocità equivalente compresi tra 360 m/s e 800 m/s			
C	Depositi di terreni a grana grossa mediamente addensati o terreni a grana fine mediamente consistenti con profondità del substrato superiori a 30 m, caratterizzati da un miglioramento delle proprietà meccaniche con la profondità e da valori di velocità equivalente compresi tra 180 m/s e 360 m/s.	1.50	1.60	1.50
D	Depositi di terreni a grana grossa scarsamente addensati o di terreni a grana fine scarsamente consistenti, con profondità del substrato superiori a 30 m, caratterizzati da un miglioramento delle proprietà meccaniche con la profondità e da valori di velocità equivalente compresi tra 100 e 180 m/s.			
E	Terreni con caratteristiche e valori di velocità equivalente riconducibili a quelle definite per le categorie C o D, con profondità del substrato non superiore a 30 m.			

I parametri a/g, F<sub>0</sub> e T\* vengono forniti dalla normativa

#### Categorie topografiche

St

T1	Superficie pianeggiante, pendii e rilievi isolati con inclinazione media $i \leq 15^\circ$	1	
T2	Pendii con inclinazione media $i > 15^\circ$	1.2	valore alla sommità del pendio
T3	Rilievi con larghezza in cresta molto minore che alla base e inclinazione media $15^\circ \leq i \leq 30^\circ$	1.2	valore della cresta del rilievo
T4	Rilievi con larghezza in cresta molto minore che alla base e inclinazione media $i > 30^\circ$	1.4	valore della cresta del rilievo

Le sovraesposte categorie topografiche si riferiscono a configurazioni geometriche prevalentemente bidimensionali, creste o dorsali allungate, e devono essere considerate nella definizione dell'azione sismica se di altezza maggiore di 30 m.

**SPETTRO DI RISPOSTA ELASTICO @ 5% SMORZAMENTO – COMP. ORIZZONTALE (NTC 2018)**

Possibilità di superamento del 10% in 50 anni

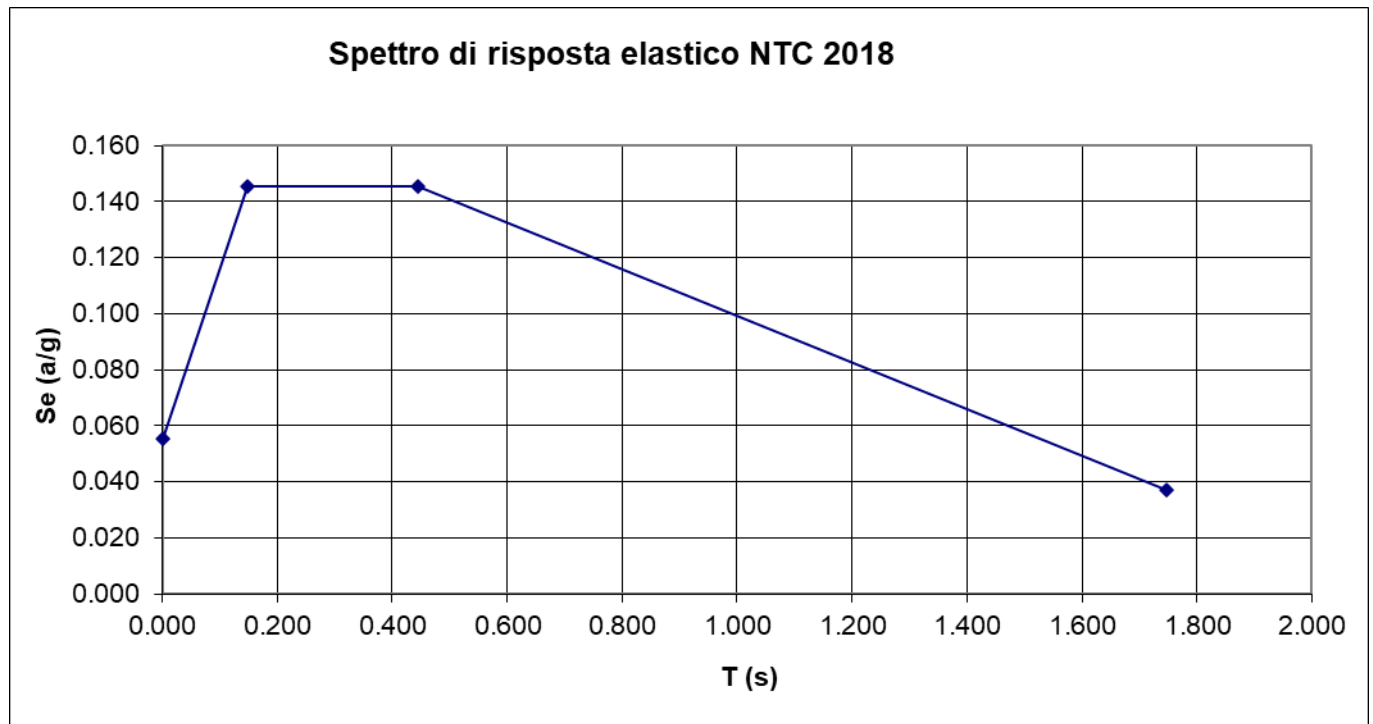
$$T_0 = a_g \cdot S$$

$$T_b = T_c / 3$$

$$T_c = C_c \cdot T_c$$

$$T_d = 4.0 \cdot a_g / g + 1.6$$

Ascisse (s)	Ordinate (g)
0.000	0.056
0.148	0.145
0.445	0.145
1.748	0.037

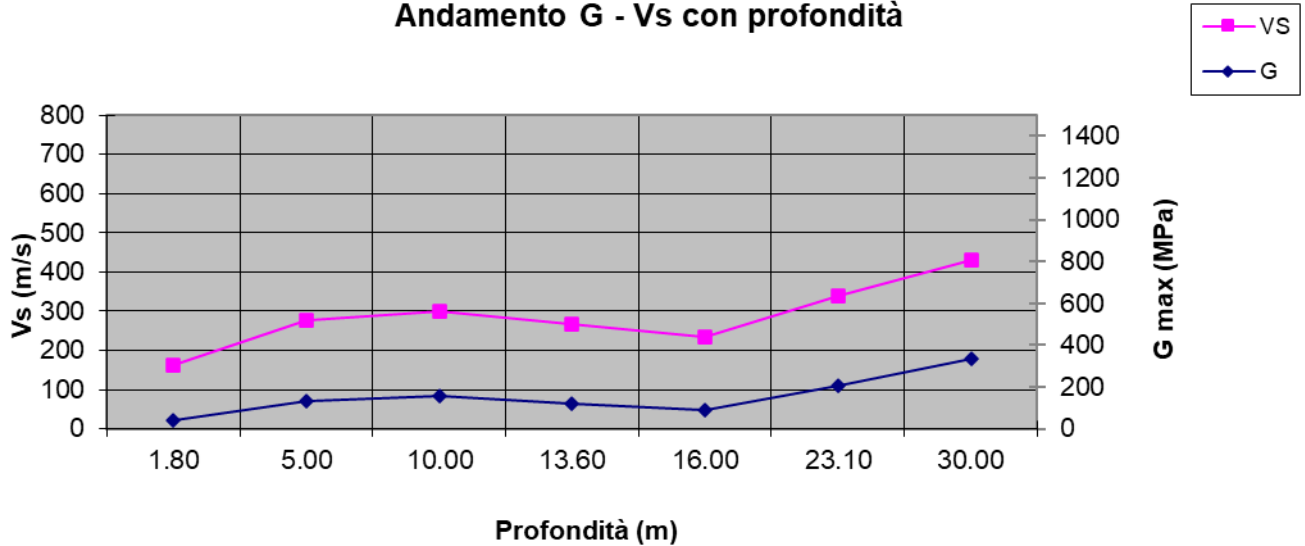


Depth (m)	Density (t/mc)	S-velocity (m/s)	Gmax (Mpa)
1.80	1.55	164	42
5.00	1.70	278	132
10.00	1.74	299	155
13.60	1.69	266	120
16.00	1.66	234	91
23.10	1.78	340	206
30.00	1.82	430	336

$$V_{s,eq} = 300.22 \text{ m/s}$$



Andamento G - Vs con profondità



## CLASSIFICAZIONE DEL SITO NTC 2018 MASW7

**Data: maggio 2020**

**Località** Novara (NO)

**Coordinate** LAT 45.463342 LONG 8.64457 (WGS84 gradi decimali)

**Metodo di indagine** MASW

**Strumentazione utilizzata** Sismografo Echo 24-2010 a 24 Canali, 24 bits

**Metodo di energizzazione** Mazza da 8 kg

**Geometria stendimento:** 24 geofoni - interasse 2.5 m

### RISPOSTA SISMICA LOCALE

±  
(si vedano le tabelle sottostanti per ricavare i valori del Coeff. Cc e del coeff di amplificazione S)

#### Categorie di sottosuolo di fondazione:

		Ss	Cc	S=S <sub>s</sub> *S <sub>r</sub>
<b>A</b>	Ammassi rocciosi affioranti o terreni molto rigidi caratterizzati da valori di velocità delle onde di taglio superiori a 800 m/s, eventualmente comprendenti in superficie terreni di caratteristiche meccaniche più scadenti con spessore massimo pari a 3 m.			
<b>B</b>	Rocce tenere e depositi di terreni a grana grossa molto addensati o terreni a grana fine molto consistenti, caratterizzati da un miglioramento delle proprietà meccaniche con la profondità e da valori di velocità equivalente compresi tra 360 m/s e 800 m/s			
<b>C</b>	Depositi di terreni a grana grossa mediamente addensati o terreni a grana fine mediamente consistenti con profondità del substrato superiori a 30 m, caratterizzati da un miglioramento delle proprietà meccaniche con la profondità e da valori di velocità equivalente compresi tra 180 m/s e 360 m/s.	1.50	1.60	1.50
<b>D</b>	Depositi di terreni a grana grossa scarsamente addensati o di terreni a grana fine scarsamente consistenti, con profondità del substrato superiori a 30 m, caratterizzati da un miglioramento delle proprietà meccaniche con la profondità e da valori di velocità equivalente compresi tra 100 e 180 m/s.			
<b>E</b>	Terreni con caratteristiche e valori di velocità equivalente riconducibili a quelle definite per le categorie C o D, con profondità del substrato non superiore a 30 m.			

I parametri a/g, F<sub>0</sub> e T\* vengono forniti dalla normativa

#### Categorie topografiche

St

T	Descrizione	St	Valore
T1	Superficie pianeggiante, pendii e rilievi isolati con inclinazione media i ≤ 15°	1	
T2	Pendii con inclinazione media i > 15°	1.2	valore alla sommità del pendio
T3	Rilievi con larghezza in cresta molto minore che alla base e inclinazione media 15° ≤ i ≤ 30°	1.2	valore della cresta del rilievo
T4	Rilievi con larghezza in cresta molto minore che alla base e inclinazione media i > 30°	1.4	valore della cresta del rilievo

Le sovraesposte categorie topografiche si riferiscono a configurazioni geometriche prevalentemente bidimensionali, creste o dorsali allungate, e devono essere considerate nella definizione dell'azione sismica se di altezza maggiore di 30 m.

**SPETTRO DI RISPOSTA ELASTICO @ 5% SMORZAMENTO – COMP. ORIZZONTALE (NTC 2018)**

Possibilità di superamento del 10% in 50 anni

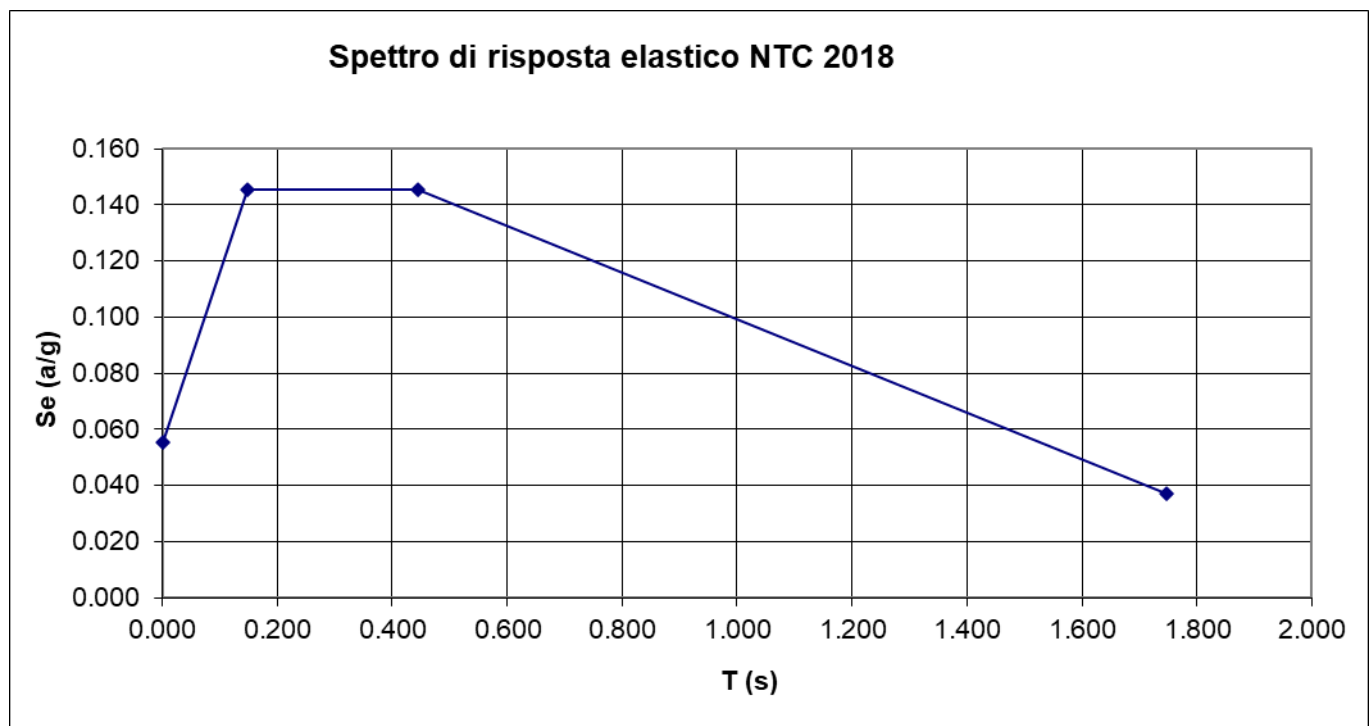
$$T_0 = a_g \cdot S$$

$$T_b = T_c / 3$$

$$T_c = C_c \cdot T_c$$

$$T_d = 4.0 \cdot a_g / g + 1.6$$

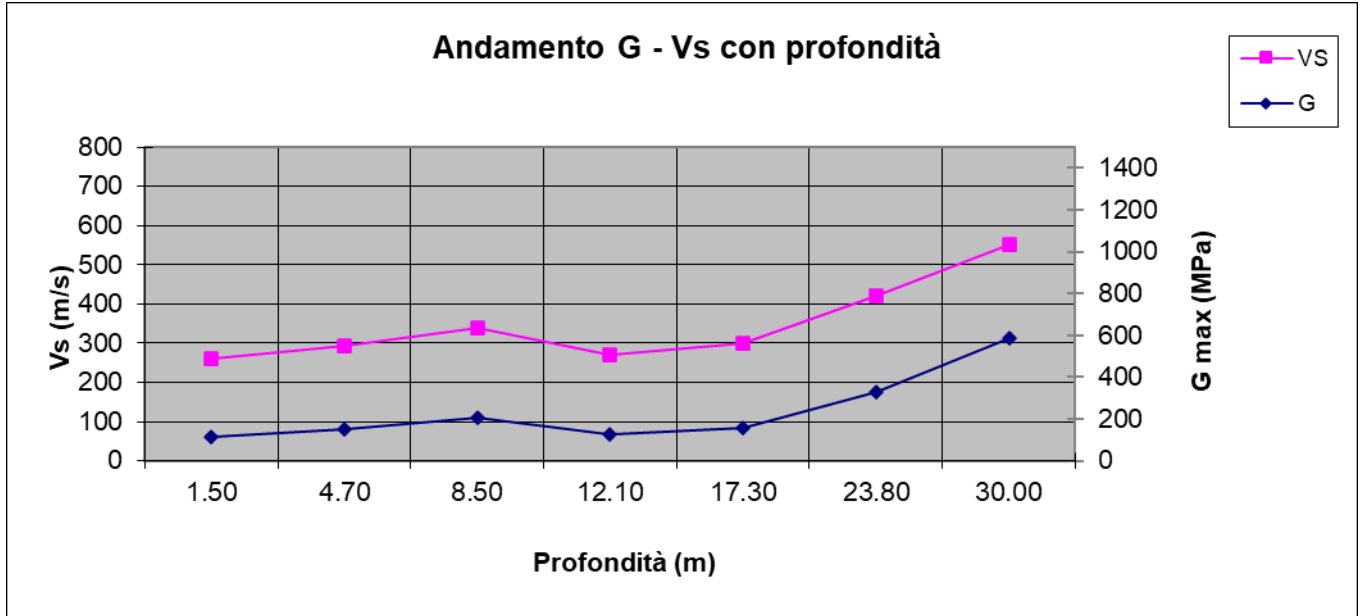
Ascisse (s)	Ordinate (g)
0.000	0.056
0.148	0.145
0.445	0.145
1.748	0.037



Depth (m)	Density (t/mc)	S-velocity (m/s)	Gmax (Mpa)
1.50	1.69	260	114
4.70	1.74	293	149
8.50	1.78	338	204
12.10	1.71	270	125
17.30	1.73	299	155
23.80	1.85	420	326
30.00	1.91	553	584



$V_{s,eq} = 351.51 \text{ m/s}$



## CLASSIFICAZIONE DEL SITO NTC 2018 MASW8

**Data: maggio 2020**

**Località** Novara (NO)

**Coordinate** LAT 45.458125 LONG 8.634288 (WGS84 gradi decimali)

**Metodo di indagine** MASW

**Strumentazione utilizzata** Sismografo Echo 24-2010 a 24 Canali, 24 bits

**Metodo di energizzazione** Mazza da 8 kg

**Geometria stendimento:** 24 geofoni - interasse 2.5 m

### RISPOSTA SISMICA LOCALE

±

(si vedano le tabelle sottostanti per ricavare i valori del Coeff. Cc e del coeff di amplificazione S)

#### Categorie di sottosuolo di fondazione:

		Ss	Cc	S=Ss*Sr
A	Ammassi rocciosi affioranti o terreni molto rigidi caratterizzati da valori di velocità delle onde di taglio superiori a 800 m/s, eventualmente comprendenti in superficie terreni di caratteristiche meccaniche più scadenti con spessore massimo pari a 3 m.			
B	Rocce tenere e depositi di terreni a grana grossa molto addensati o terreni a grana fine molto consistenti, caratterizzati da un miglioramento delle proprietà meccaniche con la profondità e da valori di velocità equivalente compresi tra 360 m/s e 800 m/s			
C	Depositi di terreni a grana grossa mediamente addensati o terreni a grana fine mediamente consistenti con profondità del substrato superiori a 30 m, caratterizzati da un miglioramento delle proprietà meccaniche con la profondità e da valori di velocità equivalente compresi tra 180 m/s e 360 m/s.	1.50	1.60	1.50
D	Depositi di terreni a grana grossa scarsamente addensati o di terreni a grana fine scarsamente consistenti, con profondità del substrato superiori a 30 m, caratterizzati da un miglioramento delle proprietà meccaniche con la profondità e da valori di velocità equivalente compresi tra 100 e 180 m/s.			
E	Terreni con caratteristiche e valori di velocità equivalente riconducibili a quelle definite per le categorie C o D, con profondità del substrato non superiore a 30 m.			

I parametri a/g, F<sub>0</sub> e T\* vengono forniti dalla normativa

#### Categorie topografiche

St

T1	Superficie pianeggiante, pendii e rilievi isolati con inclinazione media $i \leq 15^\circ$	1	
T2	Pendii con inclinazione media $i > 15^\circ$	1.2	valore alla sommità del pendio
T3	Rilievi con larghezza in cresta molto minore che alla base e inclinazione media $15^\circ \leq i \leq 30^\circ$	1.2	valore della cresta del rilievo
T4	Rilievi con larghezza in cresta molto minore che alla base e inclinazione media $i > 30^\circ$	1.4	valore della cresta del rilievo

Le sovraesposte categorie topografiche si riferiscono a configurazioni geometriche prevalentemente bidimensionali, creste o dorsali allungate, e devono essere considerate nella definizione dell'azione sismica se di altezza maggiore di 30 m.

**SPETTRO DI RISPOSTA ELASTICO @ 5% SMORZAMENTO – COMP. ORIZZONTALE (NTC 2018)**

Possibilità di superamento del 10% in 50 anni

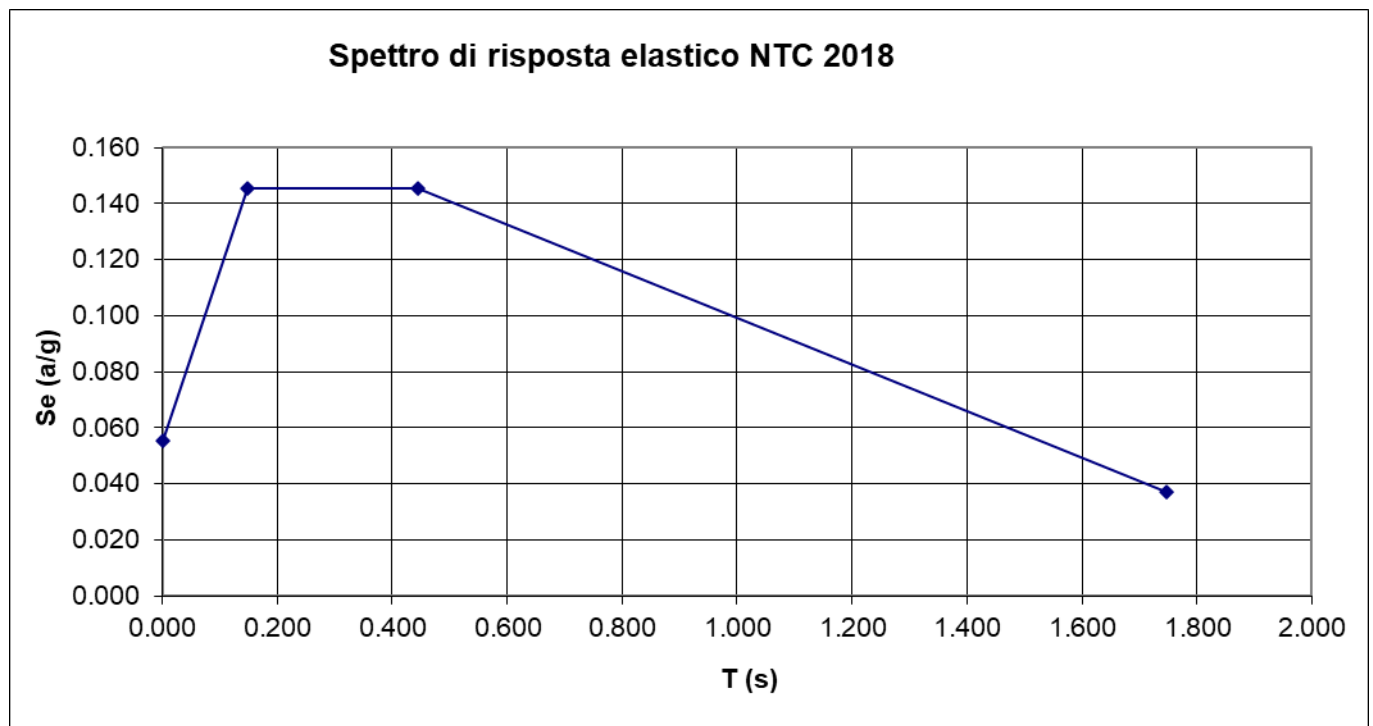
$$T_0 = a_g \cdot S$$

$$T_b = T_c / 3$$

$$T_c = C_c \cdot T_c$$

$$T_d = 4.0 \cdot a_g / g + 1.6$$

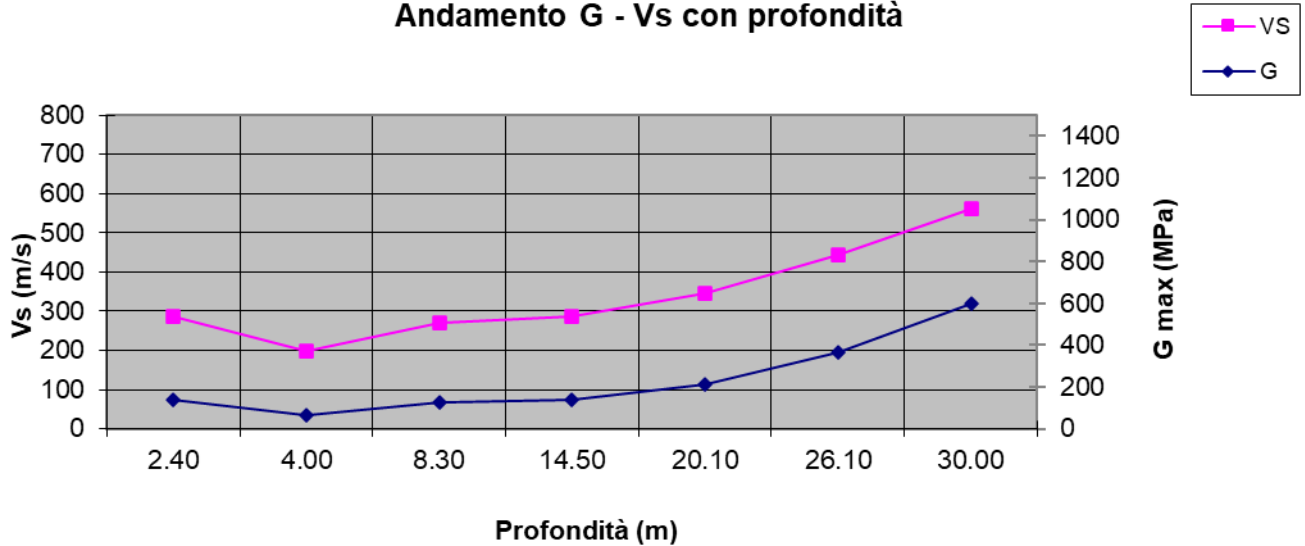
Ascisse (s)	Ordinate (g)
0.000	0.056
0.148	0.145
0.445	0.145
1.748	0.037



Depth (m)	Density (t/mc)	S-velocity (m/s)	Gmax (Mpa)
2.40	1.74	286	142
4.00	1.61	198	63
8.30	1.70	270	124
14.50	1.72	287	142
20.10	1.76	346	210
26.10	1.88	442	368
30.00	1.91	560	599

$$V_{s,eq} = 330.67 \text{ m/s}$$

Andamento G - Vs con profondità





## 5. INDAGINE SISMICA CON METODO HVSR

Come detto sopra, sono state condotte anche delle indagini geofisiche a tecnica passiva (HVSR); sono state infatti eseguite delle registrazioni al fine di evidenziare le caratteristiche di risposta sismica in termini di frequenza caratteristica del sito in base ai valori d'impedenza sismica rilevata.

I risultati che si possono ottenere da una registrazione di questo tipo rivelano principalmente la frequenza caratteristica di risonanza del sito. Essa rappresenta un parametro fondamentale per il corretto dimensionamento degli edifici in termini di risposta sismica locale in quanto si dovranno adottare adeguate precauzioni nel realizzare edifici aventi la stessa frequenza di vibrazione del terreno, al fine di evitare effetti di "doppia risonanza", estremamente pericolosi per la stabilità degli stessi.

Le basi teoriche della tecnica HVSR si rifanno in parte alla sismica tradizionale (riflessione, rifrazione, diffrazione) e in parte alla teoria dei microtremori. La forma di un'onda registrata in un sito  $x$  da uno strumento dipende:

- 1) dalla forma dell'onda prodotta dalla sorgente  $s$ ;
- 2) dal percorso dell'onda dalla sorgente  $s$  al sito  $x$  (attenuazioni, riflessioni, rifrazioni, incanalamenti per guide d'onda);
- 3) dalla risposta dello strumento;
- 4) possiamo esprimere questo concetto come:

segnale registrazione al sito  $x$  = sorgente \* effetti di percorso \* funzione trasferimento strumento

Il rumore sismico ambientale, presente ovunque sulla superficie terrestre, è generato dai fenomeni atmosferici (onde oceaniche, vento) e dall'attività antropica oltre che, ovviamente, dall'attività dinamica terrestre. Si chiama anche microtremore poiché riguarda oscillazioni molto piccole, molto più piccole di quelle indotte dai terremoti. I metodi che si basano sulla sua acquisizione si dicono passivi in quanto il rumore non è generato ad hoc, come ad esempio le esplosioni della sismica attiva.

Nel tragitto dalla sorgente  $s$  al sito per le onde elastiche (sia di terremoto che microtremore) subiscono riflessioni, rifrazioni, intrappolamenti per fenomeni di guida d'onda, attenuazioni che dipendono dalla natura del sottosuolo attraversato. Questo significa che se da un lato l'informazione relativa alla sorgente viene persa e non sono più applicabili le tecniche della sismica classica, è presente comunque una parte debolmente correlata nel segnale che può

essere estratta e che contiene le informazioni relative al percorso del segnale ed in particolare relative alla struttura locale vicino al sensore. Dunque, anche il debole rumore sismico, che tradizionalmente costituisce la parte di segnale scartate dalla sismologia classica, contiene informazioni. Questa informazione è però "sepolta" all'interno del rumore casuale e può essere estratta attraverso tecniche opportune.

Una di queste tecniche è la teoria dei rapporti spettrali o, semplicemente, HVSR che è in grado di fornire stime affidabili delle frequenze principali dei sottosuoli; informazione di notevole importanza nell'ingegneria sismica.

Per l'acquisizione dei dati è stato utilizzato un Tromografo digitale "TROMINO", prodotto da Micromed S.p.a., dotato di n. 3 sensori elettrodinamici (velocimetri) orientati N-S, E-W e verticalmente.

L'accorgimento adottato è stato quello di verificare che i geofoni fossero posizionati in bolla e che la loro componente longitudinale fosse rivolta verso Nord. Il tempo di acquisizione è stato di 20 minuti e le finestre temporali prese in considerazione per l'acquisizione sono di 20 s ciascuna.

La relazione che si applica per il calcolo della profondità delle superfici con i maggiori contrasti di impedenza è la seguente:

$$T_s = 2\pi / \omega = 4H / V_s \quad (1)$$

dove:

- $T_s$  = periodo della vibrazione (s)
- $\omega$  = frequenza misurata (rad)
- $H$  = profondità del sismostrato (m)
- $V_s$  = velocità delle onde di taglio (m/s)

Interpretando i minimi della componente verticale come risonanza del modo fondamentale dell'onda di Rayleigh e i picchi delle componenti orizzontali come contributo delle onde SH, si è potuto ricavare il valore di frequenza caratteristica di ogni sito.

#### STRUMENTAZIONI UTILIZZATE

N°	Strumentazione per prove HVSR
1	Sismografo-Tromografo digitale "TROMINO", prodotto da Micromed S.p.a.
1	2 Batterie 1.5 V
1	Bussola per corretto orientamento della stazione sismica

### CONDIZIONI DI CONGRUITA'

La prima condizione, prima di procedere all'estrazione di qualsiasi informazione e interpretazione, riguarda la verifica di "congruità" della curva H/V; in pratica bisogna verificare l'attendibilità della curva ottenuta secondo i seguenti criteri:

- 1)  $f_0$  (freq. di picco)  $> 10 / l_w$  (lunghezza finestra temporale); questa condizione è proposta in maniera tale che, alla frequenza di interesse, in ogni finestra ci siano almeno 10 cicli significativi (tab. 1). Se i dati lo permettono è possibile verificare se la condizione  $f_0$  (freq. di picco)  $> 20 / l_w$ , il che renderebbe il picco eventuale ancora più significativo, ma questo non è d'obbligo.
- 2) C'è bisogno di un grande numero di cicli e di finestre: quando si usa la selezione automatica delle finestre temporali con i parametri di default, il n. totale di cicli significativi:  $nc = l_w \cdot n_w \cdot f_0$  deve essere  $> 200$  (che significa che ad esempio per un picco di 1 Hz, ci siano almeno 20 finestre da 10 secondi ciascuna, o per un picco da 0.5 Hz ci siano 10 finestre da 40 s).
- 3) È necessario che ci sia un valore di scattering basso tra tutte le finestre: deviazioni standard elevate spesso sono dovute a rumore ambientale non stazionario che può perturbare il segnale e tradursi in un risultato non significativo relativamente alla determinazione del picco di frequenza H/V. Comunque si raccomanda che  $\sigma_A(f)$  sia minore di un fattore 2 (per  $f_0 > 0.5$  Hz), o un fattore 3 (per  $f_0 < 0.5$  Hz), in un range di frequenze di almeno  $[0.5f_0, 2f_0]$ .

Tabella 1. Durata delle registrazioni raccomandata.

$f_0$ [Hz]	Minimum value for $l_w$ [s]	Minimum number of significant cycles (nc)	Minimum number of windows	Minimum useful signal duration [s]	Recommended minimum record duration [min]
0.2	50	200	10	1000	30'
0.5	20	200	10	400	20'
1	10	200	10	200	10'
2	5	200	10	100	5'
5	5	200	10	40	3'
10	5	200	10	20	2'

Nel nostro caso specifico è sempre stata utilizzata una durata di 20' (1200 s) e un valore delle finestre temporali di 20 s. Di seguito si riportano le curve H/V ottenute.

## 6. RISULTATI INDAGINE SISMICA PASSIVA (HVSr)

### HVSrI

Strumento: TRZ-0017/01-09 Inizio registrazione: 26/05/20 14:48:01 Fine registrazione: 26/05/20 15:08:02

Nomi canali: NORTH SOUTH; EAST WEST ; UP DOWN Dato GPS non disponibile

Durata registrazione: 0h20'00".

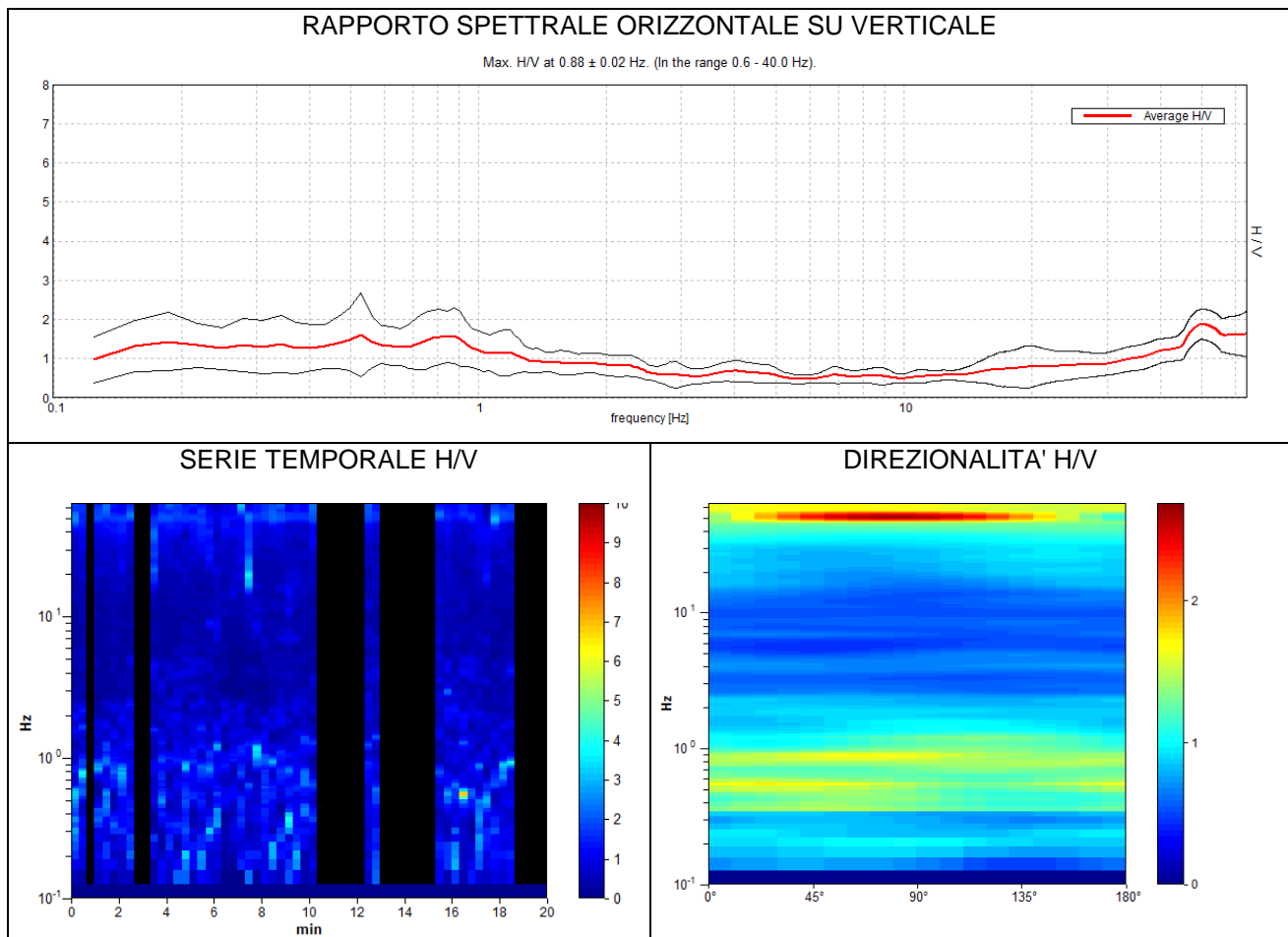
Analizzato 67% tracciato (selezione manuale)

Freq. campionamento: 128 Hz

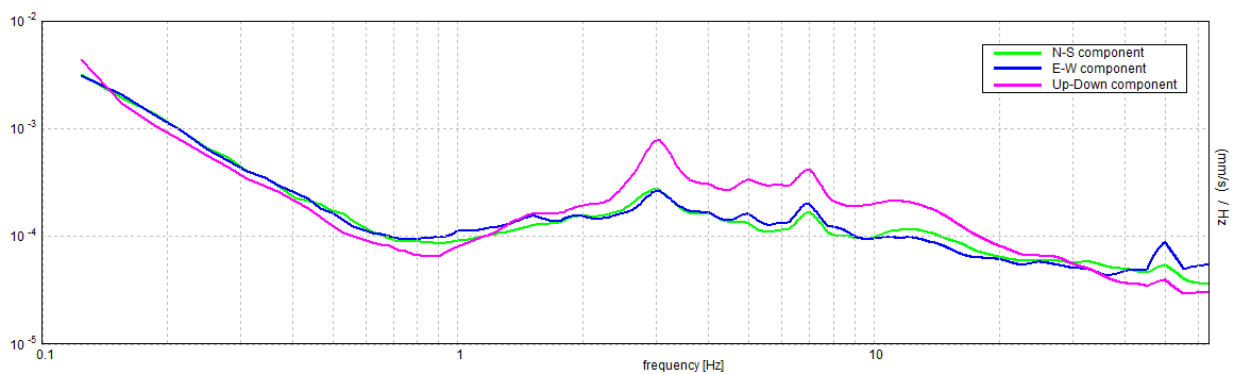
Lunghezza finestre: 20 s

Tipo di lisciamento: Triangular window

Lisciamento: 10%



SPETTRI DELLE SINGOLE COMPONENTI





[Secondo le linee guida SESAME, 2005. **Si raccomanda di leggere attentamente il manuale di *Grilla* prima di interpretare la tabella seguente.**]

**Picco H/V a  $0.88 \pm 0.02$  Hz (nell'intervallo 0.0 - 64.0 Hz).**

### Criteri per una curva H/V affidabile

[Tutti 3 dovrebbero risultare soddisfatti]

$f_0 > 10 / L_w$	$0.88 > 0.50$	<b>OK</b>	
$n_c(f_0) > 200$	$700.0 > 200$	<b>OK</b>	
$\sigma_A(f) < 2$ per $0.5f_0 < f < 2f_0$ se $f_0 > 0.5\text{Hz}$ $\sigma_A(f) < 3$ per $0.5f_0 < f < 2f_0$ se $f_0 < 0.5\text{Hz}$	Superato 0 volte su 43	<b>OK</b>	

### Criteri per un picco H/V chiaro

[Almeno 5 su 6 dovrebbero essere soddisfatti]

Esiste $f^-$ in $[f_0/4, f_0]$   $A_{H/V}(f^-) < A_0 / 2$			
Esiste $f^+$ in $[f_0, 4f_0]$   $A_{H/V}(f^+) < A_0 / 2$	2.344 Hz	<b>OK</b>	
$A_0 > 2$	$1.57 > 2$		
$f_{\text{picco}}[A_{H/V}(f) \pm \sigma_A(f)] = f_0 \pm 5\%$	$ 0.01366  < 0.05$	<b>OK</b>	
$\sigma_f < \varepsilon(f_0)$	$0.01195 < 0.13125$	<b>OK</b>	
$\sigma_A(f_0) < \theta(f_0)$	$0.3457 < 2.0$	<b>OK</b>	

$L_w$	lunghezza della finestra
$n_w$	numero di finestre usate nell'analisi
$n_c = L_w n_w f_0$	numero di cicli significativi
$f$	frequenza attuale
$f_0$	frequenza del picco H/V
$\sigma_f$	deviazione standard della frequenza del picco H/V
$\varepsilon(f_0)$	valore di soglia per la condizione di stabilità $\sigma_f < \varepsilon(f_0)$
$A_0$	ampiezza della curva H/V alla frequenza $f_0$
$A_{H/V}(f)$	ampiezza della curva H/V alla frequenza $f$
$f^-$	frequenza tra $f_0/4$ e $f_0$ alla quale $A_{H/V}(f^-) < A_0/2$
$f^+$	frequenza tra $f_0$ e $4f_0$ alla quale $A_{H/V}(f^+) < A_0/2$
$\sigma_A(f)$	deviazione standard di $A_{H/V}(f)$ , $\sigma_A(f)$ è il fattore per il quale la curva $A_{H/V}(f)$ media deve essere moltiplicata o divisa
$\sigma_{\log H/V}(f)$	deviazione standard della funzione $\log A_{H/V}(f)$
$\theta(f_0)$	valore di soglia per la condizione di stabilità $\sigma_A(f) < \theta(f_0)$

### Valori di soglia per $\sigma_f$ e $\sigma_A(f_0)$

Intervallo di freq. [Hz]	< 0.2	0.2 – 0.5	0.5 – 1.0	1.0 – 2.0	> 2.0
$\varepsilon(f_0)$ [Hz]	$0.25 f_0$	$0.2 f_0$	$0.15 f_0$	$0.10 f_0$	$0.05 f_0$
$\theta(f_0)$ per $\sigma_A(f_0)$	3.0	2.5	2.0	1.78	1.58
$\log \theta(f_0)$ per $\sigma_{\log H/V}(f_0)$	0.48	0.40	0.30	0.25	0.20

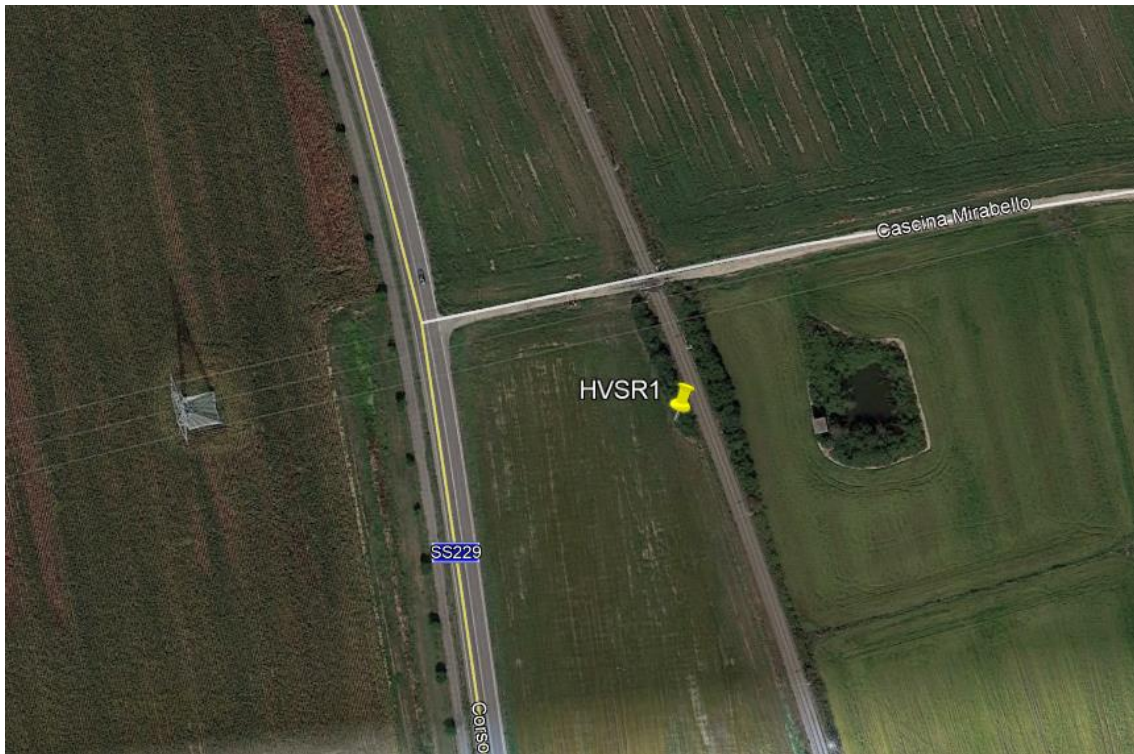


Figura 43: Ortofoto relativa all'ubicazione della prova HVSR1.



Figura 44: Foto relativa all'esecuzione della prova HVSR1.

## HVSR2

Strumento: TRZ-0017/01-09 Inizio registrazione: 26/05/20 15:26:03 Fine registrazione: 26/05/20 15:46:04

Nomi canali: NORTH SOUTH; EAST WEST ; UP DOWN Dato GPS non disponibile

Durata registrazione: 0h20'00".

Analizzato 83% tracciato (selezione manuale)

Freq. campionamento: 128 Hz

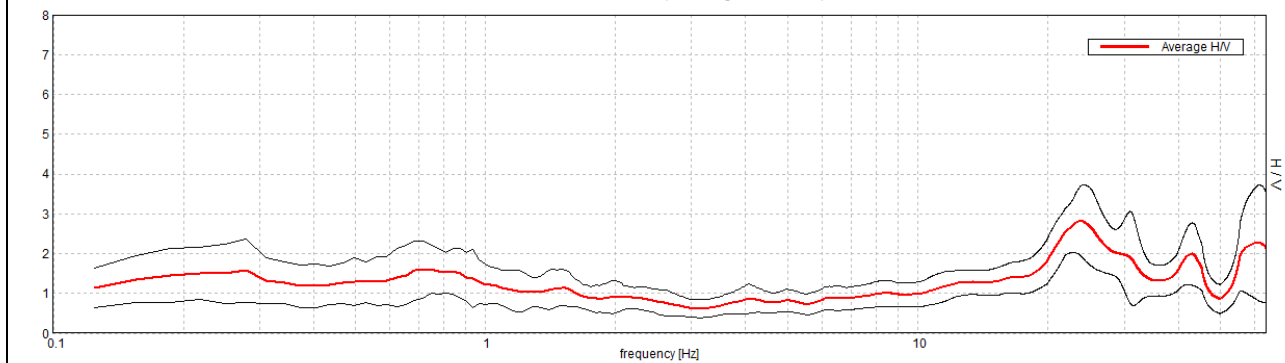
Lunghezza finestre: 20 s

Tipo di lisciamento: Triangular window

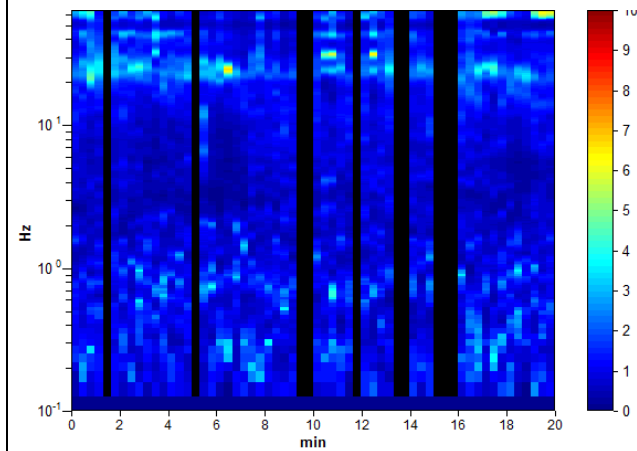
Lisciamento: 10%

### RAPPORTO SPETTRALE ORIZZONTALE SU VERTICALE

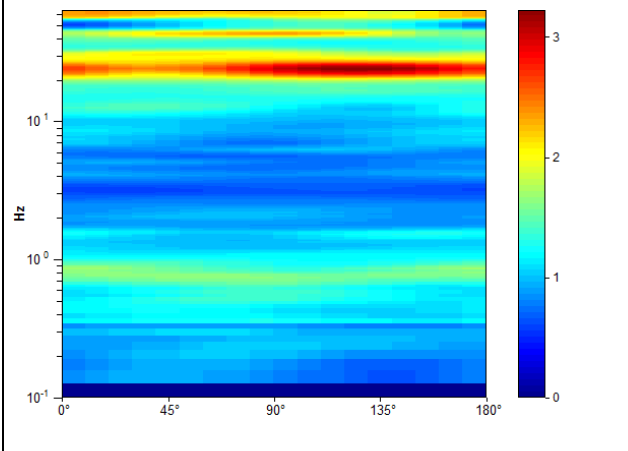
Max. H/V at 0.75 ± 0.07 Hz. (In the range 0.0 - 15.0 Hz).



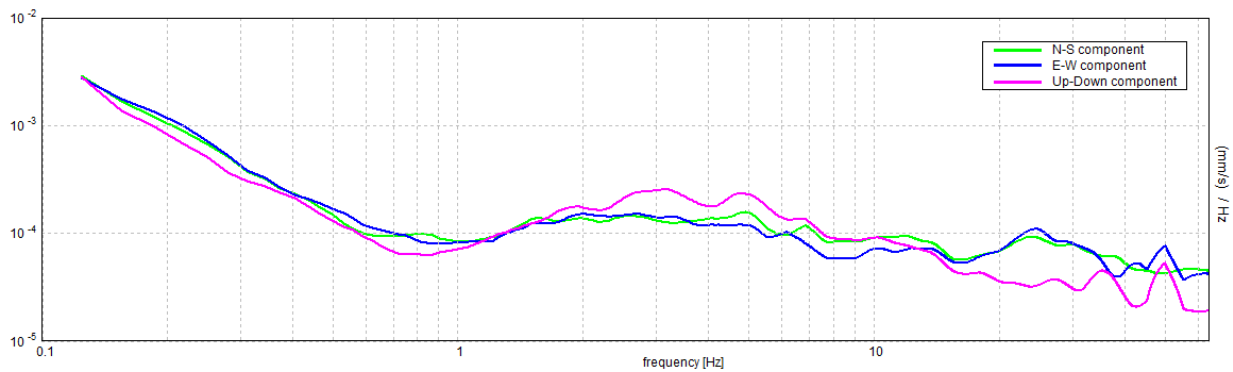
### SERIE TEMPORALE H/V



### DIREZIONALITA' H/V



### SPETTRI DELLE SINGOLE COMPONENTI





[Secondo le linee guida SESAME, 2005. **Si raccomanda di leggere attentamente il manuale di *Grilla* prima di interpretare la tabella seguente.**]

**Picco H/V a  $0.75 \pm 0.07$  Hz (nell'intervallo 0.0 - 64.0 Hz).**

**Altro picco H/V a  $23.75 \pm 0.15$  Hz (nell'intervallo 0.0 - 64.0 Hz).**

### Criteria per una curva H/V affidabile

[Tutti 3 dovrebbero risultare soddisfatti]

$f_0 > 10 / L_w$	$0.75 > 0.50$	<b>OK</b>	
$n_c(f_0) > 200$	$750.0 > 200$	<b>OK</b>	
$\sigma_A(f) < 2$ per $0.5f_0 < f < 2f_0$ se $f_0 > 0.5\text{Hz}$ $\sigma_A(f) < 3$ per $0.5f_0 < f < 2f_0$ se $f_0 < 0.5\text{Hz}$	Superato 0 volte su 37	<b>OK</b>	

### Criteria per un picco H/V chiaro

[Almeno 5 su 6 dovrebbero essere soddisfatti]

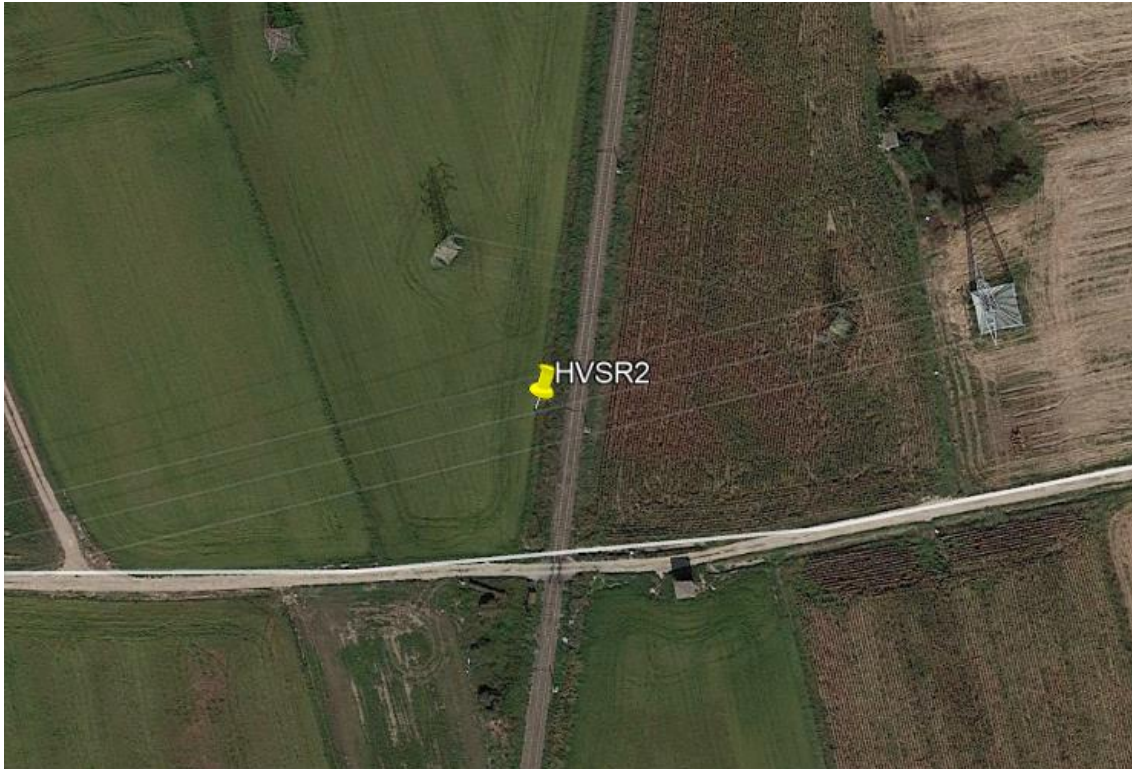
Esiste $f^-$ in $[f_0/4, f_0]$   $A_{H/V}(f^-) < A_0 / 2$			
Esiste $f^+$ in $[f_0, 4f_0]$   $A_{H/V}(f^+) < A_0 / 2$	2.5 Hz	<b>OK</b>	
$A_0 > 2$	$1.61 > 2$		
$f_{\text{picco}}[A_{H/V}(f) \pm \sigma_A(f)] = f_0 \pm 5\%$	$ 0.04635  < 0.05$	<b>OK</b>	
$\sigma_f < \varepsilon(f_0)$	$0.03476 < 0.1125$	<b>OK</b>	
$\sigma_A(f_0) < \theta(f_0)$	$0.2976 < 2.0$	<b>OK</b>	

$L_w$	lunghezza della finestra
$n_w$	numero di finestre usate nell'analisi
$n_c = L_w n_w f_0$	numero di cicli significativi
$f$	frequenza attuale
$f_0$	frequenza del picco H/V
$\sigma_f$	deviazione standard della frequenza del picco H/V
$\varepsilon(f_0)$	valore di soglia per la condizione di stabilità $\sigma_f < \varepsilon(f_0)$
$A_0$	ampiezza della curva H/V alla frequenza $f_0$
$A_{H/V}(f)$	ampiezza della curva H/V alla frequenza $f$
$f^-$	frequenza tra $f_0/4$ e $f_0$ alla quale $A_{H/V}(f^-) < A_0/2$
$f^+$	frequenza tra $f_0$ e $4f_0$ alla quale $A_{H/V}(f^+) < A_0/2$
$\sigma_A(f)$	deviazione standard di $A_{H/V}(f)$ , $\sigma_A(f)$ è il fattore per il quale la curva $A_{H/V}(f)$ media deve essere moltiplicata o divisa
$\sigma_{\log H/V}(f)$	deviazione standard della funzione $\log A_{H/V}(f)$
$\theta(f_0)$	valore di soglia per la condizione di stabilità $\sigma_A(f) < \theta(f_0)$

### Valori di soglia per $\sigma_f$ e $\sigma_A(f_0)$

Intervallo di freq. [Hz]	< 0.2	0.2 - 0.5	0.5 - 1.0	1.0 - 2.0	> 2.0
$\varepsilon(f_0)$ [Hz]	$0.25 f_0$	$0.2 f_0$	$0.15 f_0$	$0.10 f_0$	$0.05 f_0$
$\theta(f_0)$ per $\sigma_A(f_0)$	3.0	2.5	2.0	1.78	1.58
$\log \theta(f_0)$ per $\sigma_{\log H/V}(f_0)$	0.48	0.40	0.30	0.25	0.20





**Figura 45:** Ortofoto relativa all'ubicazione della prova HVS2.



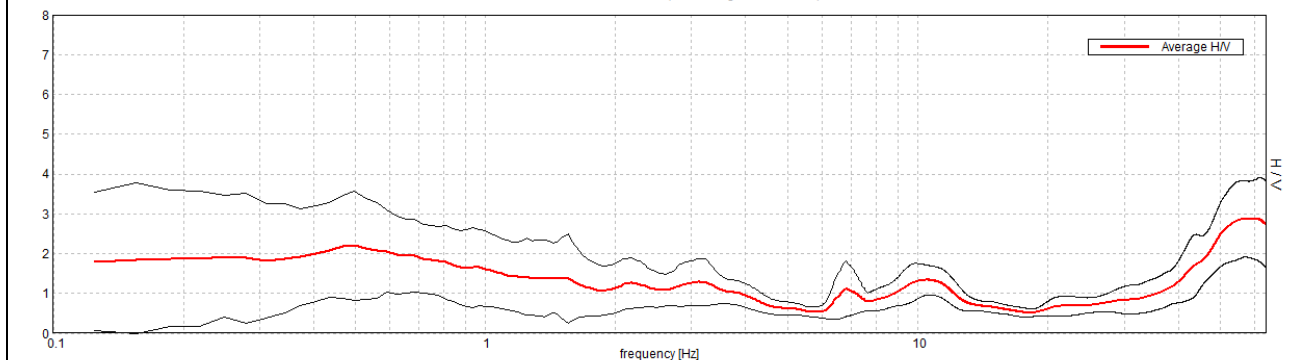
**Figura 46:** Foto relativa all'esecuzione della prova HVS2.

**HVSR3**

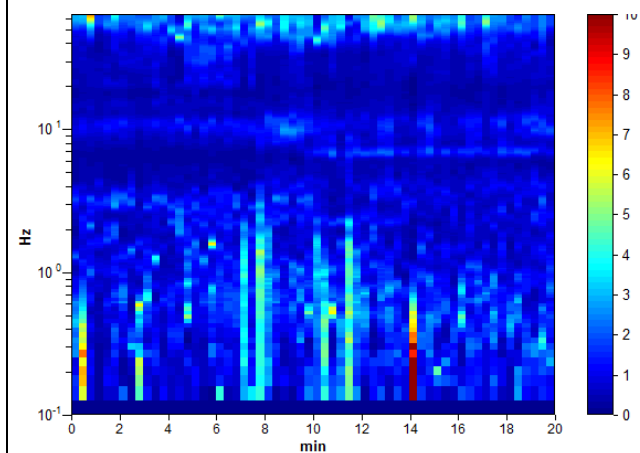
Strumento: TRZ-0017/01-09    Inizio registrazione: 26/05/20 15:55:38    Fine registrazione: 26/05/20 16:15:39  
 Nomi canali:    NORTH SOUTH; EAST WEST ; UP DOWN    Dato GPS non disponibile  
 Durata registrazione: 0h20'00".    Analisi effettuata sull'intera traccia  
 Freq. campionamento: 128 Hz    Lunghezza finestre: 20 s  
 Tipo di lisciamento: Triangular window    Lisciamento: 10%

**RAPPORTO SPETTRALE ORIZZONTALE SU VERTICALE**

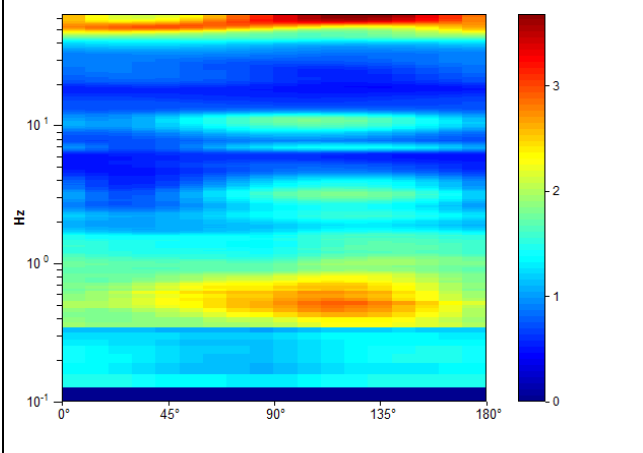
Max. H/V at 3.13 ± 0.06 Hz. (In the range 2.0 - 8.0 Hz)



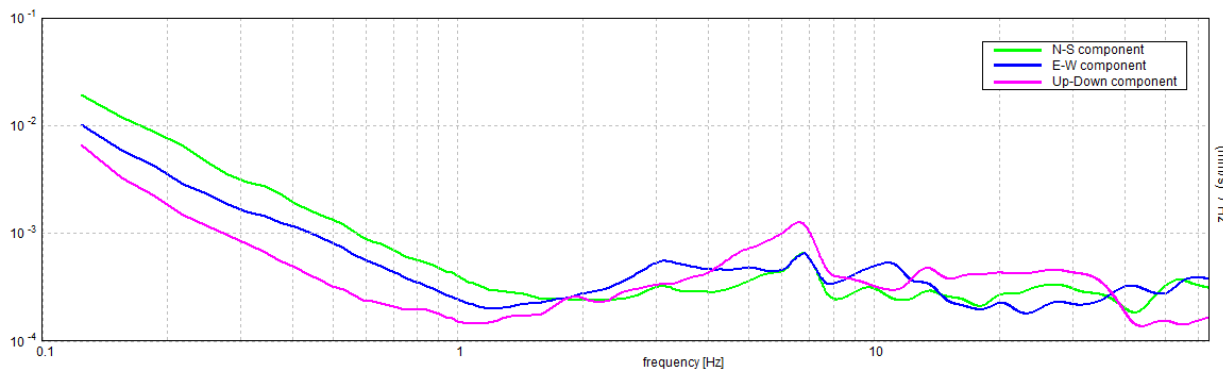
**SERIE TEMPORALE H/V**



**DIREZIONALITA' H/V**



**SPETTRI DELLE SINGOLE COMPONENTI**



[Secondo le linee guida SESAME, 2005. **Si raccomanda di leggere attentamente il manuale di *Grilla* prima di interpretare la tabella seguente.**]

**Picco H/V a  $3.13 \pm 0.06$  Hz (nell'intervallo 0.0 - 64.0 Hz).**  
**Altro picco H/V a  $10.50 \pm 0.15$  Hz (nell'intervallo 0.0 - 64.0 Hz).**

**Criteria per una curva H/V affidabile**

[Tutti 3 dovrebbero risultare soddisfatti]

$f_0 > 10 / L_w$	$3.13 > 0.50$	<b>OK</b>	
$n_c(f_0) > 200$	$3750.0 > 200$	<b>OK</b>	
$\sigma_A(f) < 2$ per $0.5f_0 < f < 2f_0$ se $f_0 > 0.5\text{Hz}$ $\sigma_A(f) < 3$ per $0.5f_0 < f < 2f_0$ se $f_0 < 0.5\text{Hz}$	Superato 0 volte su 151	<b>OK</b>	

**Criteria per un picco H/V chiaro**

[Almeno 5 su 6 dovrebbero essere soddisfatti]

<b>Esiste <math>f^-</math> in <math>[f_0/4, f_0]</math>   <math>A_{H/V}(f^-) &lt; A_0 / 2</math></b>			
<b>Esiste <math>f^+</math> in <math>[f_0, 4f_0]</math>   <math>A_{H/V}(f^+) &lt; A_0 / 2</math></b>	4.719 Hz	<b>OK</b>	
$A_0 > 2$	$1.29 > 2$		
$f_{\text{picco}}[A_{H/V}(f) \pm \sigma_A(f)] = f_0 \pm 5\%$	$ 0.00912  < 0.05$	<b>OK</b>	
$\sigma_f < \varepsilon(f_0)$	$0.02849 < 0.15625$	<b>OK</b>	
$\sigma_A(f_0) < \theta(f_0)$	$0.2934 < 1.58$	<b>OK</b>	

$L_w$	lunghezza della finestra
$n_w$	numero di finestre usate nell'analisi
$n_c = L_w n_w f_0$	numero di cicli significativi
$f$	frequenza attuale
$f_0$	frequenza del picco H/V
$\sigma_f$	deviazione standard della frequenza del picco H/V
$\varepsilon(f_0)$	valore di soglia per la condizione di stabilità $\sigma_f < \varepsilon(f_0)$
$A_0$	ampiezza della curva H/V alla frequenza $f_0$
$A_{H/V}(f)$	ampiezza della curva H/V alla frequenza $f$
$f^-$	frequenza tra $f_0/4$ e $f_0$ alla quale $A_{H/V}(f^-) < A_0/2$
$f^+$	frequenza tra $f_0$ e $4f_0$ alla quale $A_{H/V}(f^+) < A_0/2$
$\sigma_A(f)$	deviazione standard di $A_{H/V}(f)$ , $\sigma_A(f)$ è il fattore per il quale la curva $A_{H/V}(f)$ media deve essere moltiplicata o divisa
$\sigma_{\log H/V}(f)$	deviazione standard della funzione $\log A_{H/V}(f)$
$\theta(f_0)$	valore di soglia per la condizione di stabilità $\sigma_A(f) < \theta(f_0)$

 Valori di soglia per  $\sigma_f$  e  $\sigma_A(f_0)$ 

Intervallo di freq. [Hz]	< 0.2	0.2 – 0.5	0.5 – 1.0	1.0 – 2.0	> 2.0
$\varepsilon(f_0)$ [Hz]	$0.25 f_0$	$0.2 f_0$	$0.15 f_0$	$0.10 f_0$	$0.05 f_0$
$\theta(f_0)$ per $\sigma_A(f_0)$	3.0	2.5	2.0	1.78	1.58
$\log \theta(f_0)$ per $\sigma_{\log H/V}(f_0)$	0.48	0.40	0.30	0.25	0.20





Figura 47: Ortofoto relativa all'ubicazione della prova HVSR3.



Figura 48: Foto relativa all'esecuzione della prova HVSR3.



### HVSR4

Strumento: TRZ-0017/01-09 Inizio registrazione: 26/05/20 16:36:56 Fine registrazione: 26/05/20 16:56:57

Nomi canali: NORTH SOUTH; EAST WEST ; UP DOWN Dato GPS non disponibile

Durata registrazione: 0h20'00".

Analizzato 92% tracciato (selezione manuale)

Freq. campionamento: 128 Hz

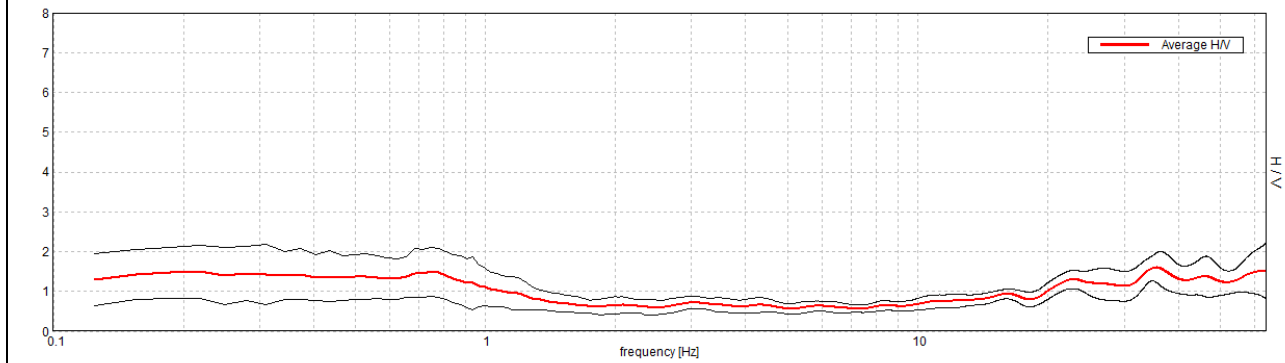
Lunghezza finestre: 20 s

Tipo di lisciamento: Triangular window

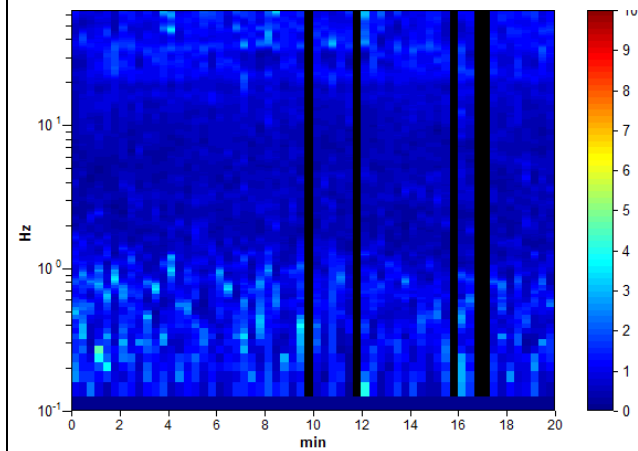
Lisciamento: 10%

### RAPPORTO SPETTRALE ORIZZONTALE SU VERTICALE

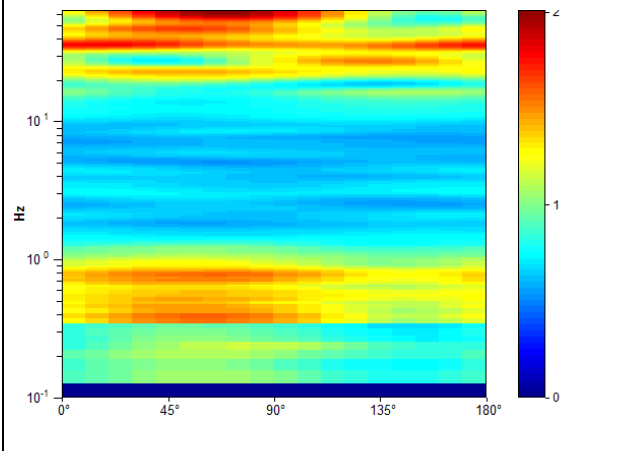
Max. H/V at 0.75 ± 0.07 Hz. (In the range 0.0 - 25.0 Hz).



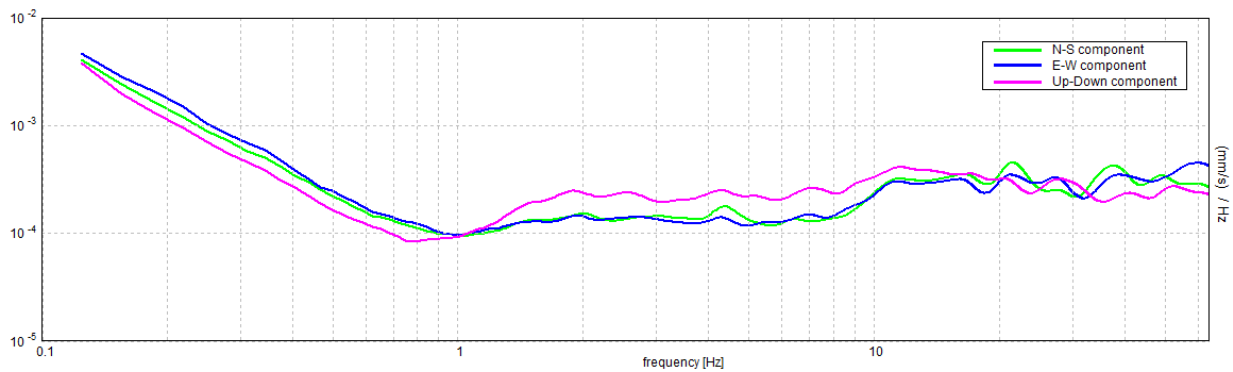
### SERIE TEMPORALE H/V



### DIREZIONALITA' H/V



### SPETTRI DELLE SINGOLE COMPONENTI



[Secondo le linee guida SESAME, 2005. **Si raccomanda di leggere attentamente il manuale di *Grilla* prima di interpretare la tabella seguente.**]

**Picco H/V a  $0.75 \pm 0.07$  Hz (nell'intervallo 0.0 - 64.0 Hz).**

**Criteri per una curva H/V affidabile**

[Tutti 3 dovrebbero risultare soddisfatti]

$f_0 > 10 / L_w$	$0.75 > 0.50$	<b>OK</b>	
$n_c(f_0) > 200$	$825.0 > 200$	<b>OK</b>	
$\sigma_A(f) < 2$ per $0.5f_0 < f < 2f_0$ se $f_0 > 0.5\text{Hz}$ $\sigma_A(f) < 3$ per $0.5f_0 < f < 2f_0$ se $f_0 < 0.5\text{Hz}$	Superato 0 volte su 37	<b>OK</b>	

**Criteri per un picco H/V chiaro**

[Almeno 5 su 6 dovrebbero essere soddisfatti]

Esiste $f^-$ in $[f_0/4, f_0]$   $A_{H/V}(f^-) < A_0 / 2$			
Esiste $f^+$ in $[f_0, 4f_0]$   $A_{H/V}(f^+) < A_0 / 2$	1.406 Hz	<b>OK</b>	
$A_0 > 2$	$1.49 > 2$		
$f_{\text{picco}}[A_{H/V}(f) \pm \sigma_A(f)] = f_0 \pm 5\%$	$ 0.04564  < 0.05$	<b>OK</b>	
$\sigma_f < \varepsilon(f_0)$	$0.03423 < 0.1125$	<b>OK</b>	
$\sigma_A(f_0) < \theta(f_0)$	$0.3006 < 2.0$	<b>OK</b>	

$L_w$	lunghezza della finestra
$n_w$	numero di finestre usate nell'analisi
$n_c = L_w n_w f_0$	numero di cicli significativi
$f$	frequenza attuale
$f_0$	frequenza del picco H/V
$\sigma_f$	deviazione standard della frequenza del picco H/V
$\varepsilon(f_0)$	valore di soglia per la condizione di stabilità $\sigma_f < \varepsilon(f_0)$
$A_0$	ampiezza della curva H/V alla frequenza $f_0$
$A_{H/V}(f)$	ampiezza della curva H/V alla frequenza $f$
$f^-$	frequenza tra $f_0/4$ e $f_0$ alla quale $A_{H/V}(f^-) < A_0/2$
$f^+$	frequenza tra $f_0$ e $4f_0$ alla quale $A_{H/V}(f^+) < A_0/2$
$\sigma_A(f)$	deviazione standard di $A_{H/V}(f)$ , $\sigma_A(f)$ è il fattore per il quale la curva $A_{H/V}(f)$ media deve essere moltiplicata o divisa
$\sigma_{\log H/V}(f)$	deviazione standard della funzione $\log A_{H/V}(f)$
$\theta(f_0)$	valore di soglia per la condizione di stabilità $\sigma_A(f) < \theta(f_0)$

**Valori di soglia per  $\sigma_f$  e  $\sigma_A(f_0)$**

Intervallo di freq. [Hz]	< 0.2	0.2 – 0.5	0.5 – 1.0	1.0 – 2.0	> 2.0
$\varepsilon(f_0)$ [Hz]	$0.25 f_0$	$0.2 f_0$	$0.15 f_0$	$0.10 f_0$	$0.05 f_0$
$\theta(f_0)$ per $\sigma_A(f_0)$	3.0	2.5	2.0	1.78	1.58
$\log \theta(f_0)$ per $\sigma_{\log H/V}(f_0)$	0.48	0.40	0.30	0.25	0.20



Figura 49: Ortofoto relativa all'ubicazione della prova HVSR4.



Figura 50: Foto relativa all'esecuzione della prova HVSR4.

## HVSR5

Strumento: TRZ-0017/01-09 Inizio registrazione: 26/05/20 17:12:31 Fine registrazione: 26/05/20 17:32:32

Nomi canali: NORTH SOUTH; EAST WEST ; UP DOWN Dato GPS non disponibile

Durata registrazione: 0h20'00".

Analisi effettuata sull'intera traccia

Freq. campionamento: 128 Hz

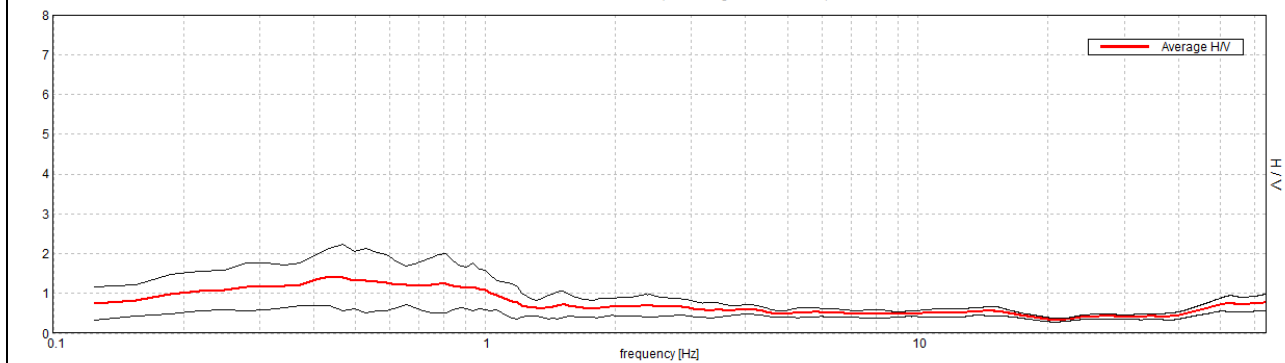
Lunghezza finestre: 20 s

Tipo di lisciamento: Triangular window

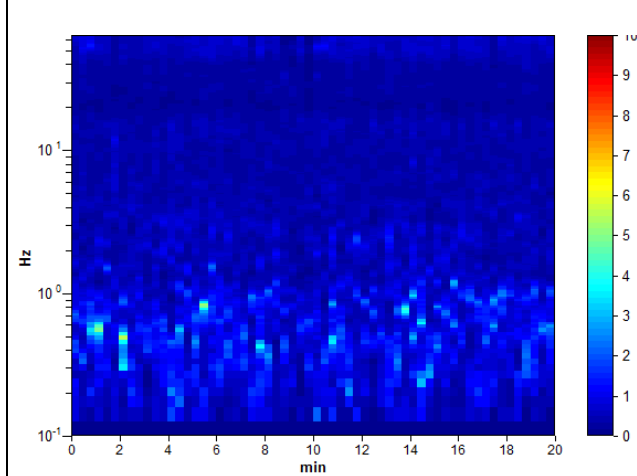
Lisciamento: 10%

### RAPPORTO SPETTRALE ORIZZONTALE SU VERTICALE

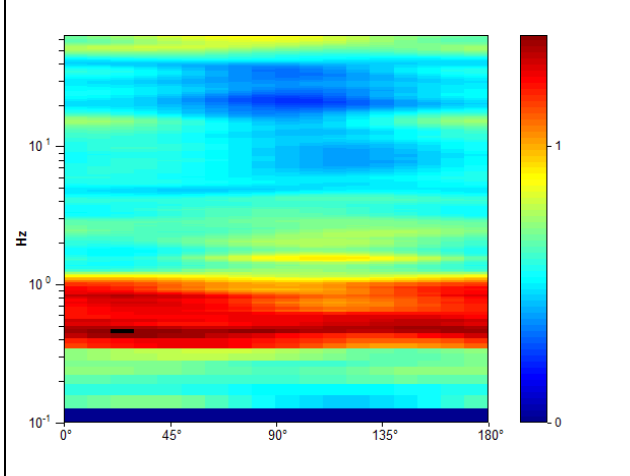
Max. H/V at 0.81 ± 0.03 Hz. (In the range 0.65 - 64.0 Hz).



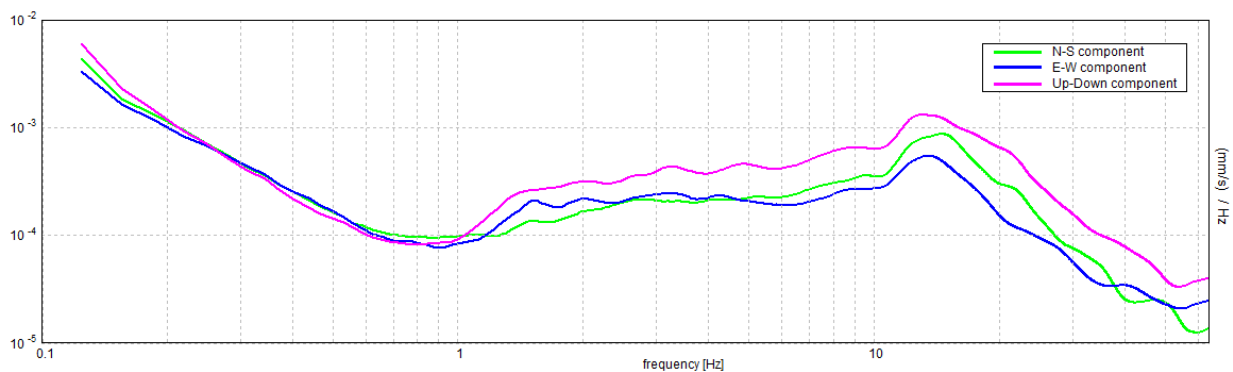
### SERIE TEMPORALE H/V



### DIREZIONALITA' H/V



### SPETTRI DELLE SINGOLE COMPONENTI





[Secondo le linee guida SESAME, 2005. **Si raccomanda di leggere attentamente il manuale di *Grilla* prima di interpretare la tabella seguente.**]

**Picco H/V a  $0.81 \pm 0.03$  Hz (nell'intervallo 0.0 - 64.0 Hz).**

### Criteri per una curva H/V affidabile

[Tutti 3 dovrebbero risultare soddisfatti]

$f_0 > 10 / L_w$	$0.81 > 0.50$	<b>OK</b>	
$n_c(f_0) > 200$	$975.0 > 200$	<b>OK</b>	
$\sigma_A(f) < 2$ per $0.5f_0 < f < 2f_0$ se $f_0 > 0.5\text{Hz}$ $\sigma_A(f) < 3$ per $0.5f_0 < f < 2f_0$ se $f_0 < 0.5\text{Hz}$	Superato 0 volte su 40	<b>OK</b>	

### Criteri per un picco H/V chiaro

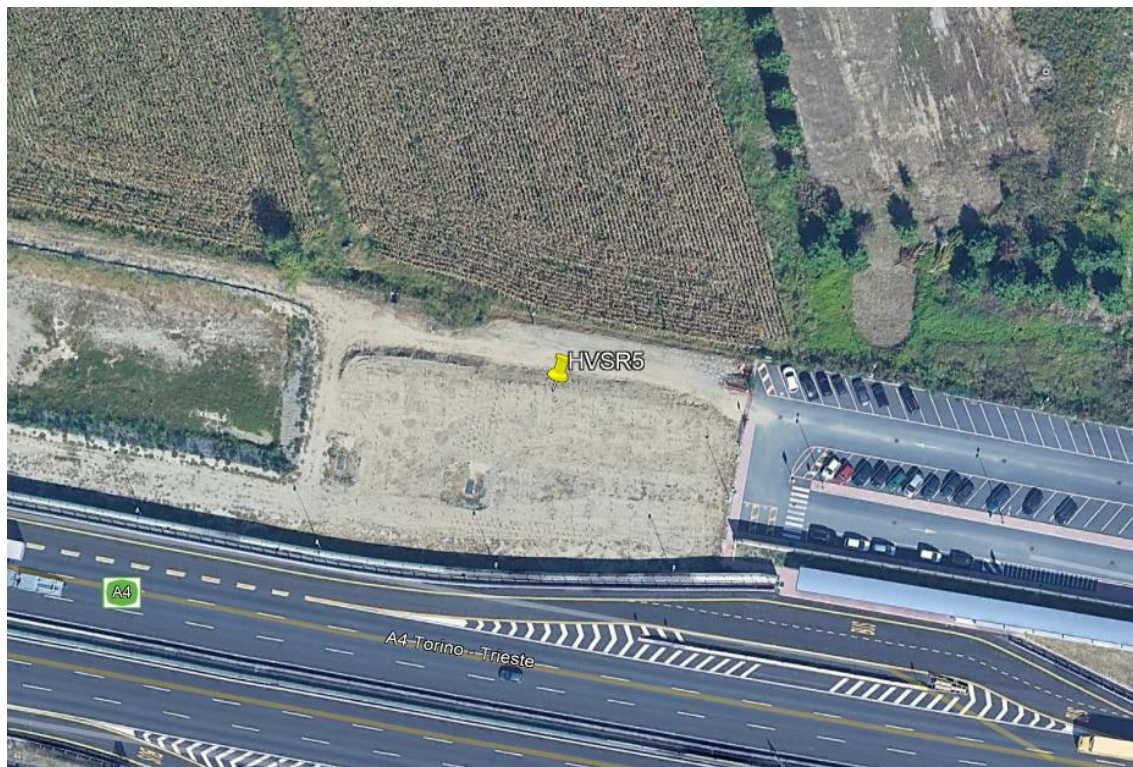
[Almeno 5 su 6 dovrebbero essere soddisfatti]

Esiste $f^-$ in $[f_0/4, f_0]$   $A_{H/V}(f^-) < A_0 / 2$			
Esiste $f^+$ in $[f_0, 4f_0]$   $A_{H/V}(f^+) < A_0 / 2$	1.719 Hz	<b>OK</b>	
$A_0 > 2$	$1.25 > 2$		
$f_{\text{picco}}[A_{H/V}(f) \pm \sigma_A(f)] = f_0 \pm 5\%$	$ 0.01592  < 0.05$	<b>OK</b>	
$\sigma_f < \varepsilon(f_0)$	$0.01294 < 0.12188$	<b>OK</b>	
$\sigma_A(f_0) < \theta(f_0)$	$0.3675 < 2.0$	<b>OK</b>	

$L_w$	lunghezza della finestra
$n_w$	numero di finestre usate nell'analisi
$n_c = L_w n_w f_0$	numero di cicli significativi
$f$	frequenza attuale
$f_0$	frequenza del picco H/V
$\sigma_f$	deviazione standard della frequenza del picco H/V
$\varepsilon(f_0)$	valore di soglia per la condizione di stabilità $\sigma_f < \varepsilon(f_0)$
$A_0$	ampiezza della curva H/V alla frequenza $f_0$
$A_{H/V}(f)$	ampiezza della curva H/V alla frequenza $f$
$f^-$	frequenza tra $f_0/4$ e $f_0$ alla quale $A_{H/V}(f^-) < A_0/2$
$f^+$	frequenza tra $f_0$ e $4f_0$ alla quale $A_{H/V}(f^+) < A_0/2$
$\sigma_A(f)$	deviazione standard di $A_{H/V}(f)$ , $\sigma_A(f)$ è il fattore per il quale la curva $A_{H/V}(f)$ media deve essere moltiplicata o divisa
$\sigma_{\log H/V}(f)$	deviazione standard della funzione $\log A_{H/V}(f)$
$\theta(f_0)$	valore di soglia per la condizione di stabilità $\sigma_A(f) < \theta(f_0)$

### Valori di soglia per $\sigma_f$ e $\sigma_A(f_0)$

Intervallo di freq. [Hz]	< 0.2	0.2 - 0.5	0.5 - 1.0	1.0 - 2.0	> 2.0
$\varepsilon(f_0)$ [Hz]	$0.25 f_0$	$0.2 f_0$	$0.15 f_0$	$0.10 f_0$	$0.05 f_0$
$\theta(f_0)$ per $\sigma_A(f_0)$	3.0	2.5	2.0	1.78	1.58
$\log \theta(f_0)$ per $\sigma_{\log H/V}(f_0)$	0.48	0.40	0.30	0.25	0.20



**Figura 51:** Ortofoto relativa all'ubicazione della prova HVSR5.



**Figura 52:** Foto relativa all'esecuzione della prova HVSR5.

### HVSR6

Strumento: TRZ-0017/01-09 Inizio registrazione: 26/05/20 17:53:50 Fine registrazione: 26/05/20 18:13:51

Nomi canali: NORTH SOUTH; EAST WEST ; UP DOWN Dato GPS non disponibile

Durata registrazione: 0h20'00".

Analisi effettuata sull'intera traccia

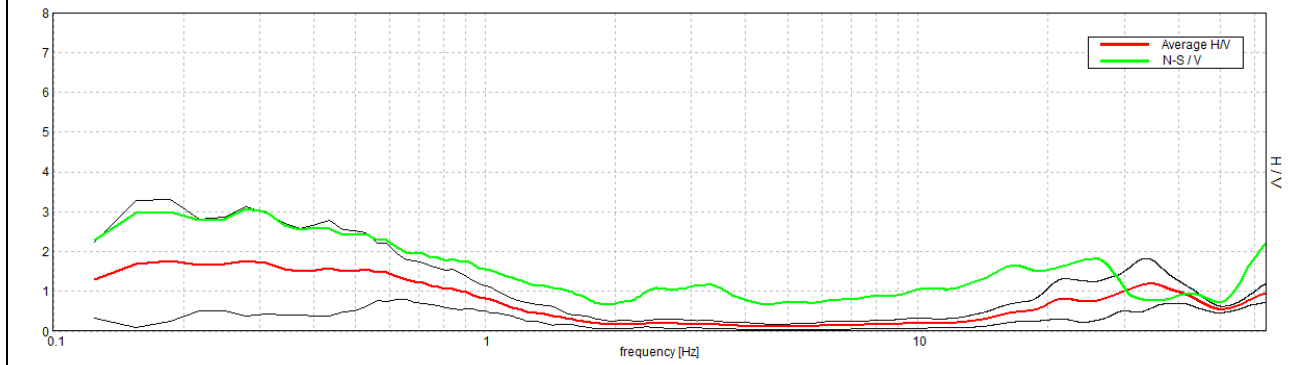
Freq. campionamento: 128 Hz

Lunghezza finestre: 20 s

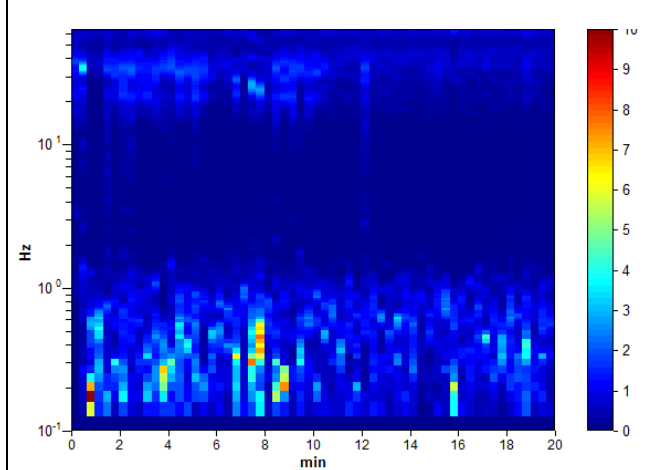
Tipo di lisciamento: Triangular window

Lisciamento: 10%

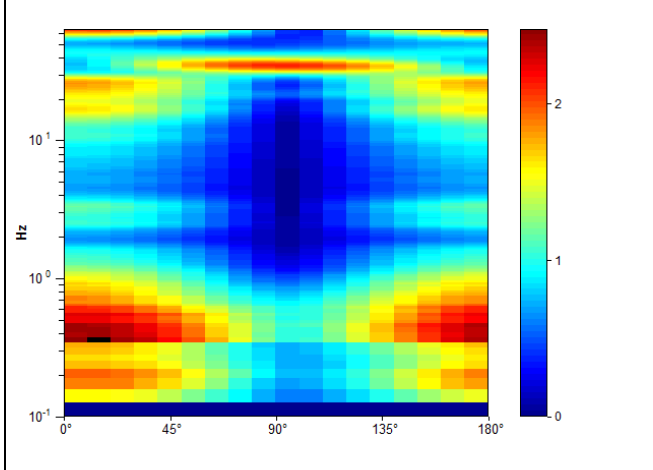
#### RAPPORTO SPETTRALE ORIZZONTALE SU VERTICALE



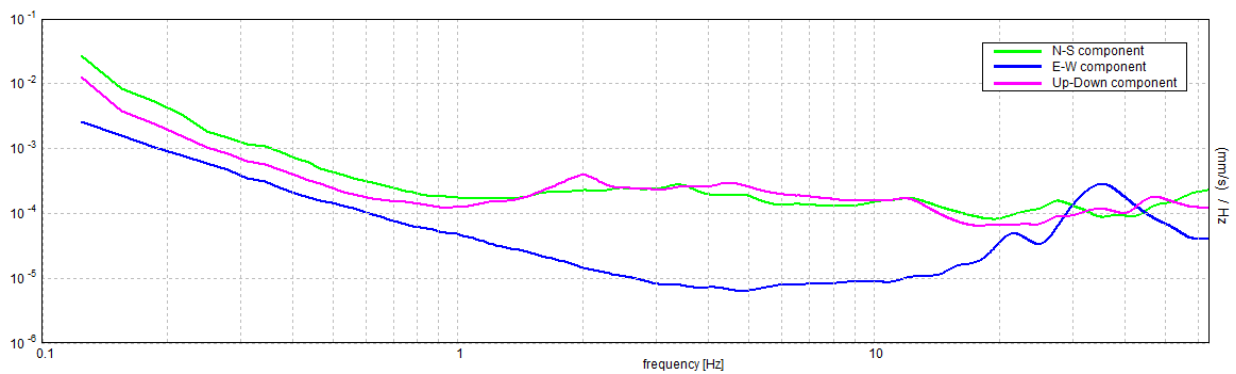
#### SERIE TEMPORALE H/V



#### DIREZIONALITA' H/V



#### SPETTRI DELLE SINGOLE COMPONENTI



[Secondo le linee guida SESAME, 2005. **Si raccomanda di leggere attentamente il manuale di *Grilla* prima di interpretare la tabella seguente.**]

**Picco H/V a  $34.66 \pm 0.25$  Hz (nell'intervallo 0.0 - 64.0 Hz).**

**Altro picco H/V a  $3.07 \pm 0.05$  Hz (nell'intervallo 0.0 - 64.0 Hz).**

### Criteri per una curva H/V affidabile

[Tutti 3 dovrebbero risultare soddisfatti]

$f_0 > 10 / L_w$	$34.66 > 0.50$	<b>OK</b>	
$n_c(f_0) > 200$	$41587.5 > 200$	<b>OK</b>	
$\sigma_A(f) < 2$ per $0.5f_0 < f < 2f_0$ se $f_0 > 0.5\text{Hz}$ $\sigma_A(f) < 3$ per $0.5f_0 < f < 2f_0$ se $f_0 < 0.5\text{Hz}$	Superato 0 volte su 1494	<b>OK</b>	

### Criteri per un picco H/V chiaro

[Almeno 5 su 6 dovrebbero essere soddisfatti]

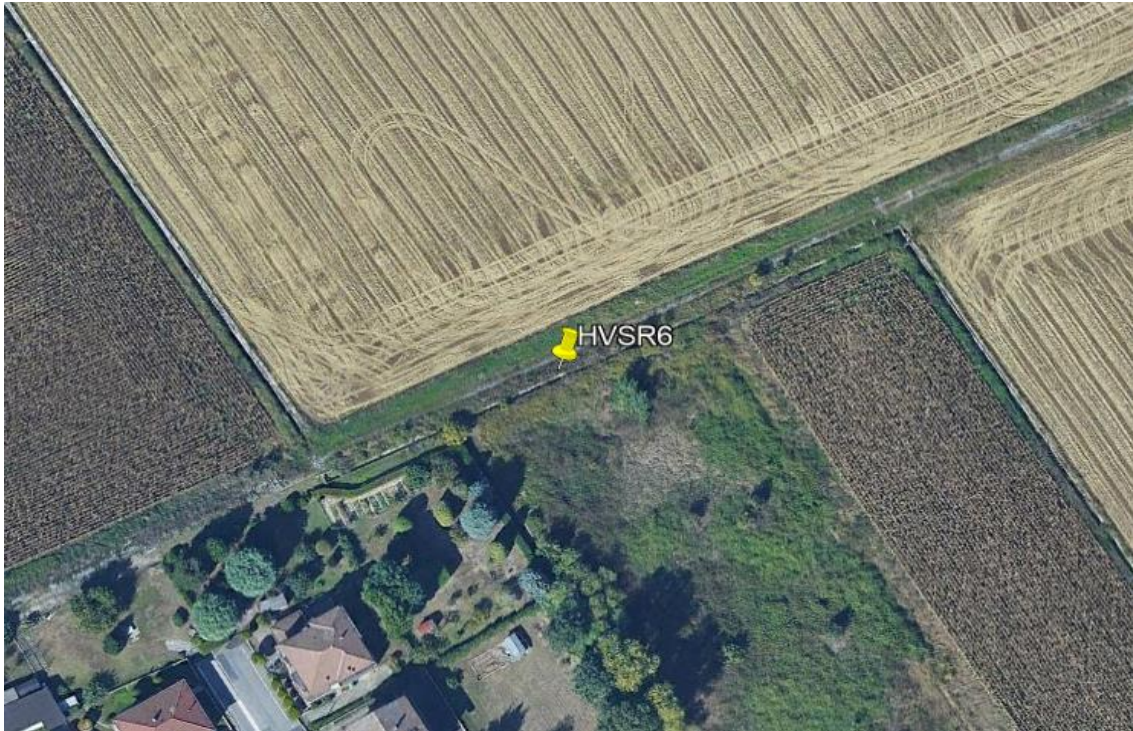
Esiste $f^-$ in $[f_0/4, f_0]$   $A_{H/V}(f^-) < A_0 / 2$	19.313 Hz	<b>OK</b>	
Esiste $f^+$ in $[f_0, 4f_0]$   $A_{H/V}(f^+) < A_0 / 2$	47.844 Hz	<b>OK</b>	
$A_0 > 2$	$1.19 > 2$		
$f_{\text{picco}}[A_{H/V}(f) \pm \sigma_A(f)] = f_0 \pm 5\%$	$ 0.00357  < 0.05$	<b>OK</b>	
$\sigma_f < \varepsilon(f_0)$	$0.12376 < 1.73281$	<b>OK</b>	
$\sigma_A(f_0) < \theta(f_0)$	$0.3033 < 1.58$	<b>OK</b>	

$L_w$	lunghezza della finestra
$n_w$	numero di finestre usate nell'analisi
$n_c = L_w n_w f_0$	numero di cicli significativi
$f$	frequenza attuale
$f_0$	frequenza del picco H/V
$\sigma_f$	deviazione standard della frequenza del picco H/V
$\varepsilon(f_0)$	valore di soglia per la condizione di stabilità $\sigma_f < \varepsilon(f_0)$
$A_0$	ampiezza della curva H/V alla frequenza $f_0$
$A_{H/V}(f)$	ampiezza della curva H/V alla frequenza $f$
$f^-$	frequenza tra $f_0/4$ e $f_0$ alla quale $A_{H/V}(f^-) < A_0/2$
$f^+$	frequenza tra $f_0$ e $4f_0$ alla quale $A_{H/V}(f^+) < A_0/2$
$\sigma_A(f)$	deviazione standard di $A_{H/V}(f)$ , $\sigma_A(f)$ è il fattore per il quale la curva $A_{H/V}(f)$ media deve essere moltiplicata o divisa
$\sigma_{\log H/V}(f)$	deviazione standard della funzione $\log A_{H/V}(f)$
$\theta(f_0)$	valore di soglia per la condizione di stabilità $\sigma_A(f) < \theta(f_0)$

### Valori di soglia per $\sigma_f$ e $\sigma_A(f_0)$

Intervallo di freq. [Hz]	< 0.2	0.2 - 0.5	0.5 - 1.0	1.0 - 2.0	> 2.0
$\varepsilon(f_0)$ [Hz]	$0.25 f_0$	$0.2 f_0$	$0.15 f_0$	$0.10 f_0$	$0.05 f_0$
$\theta(f_0)$ per $\sigma_A(f_0)$	3.0	2.5	2.0	1.78	1.58
$\log \theta(f_0)$ per $\sigma_{\log H/V}(f_0)$	0.48	0.40	0.30	0.25	0.20





**Figura 53:** Ortofoto relativa all'ubicazione della prova HVSR6.



**Figura 54:** Foto relativa all'esecuzione della prova HVSR6.

## HVSR7

Strumento: TRZ-0017/01-09 Inizio registrazione: 27/05/20 08:37:34 Fine registrazione: 27/05/20 08:57:35

Nomi canali: NORTH SOUTH; EAST WEST ; UP DOWN Dato GPS non disponibile

Durata registrazione: 0h20'00".

Analizzato 85% tracciato (selezione manuale)

Freq. campionamento: 128 Hz

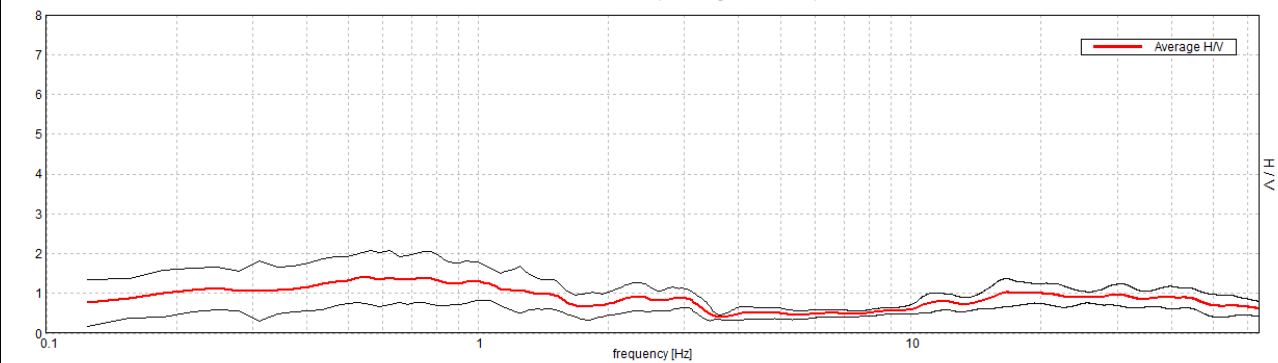
Lunghezza finestre: 20 s

Tipo di lisciamento: Triangular window

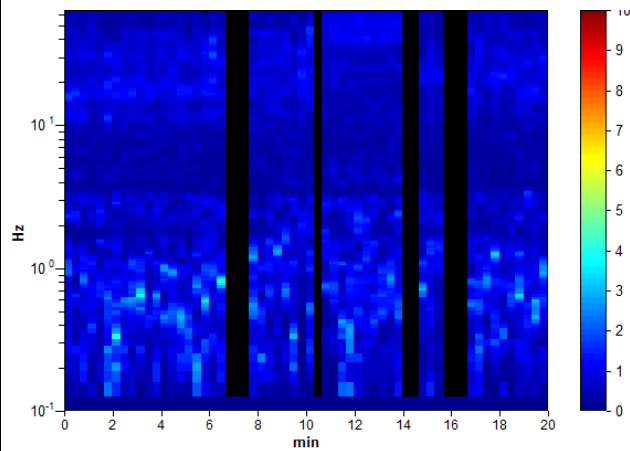
Lisciamento: 10%

### RAPPORTO SPETTRALE ORIZZONTALE SU VERTICALE

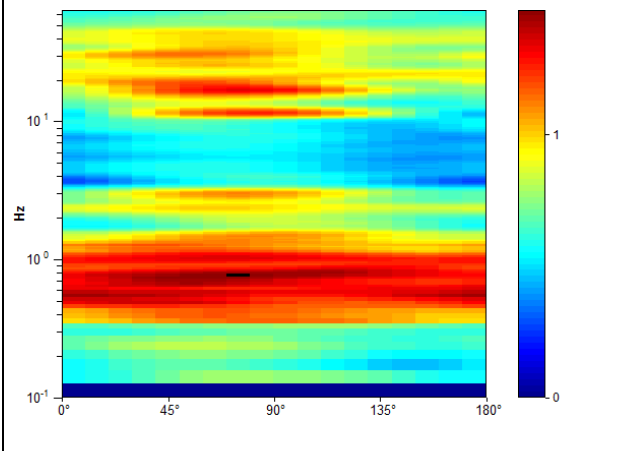
Max. H/V at 0.75 ± 1.06 Hz. (In the range 0.0 - 64.0 Hz).



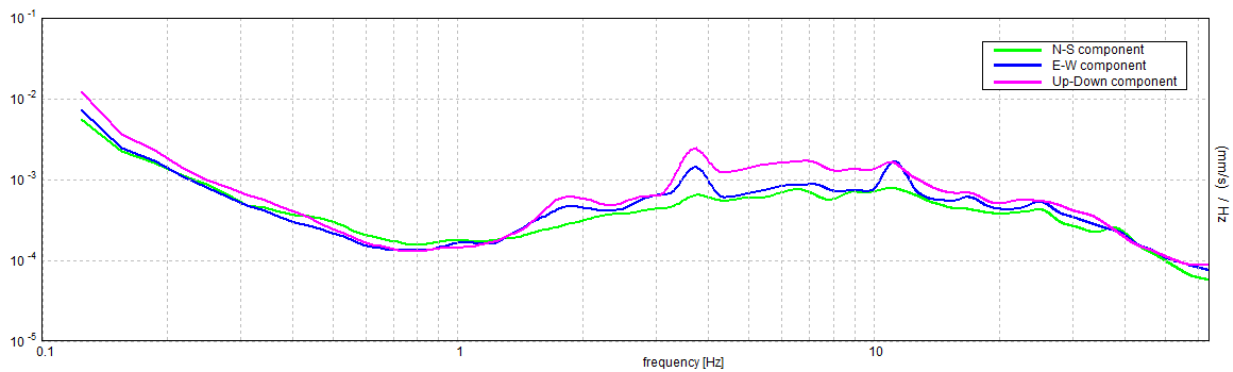
### SERIE TEMPORALE H/V



### DIREZIONALITA' H/V



### SPETTRI DELLE SINGOLE COMPONENTI





[Secondo le linee guida SESAME, 2005. **Si raccomanda di leggere attentamente il manuale di *Grilla* prima di interpretare la tabella seguente.**]

**Picco H/V a  $0.75 \pm 0.06$  Hz (nell'intervallo 0.0 - 64.0 Hz).**

### Criteria per una curva H/V affidabile

[Tutti 3 dovrebbero risultare soddisfatti]

$f_0 > 10 / L_w$	$0.75 > 0.50$	<b>OK</b>	
$n_c(f_0) > 200$	$765.0 > 200$	<b>OK</b>	
$\sigma_A(f) < 2$ per $0.5f_0 < f < 2f_0$ se $f_0 > 0.5\text{Hz}$ $\sigma_A(f) < 3$ per $0.5f_0 < f < 2f_0$ se $f_0 < 0.5\text{Hz}$	Superato 0 volte su 37	<b>OK</b>	

### Criteria per un picco H/V chiaro

[Almeno 5 su 6 dovrebbero essere soddisfatti]

Esiste $f^-$ in $[f_0/4, f_0]$   $A_{H/V}(f^-) < A_0 / 2$			
Esiste $f^+$ in $[f_0, 4f_0]$   $A_{H/V}(f^+) < A_0 / 2$	1.688 Hz	<b>OK</b>	
$A_0 > 2$	$1.41 > 2$		
$f_{\text{picco}}[A_{H/V}(f) \pm \sigma_A(f)] = f_0 \pm 5\%$	$ 0.69769  < 0.05$		
$\sigma_f < \varepsilon(f_0)$	$0.52327 < 0.1125$		
$\sigma_A(f_0) < \theta(f_0)$	$0.3136 < 2.0$	<b>OK</b>	

$L_w$	lunghezza della finestra
$n_w$	numero di finestre usate nell'analisi
$n_c = L_w n_w f_0$	numero di cicli significativi
$f$	frequenza attuale
$f_0$	frequenza del picco H/V
$\sigma_f$	deviazione standard della frequenza del picco H/V
$\varepsilon(f_0)$	valore di soglia per la condizione di stabilità $\sigma_f < \varepsilon(f_0)$
$A_0$	ampiezza della curva H/V alla frequenza $f_0$
$A_{H/V}(f)$	ampiezza della curva H/V alla frequenza $f$
$f^-$	frequenza tra $f_0/4$ e $f_0$ alla quale $A_{H/V}(f^-) < A_0/2$
$f^+$	frequenza tra $f_0$ e $4f_0$ alla quale $A_{H/V}(f^+) < A_0/2$
$\sigma_A(f)$	deviazione standard di $A_{H/V}(f)$ , $\sigma_A(f)$ è il fattore per il quale la curva $A_{H/V}(f)$ media deve essere moltiplicata o divisa
$\sigma_{\log H/V}(f)$	deviazione standard della funzione $\log A_{H/V}(f)$
$\theta(f_0)$	valore di soglia per la condizione di stabilità $\sigma_A(f) < \theta(f_0)$

### Valori di soglia per $\sigma_f$ e $\sigma_A(f_0)$

Intervallo di freq. [Hz]	< 0.2	0.2 – 0.5	0.5 – 1.0	1.0 – 2.0	> 2.0
$\varepsilon(f_0)$ [Hz]	$0.25 f_0$	$0.2 f_0$	$0.15 f_0$	$0.10 f_0$	$0.05 f_0$
$\theta(f_0)$ per $\sigma_A(f_0)$	3.0	2.5	2.0	1.78	1.58
$\log \theta(f_0)$ per $\sigma_{\log H/V}(f_0)$	0.48	0.40	0.30	0.25	0.20



Figura 55: Ortofoto relativa all'ubicazione della prova HVSR7.



Figura 56: Foto relativa all'esecuzione della prova HVSR7.

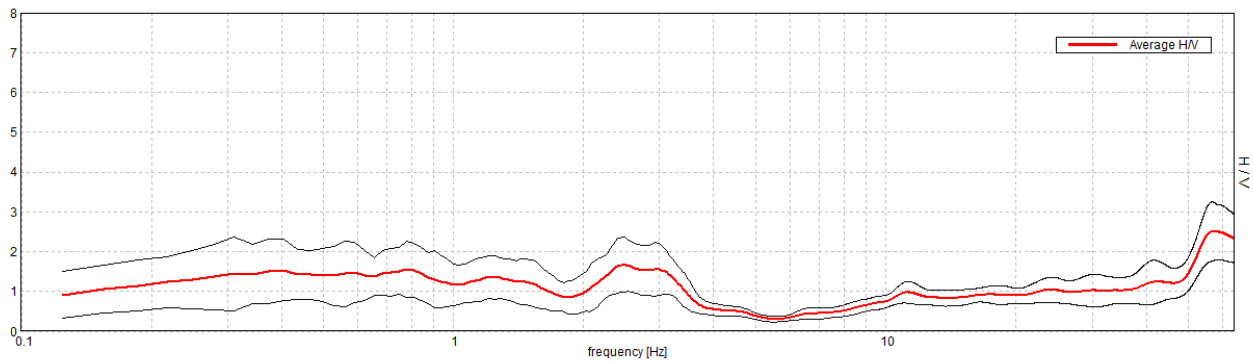


**HVSR8**

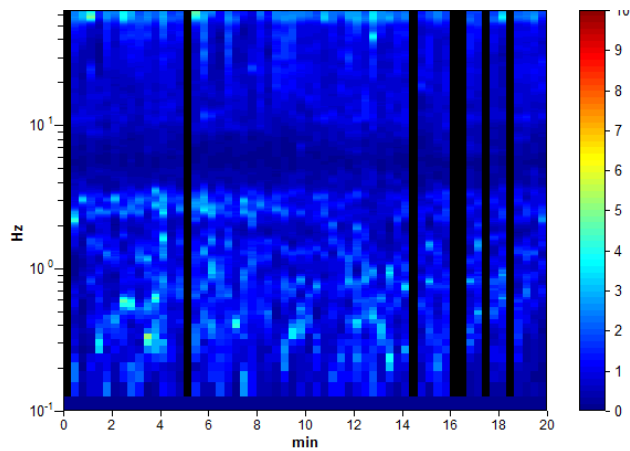
Strumento: TRZ-0017/01-09    Inizio registrazione: 27/05/20 09:29:04    Fine registrazione: 27/05/20 09:49:05  
 Nomi canali:    NORTH SOUTH; EAST WEST ; UP    DOWN    Dato GPS non disponibile  
 Durata registrazione: 0h20'00".    Analizzato 88% tracciato (selezione manuale)  
 Freq. campionamento: 128 Hz    Lunghezza finestre: 20 s  
 Tipo di lisciamento: Triangular window    Lisciamento: 10%

**RAPPORTO SPETTRALE ORIZZONTALE SU VERTICALE**

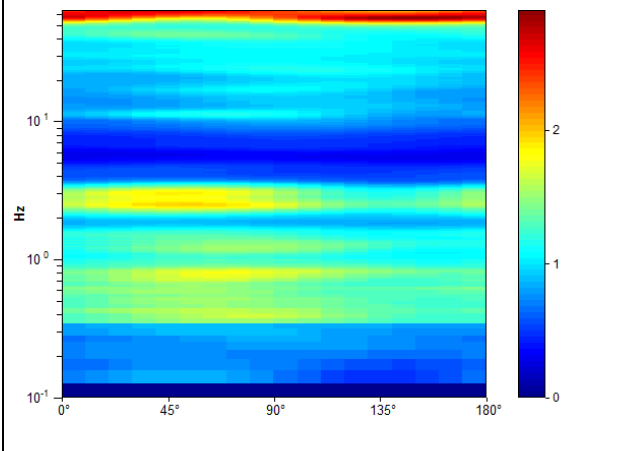
Max. H/V at 2.5 ± 0.04 Hz. (In the range 0.0 - 30.0 Hz).



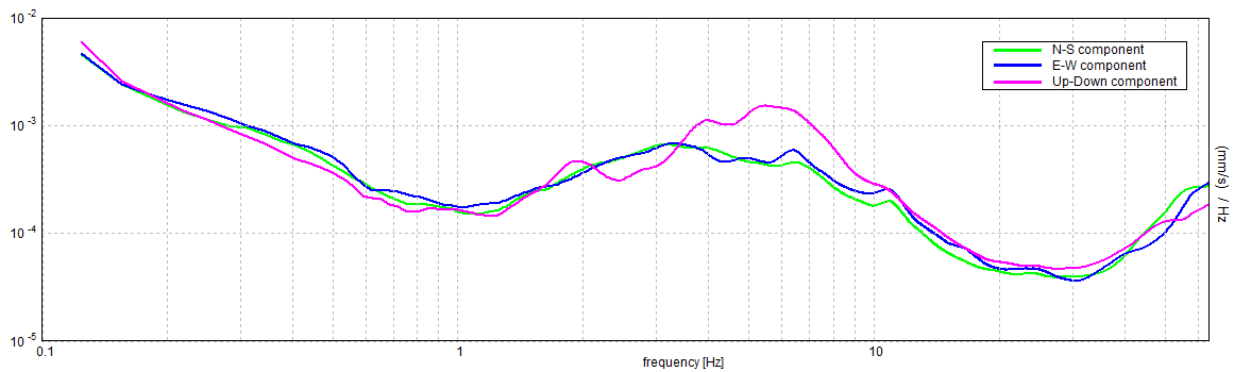
**SERIE TEMPORALE H/V**



**DIREZIONALITA' H/V**



**SPETTRI DELLE SINGOLE COMPONENTI**



[Secondo le linee guida SESAME, 2005. **Si raccomanda di leggere attentamente il manuale di *Grilla* prima di interpretare la tabella seguente.**]

**Picco H/V a  $2.5 \pm 0.04$  Hz (nell'intervallo 0.0 - 64.0 Hz).**

### Criteri per una curva H/V affidabile

[Tutti 3 dovrebbero risultare soddisfatti]

$f_0 > 10 / L_w$	$2.50 > 0.50$	<b>OK</b>	
$n_c(f_0) > 200$	$2650.0 > 200$	<b>OK</b>	
$\sigma_A(f) < 2$ per $0.5f_0 < f < 2f_0$ se $f_0 > 0.5\text{Hz}$ $\sigma_A(f) < 3$ per $0.5f_0 < f < 2f_0$ se $f_0 < 0.5\text{Hz}$	Superato 0 volte su 121	<b>OK</b>	

### Criteri per un picco H/V chiaro

[Almeno 5 su 6 dovrebbero essere soddisfatti]

Esiste $f^-$ in $[f_0/4, f_0]$   $A_{H/V}(f^-) < A_0 / 2$			
Esiste $f^+$ in $[f_0, 4f_0]$   $A_{H/V}(f^+) < A_0 / 2$	3.563 Hz	<b>OK</b>	
$A_0 > 2$	$1.68 > 2$		
$f_{\text{picco}}[A_{H/V}(f) \pm \sigma_A(f)] = f_0 \pm 5\%$	$ 0.00851  < 0.05$	<b>OK</b>	
$\sigma_f < \varepsilon(f_0)$	$0.02128 < 0.125$	<b>OK</b>	
$\sigma_A(f_0) < \theta(f_0)$	$0.3402 < 1.58$	<b>OK</b>	

$L_w$	lunghezza della finestra
$n_w$	numero di finestre usate nell'analisi
$n_c = L_w n_w f_0$	numero di cicli significativi
$f$	frequenza attuale
$f_0$	frequenza del picco H/V
$\sigma_f$	deviazione standard della frequenza del picco H/V
$\varepsilon(f_0)$	valore di soglia per la condizione di stabilità $\sigma_f < \varepsilon(f_0)$
$A_0$	ampiezza della curva H/V alla frequenza $f_0$
$A_{H/V}(f)$	ampiezza della curva H/V alla frequenza $f$
$f^-$	frequenza tra $f_0/4$ e $f_0$ alla quale $A_{H/V}(f^-) < A_0/2$
$f^+$	frequenza tra $f_0$ e $4f_0$ alla quale $A_{H/V}(f^+) < A_0/2$
$\sigma_A(f)$	deviazione standard di $A_{H/V}(f)$ , $\sigma_A(f)$ è il fattore per il quale la curva $A_{H/V}(f)$ media deve essere moltiplicata o divisa
$\sigma_{\log H/V}(f)$	deviazione standard della funzione $\log A_{H/V}(f)$
$\theta(f_0)$	valore di soglia per la condizione di stabilità $\sigma_A(f) < \theta(f_0)$

### Valori di soglia per $\sigma_f$ e $\sigma_A(f_0)$

Intervallo di freq. [Hz]	< 0.2	0.2 - 0.5	0.5 - 1.0	1.0 - 2.0	> 2.0
$\varepsilon(f_0)$ [Hz]	$0.25 f_0$	$0.2 f_0$	$0.15 f_0$	$0.10 f_0$	$0.05 f_0$
$\theta(f_0)$ per $\sigma_A(f_0)$	3.0	2.5	2.0	1.78	1.58
$\log \theta(f_0)$ per $\sigma_{\log H/V}(f_0)$	0.48	0.40	0.30	0.25	0.20



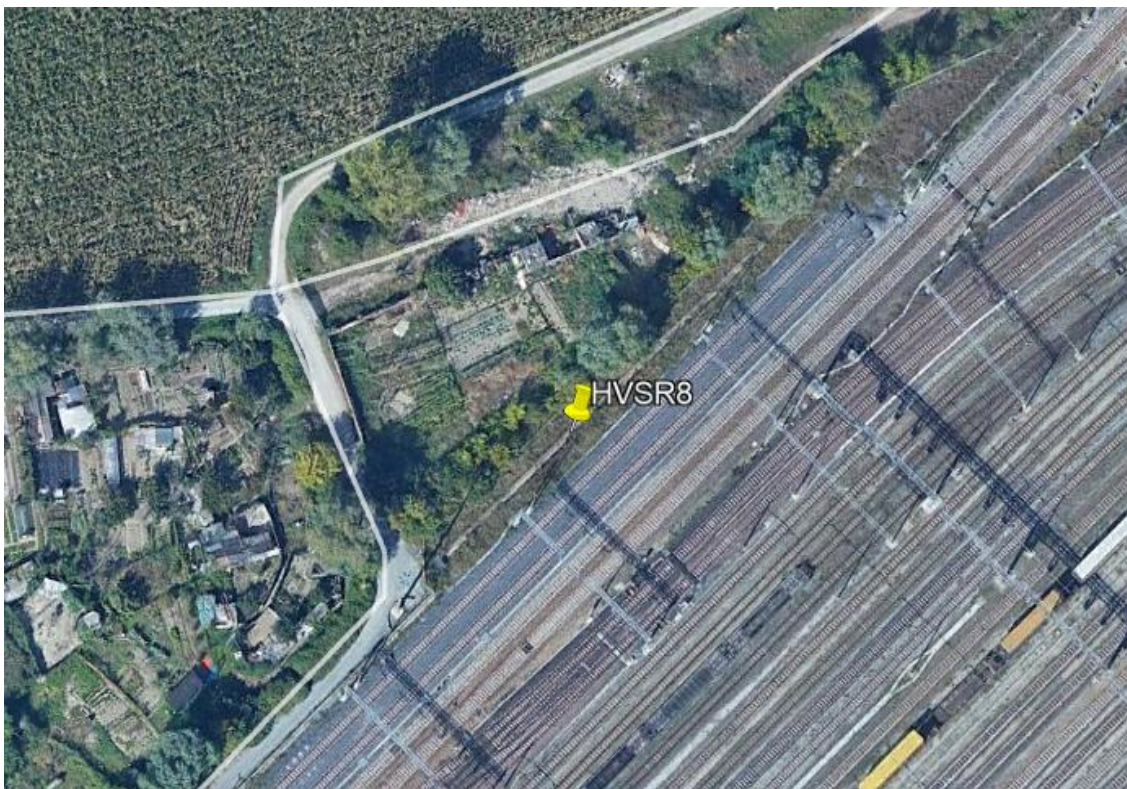


Figura 57: Ortofoto relativa all'ubicazione della prova HVSR8.



Figura 58: Foto relativa all'esecuzione della prova HVSR8.



## ALLEGATO

### COORDINATE INDAGINI GEOFISICHE

Tecnica Geofisica utilizzata	Codice Sito	Luogo	Coordinate (WGS84 gradi decimali)		Coordinate (UTM-WGS84, fuso 33N)	
			Latitudine	Longitudine	X (est)	Y (nord)
MASW	MASW1	Vignale (NO)	45.489194	8.610032	469527.25	5037369.91
MASW	MASW2	Vignale (NO)	45.490179	8.613814	469823.25	5037477.91
MASW	MASW3	Due Fontane (NO)	45.487582	8.624048	470621.59	5037185.65
MASW	MASW4	Vignale (NO)	45.474924	8.613884	469820.59	5035783.16
MASW	MASW5	Veveri (NO)	45.470554	8.621713	470430.24	5035294.7
MASW	MASW6	Novara (NO)	45.465204	8.63618	471558.37	5034695.15
MASW	MASW7	Novara (NO)	45.463342	8.64457	472213.35	5034485.37
MASW	MASW8	Novara (NO)	45.458125	8.634288	471406.95	5033909.37
HVSR	HVSR1	Vignale (NO)	45.489194	8.610032	469527.25	5037369.91
HVSR	HVSR2	Vignale (NO)	45.490179	8.613814	469823.25	5037477.91
HVSR	HVSR3	Due Fontane (NO)	45.487582	8.624048	470621.59	5037185.65
HVSR	HVSR4	Vignale (NO)	45.474924	8.613884	469820.59	5035783.16
HVSR	HVSR5	Veveri (NO)	45.470554	8.621713	470430.24	5035294.7
HVSR	HVSR6	Novara (NO)	45.465204	8.63618	471558.37	5034695.15
HVSR	HVSR7	Novara (NO)	45.463342	8.64457	472213.35	5034485.37
HVSR	HVSR8	Novara (NO)	45.458125	8.634288	471406.95	5033909.37